

Bretagne, Finistère,
Quimper,

rue Stang Bihan

Sous la direction de
Nicolas Ménez



Bretagne, Finistère,
Quimper,
rue Stang Bihan

Sous la direction de
Nicolas Ménez

avec les contributions de

Richard Delage
Jean-François Villard

avec la collaboration de

Émeline Le Goff
Julien Villevieille

et du
Centre de Recherche
Archéologique du Finistère

Inrap Grand Ouest
37 rue du Bignon, CS 67737,
35577 Cesson-Sévigné cedex
Tél. 02 23 36 00 40, grand-ouest@inrap.fr

Septembre 2021

Sommaire

Données administratives, techniques et scientifiques

7	Fiche signalétique
8	Mots clefs des thesaurus
9	Intervenants
10	Notice scientifique
10	État du site
11	Localisation de l'opération
12	Implantation cadastrale
13	Arrêté de prescription
18	Arrêté de désignation
19	Projet scientifique d'intervention
21	Fiche de renseignements

Résultats

25	1. Présentation de l'opération archéologique
25	1.1. Le contexte d'intervention
25	1.2. Le contexte topographique et géologique
26	1.3 Le contexte archéologique
29	1.4 Problématiques du diagnostic
29	1.5 Méthodologie et moyens mis en œuvre
25	1.5.1 Phase de terrain
31	1.5.2 Phase de post-fouille
32	2. Présentation des vestiges
32	2.1 Tranchée 1
32	2.1.1 Données d'ordre général
33	2.1.2 Éléments de stratigraphie
34	2.1.3 Un ensemble de fossés
37	2.1.4 Un ensemble de trous d'ancrage de poteaux

39	2.2 Tranchée 2
39	2.2.1 Données d'ordre général
40	2.2.2 Éléments de stratigraphie
40	2.2.3 Les fossés F.18 et F.19
40	2.3 Tranchée 3
40	2.3.1 Données d'ordre général
43	2.3.2 Éléments de stratigraphie
43	2.4 Tranchée 4
43	2.4.1 Données d'ordre général
44	2.4.2 Éléments de stratigraphie
45	2.4.3 La fosse F.20
46	2.5 Tranchée 5
46	2.5.1 Données d'ordre général
46	2.5.2 Éléments de stratigraphie
46	2.5.3 La fosse F.21
48	2.6 Tranchée 6
48	2.6.1 Données d'ordre général
49	2.6.2 Éléments de stratigraphie
49	2.6.3 Un ensemble de fossés
55	2.6.4 Un ensemble de trous d'ancrage de poteaux
56	2.6.5 La fosse F.27
56	2.6.6 La structure de combustion F.28
57	2.7 Étude des mobiliers
58	2.8 Synthèse
62	Bibliographie
64	Liste des figures

Inventaires techniques

71	Inventaire des clichés
79	Inventaire des faits
82	Inventaire des minutes de terrain
83	Inventaire des tranchées
83	Inventaire des mobiliers

I. Données administratives, techniques et scientifiques

Conditions d'utilisation des documents

Les rapports d'opération archéologique (diagnostic, fouille, document final de synthèse, sondage, sauvetage...) sont des documents administratifs communicables au public, en application de la loi n° 78-753 du 17 juillet 1978 modifiée et portant diverses mesures d'amélioration des relations entre l'administration et le public. L'accès à ces documents administratifs s'exerce auprès des administrations qui les ont élaborés ou qui les détiennent, au choix du demandeur et dans la limite de leurs conditions d'accueil. La mise en ligne des rapports **par le SRA Bretagne** a pour objectif de faciliter cette consultation.

La consultation et l'utilisation de ces rapports s'effectuent dans le respect des dispositions du code de la propriété intellectuelle relatives aux droits des auteurs. Notamment en application de l'article L.122-5 du code de la propriété intellectuelle, cela implique que :

- 1) les prises de notes et les copies ou autres formes de reproduction sont autorisées dans la mesure où elles sont strictement réservées à l'usage privé du copiste et non destinées à une utilisation collective;
- 2) toute reproduction du texte, accompagnée ou non de photographies, cartes ou schémas, n'est possible que dans le cadre de courtes citations qui doivent être justifiées, par exemple par le caractère scientifique de l'œuvre à laquelle elles sont incorporées, et sous réserve de l'indication claire du nom de l'auteur et de la source (références exactes et complètes de l'auteur, de son organisme d'appartenance et du rapport);
- 3) la représentation ou la reproduction d'extraits est possible à des fins exclusives d'illustration dans le cadre de l'enseignement et de la recherche, dès lors que le public auquel elle est destinée est majoritairement composé d'élèves, d'étudiants, d'enseignants ou de chercheurs directement concernés, et que son utilisation ne donne lieu à aucune exploitation commerciale.

Le non-respect de ces règles constitue le délit de contrefaçon prévu et sanctionné par les articles L.335-2, L.335-3 et suivants du code de la propriété intellectuelle.

Renseignement :

DRAC Bretagne : <http://www.culture.gouv.fr/Regions/Drac-Bretagne>

Service Régional de l'Archéologie - Centre de documentation archéologique

Campus universitaire de Beaulieu - Avenue Charles Foulon - 35700 Rennes

Fiche signalétique

Localisation

Région

Bretagne

Département

Finistère (29)

Commune

Quimper

Adresse ou lieu-dit

Rue Stang Bihan

Code INSEE

29232

Coordonnées géographiques et altimétriques selon le système national de référence : Lambert 93

X : 171 077

Y : 6 791 557

Z : 64,10 m NGF

Références cadastrales

Commune de Quimper

Année 2021

Section AO

Parcelle : 127,128

Propriétaire des terrains

SCCV « Park An Autrou »
58, rue de la Terre Noire
29334 QUIMPER

Références de l'opération

Numéro de l'arrêté de prescription : 2021-034

Numéro de l'opération : D137253

Numéro de l'arrêté de désignation : 2021-219

Maître d'ouvrage des travaux d'aménagement

SCCV « Park An Autrou »
58, rue de la Terre Noire
29334 QUIMPER

Nature de l'aménagement

Construction de logements

Opérateur d'archéologie

INRAP Grand-Ouest

Responsable scientifique de l'opération

Nicolas Ménez, INRAP

Organisme de rattachement

INRAP Grand Ouest
37 rue du Bignon
CS 67737
37577 Cesson-Sévigné
Tél : 02 23 36 00 40
Fax : 02 23 36 00 50

Dates d'intervention sur le terrain :

Du 21/06/2021 au 25/06/2021

Surface prescrite :

5 657 m²

Surface ouverte :

609,08 m²

Ratio : 10,76 %

Niveau d'apparition des vestiges :

Entre 66,06 et 58,47 m NGF

Mots-clefs des thesaurus

Chronologie

- Paléolithique**
- Inférieur
 - Moyen
 - Supérieur
 - Mésolithique et Épipaléolithique
- Néolithique**
- Ancien
 - Moyen
 - Récent
 - Chalcolithique
- Protohistoire**
- Âge du Bronze**
 - Ancien
 - Moyen
 - Récent
 - Âge du Fer**
 - Hallstatt (premier Âge du Fer)
 - La Tène (second Âge du Fer)
- Antiquité romaine (gallo-romain)**
- République romaine
 - Empire romain
 - Haut-Empire (jusqu'en 284)
 - Bas-Empire (de 285 à 476)
- Époque médiévale**
- haut Moyen Âge
 - Moyen Âge
 - bas Moyen Âge
- Temps modernes**
- Époque contemporaine**
- Ère industrielle

Sujets et thèmes

- Édifice public
- Édifice religieux
- Édifice militaire
- Bâtiment
- Structure funéraire
- Voirie
- Hydraulique
- Habitat rural
- Villa
- Bâtiment agricole
- Structure agraire
- Urbanisme
- Maison
- Structure urbaine
- Foyer
- Fosse
- Sépulture
- Grotte
- Abri
- Mégalithe
- Artisanat
- Argile : atelier
- Atelier
- Parcellaire
- Fossé
- Trou de poteau
- Maçonnerie

Mobilier

- nb
- Industrie lithique
 - Industrie osseuse
 - Céramique
 - Scories
 - Terre cuite
 - Faune
 - Flore
 - Objet métallique
 - Arme
 - Outil
 - Parure
 - Habillement
 - Trésor
 - Monnaie
 - Verre
 - Mosaïque
 - Peinture
 - Sculpture
 - Inscription
 - Tuiles, fragment de marbre

Études annexes

- Géologie
- Datation
- Anthropologie
- Paléontologie
- Zoologie
- Botanique
- Palynologie
- Macrorestes
- An. de céramique
- An. de métaux
- Acq. des données
- Numismatique
- Conservation
- Restauration

...

Intervenants

Intervenants scientifiques

Prénom Nom, organisme d'appartenance	Tâches génériques	Tâches affectées dans le cadre de l'opération
Yves Menez, DRAC/SRA	Conservateur régional de l'archéologie, Chef de service	Prescription et contrôle scientifique
Jean-Charles Arramond, DRAC/SRA	Chargé de mission	Prescription et contrôle scientifique
Michel Baillieu, Inrap	Directeur adjoint scientifique et technique de la région Bretagne	Mise en place et suivi de l'opération
Nicolas Ménez, Inrap	Responsable de recherches archéologiques	Responsable scientifique

Intervenants administratifs

Prénom Nom, organisme d'appartenance	Tâches génériques	Tâches affectées dans le cadre de l'opération
Yves Menez, DRAC/SRA	Conservateur régional de l'archéologie, chef de service	Prescription et contrôle scientifique
Jean-Charles Arramond, DRAC/SRA	Chargé de mission	Prescription et contrôle scientifique
Claude Le Potier, Inrap	Directeur interrégional Grand-Ouest	Mise en place et suivi de l'opération
Arnaud Dumas, Inrap	Secrétaire général Grand-Ouest	Mise en place et suivi de l'opération
Michel Baillieu, Inrap	Directeur adjoint scientifique et technique de la région Bretagne	Mise en place et suivi de l'opération
Thomas Arnoux, Inrap	Délégué du directeur adjoint scientifique et technique	Mise en place et suivi de l'opération
Laurent Aubry, Inrap	Assistant technique	Mise en place et suivi de l'opération
Elodie Craspay, Inrap	Assistante opérationnelle Bretagne	Mise en place et suivi de l'opération
Nathalie Ruaud, Inrap	Gestionnaire de centre	Mise en place et suivi de l'opération
Jean-Claude Durand, Inrap	Responsable de recherches archéologiques	Suivi des DICT

Intervenants Techniques

Prénom Nom, organisme d'appartenance	Tâches génériques	Tâches affectées dans le cadre de l'opération
Entreprise Beaussire, Carentan	Entreprise de terrassement	Travaux de terrassement

Équipe de diagnostic

Prénom Nom, organisme d'appartenance	Fonction	Tâches affectées dans le cadre de l'opération
Nicolas Ménez, Inrap	Responsable de recherches archéologiques	Responsable scientifique
Émeline Le Goff, Inrap	Topographe	Relevés topographiques
Julien Villevieille, Inrap	Technicien de recherches archéologiques	Suivi du diagnostic, relevés

Équipe de post-fouille

Prénom Nom, organisme d'appartenance	Fonction	Tâches affectées dans le cadre de l'opération
Nicolas Ménez, Inrap	Responsable de recherches archéologiques	Coordination, rédaction, DAO
Émeline Le Goff, Inrap	Topographe	Traitement du plan, SIG
Jean-François Villard, Inrap	Responsable de recherches archéologiques	Rédaction, PAO, relecture
Julien Villevieille, Inrap	Technicien de recherches archéologiques	Inventaires

Notice scientifique

Le diagnostic archéologique réalisé rue Stang Bihan à Quimper (Finistère) fait suite à un projet de construction de logements collectifs déposé par la SCCV « Park An Autrou ». L'intervention concerne les parcelles 127 et 128 (section AO) qui couvrent une superficie totale de 5 657 m².

La prescription de cette intervention par le Service régional de l'archéologie de Bretagne a été motivée par la localisation de la parcelle intéressée dans la zone archéologique sensible du plateau de Kerfeunteun.

Réalisé sur un terrain marqué par une forte pente atteignant 25% par endroits, ce diagnostic dévoile la présence de vestiges dans sa partie septentrionale. Prenant la forme de segments de fossés, de trous d'ancrage de poteaux, d'une fosse et d'une structure de combustion, ces derniers semblent former un ensemble cohérent matérialisant une petite occupation à la nature indéterminée, datée entre le X^e et le XVI^e siècle.

État du site

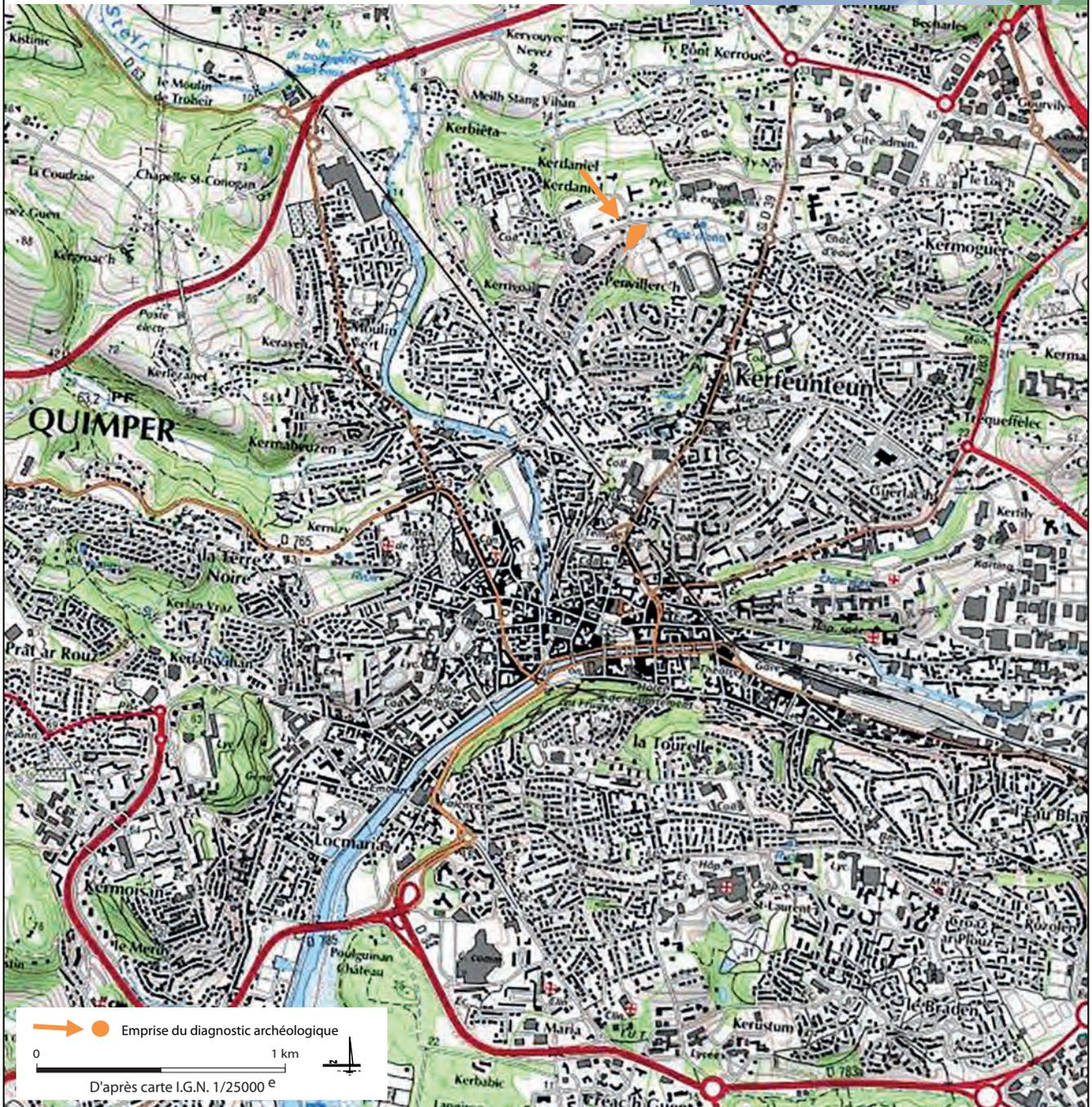
À l'issue de l'opération, les six tranchées réalisées sur l'emprise de la parcelle diagnostiquée ont été rebouchées, conformément à la convention signée avec l'aménageur. La structure de combustion F.28 ainsi que la fosse F.27 mises au jour au sein de la tranchée TR.6 ont, quant à elles, été recouvertes d'un filet avertisseur orange destiné à signaler leur niveau d'apparition lors d'un éventuel futur décapage.

Localisation de l'opération

Région : Bretagne
 Département : Finistère (29)
 Commune : Quimper
 Adresse/Lieu-dit : rue Stang Bihan

Coordonnées géographiques et altimétriques :
 X - 171 077
 Y - 6 791 557
 Z - entre 54,50 et 67 m NGF

Cadastre :
 Section - AO
 Parcelles - 127, 128





 Emprise du diagnostic archéologique

0 ————— 1 km

D'après carte I.G.N. 1/25000^e

Implantation cadastrale

Département : FINISTERE

Commune : QUIMPER

Section : AO

Feuille : 000 AO 01

Échelle d'origine : 1/1000

Échelle d'édition : 1/2000

Coordonnées en projection : RGF93CC48

©2017 Ministère de l'Action et des

Comptes publics

DIRECTION GÉNÉRALE DES FINANCES PUBLIQUES

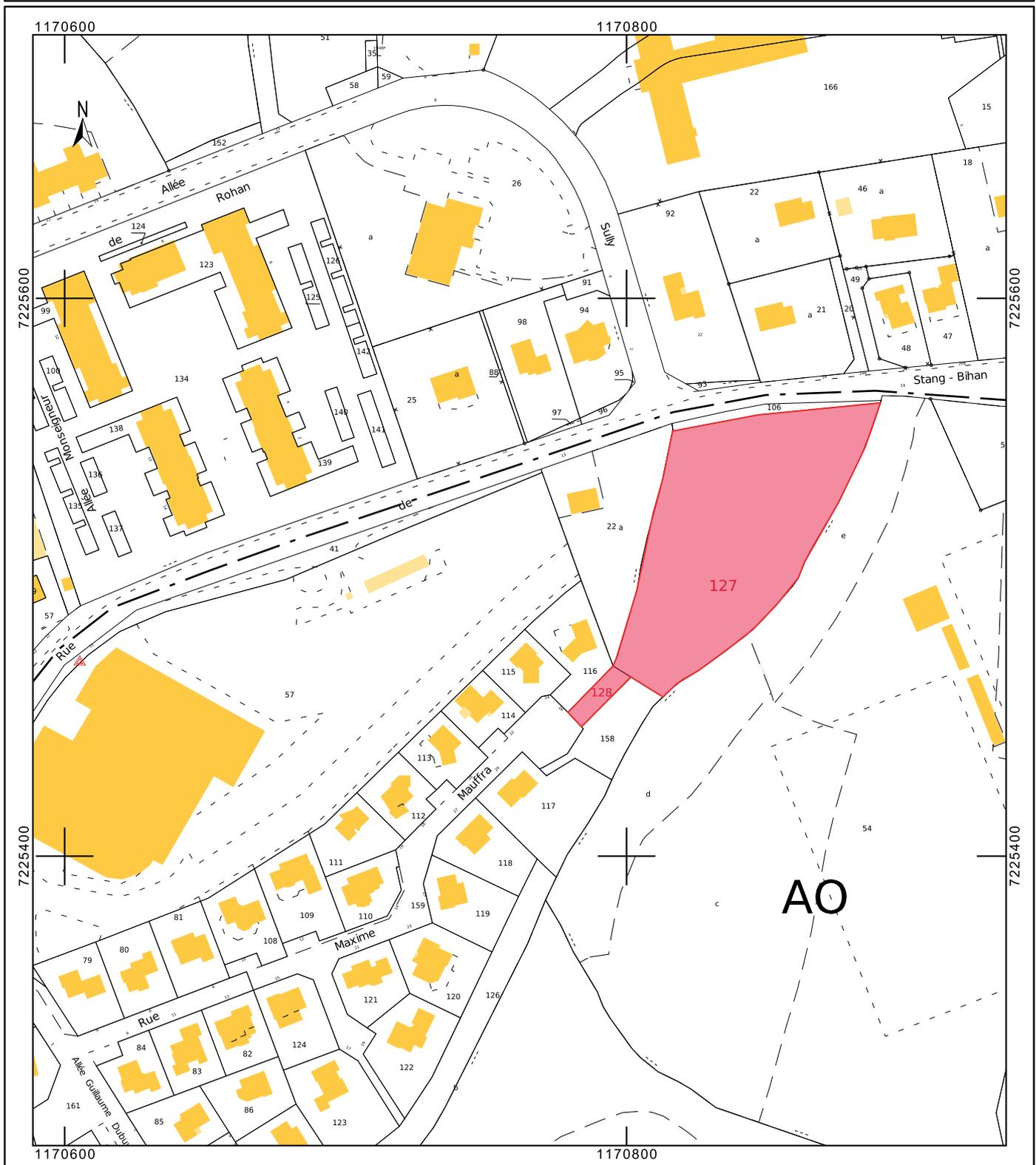
EXTRAIT DU PLAN CADASTRAL

Emprise
du diagnostic
archéologique

Le plan visualisé sur cet extrait est géré
par le centre des impôts foncier suivant :
QUIMPER
1, avenue du Braden 29196
29196 QUIMPER CEDEX
tél. 02 98 10 33 50 -fax 02 98 94 36 94
cdif.quimper@dgif.finances.gouv.fr

Cet extrait de plan vous est délivré par :

cadastre.gouv.fr





PRÉFET
DE LA RÉGION
BRETAGNE

Liberté
Égalité
Fraternité

Service régional
de l'archéologie

Affaire suivie par
Jean-Charles ARRAMOND
Poste : 02 99 84.59.00
jean-charles.aramond@culture.gouv.fr
Réf. : 2021/JCA/VC/044

1737253

Direction Régionale
des Affaires Culturelles

Rennes, le 27 janvier 2021

Le Conservateur régional de l'archéologie
à

Monsieur le Directeur interrégional
INRAP Grand-Ouest
37 rue du Bignon
CS 67737
35577 CESSON SEVIGNE Cedex

Objet : prescription de diagnostic archéologique

Réf : QUIMPER (29)
rue Stang Bihan

PJ : arrêté n° 2021-034

COURRIER REÇU LE

01 FEV. 2021

INRAP GO

Je vous prie de trouver ci-joint les arrêtés portant prescriptions de diagnostics archéologiques relatifs à l'opération rappelée ci-dessus en référence.

Les coordonnées des maîtres d'ouvrage de l'opération sont :

SCCV « Park An Autrou »
58 rue de la Terre Noire
29334 QUIMPER

Le département du Finistère, ayant un service archéologique agréé, dispose d'un délai de quatorze jours pour faire connaître sa décision de réaliser le diagnostic. En conséquence, la présente notification ne vaut pas attribution du diagnostic archéologique.

Pour le Préfet de la région Bretagne
et par subdélégation,
l'adjoint du Conservateur régional de l'archéologie


Olivier KAYSER



COURRIER REÇU LE

01 FEV. 2021

INRAP GO

Direction régionale
des affaires culturelles

Arrêté n° 2021-034 du 27 janvier 2021

Service régional de
l'archéologie

ARRÊTÉ n° 2021-034 portant prescription de diagnostic archéologique

**Le Préfet de la région Bretagne
Préfet d'Ille-et-Vilaine**

VU le code du patrimoine, notamment son livre V ;

VU l'arrêté du 16 septembre 2004 portant définition des normes d'identification, d'inventaire, de classement et de conditionnement de la documentation scientifique et du mobilier issu des diagnostics et des fouilles archéologiques ;

VU l'arrêté du 27 septembre 2004 portant définition des normes de contenu et de présentation des rapports d'opérations archéologiques ;

VU le décret du 28 octobre 2020 nommant M. Emmanuel BERTHIER, préfet de la région Bretagne, préfet de la zone défense et de sécurité Ouest, préfet d'Ille-et-Vilaine ;

VU l'arrêté préfectoral n° 2020 DRAC/DSG en date du 16 novembre 2020 portant délégation de signature à Mme Isabelle CHARDONNIER, Directrice régionale des affaires culturelles de Bretagne ;

VU l'arrêté préfectoral en date du 18 novembre 2020 portant subdélégation de signature ;

VU le dossier de demande de permis de construire n° PC 029.232.20.00147 déposé par la SCCV « Park An Autrou » représentée par Monsieur Yves-Marie Rolland – 58 rue de la Terre Noire – 29334 Quimper, relatif au projet de lotissement sur un terrain situé à Quimper – rue Stang Bihan (29), reçu par la Direction régionale des affaires culturelles de Bretagne, service régional de l'archéologie le 15 janvier 2021 ;

CONSIDÉRANT que, en raison de leur localisation, les travaux envisagés sont susceptibles d'affecter des éléments du patrimoine archéologique. En effet, les terrains concernés par le futur aménagement sont inscrits dans une zone où est attestée une occupation rurale des âges du Fer / Gallo-romaine ([ZPPA-2015-0328 (43)]);

CONSIDÉRANT qu'il est nécessaire de mettre en évidence et de caractériser la nature, l'étendue et le degré de conservation des vestiges archéologiques éventuellement présents afin de déterminer le type de mesures dont ils doivent faire l'objet ;

ARRÊTE

Article 1^{er} : un diagnostic archéologique sera réalisé sur le terrain faisant l'objet des aménagements, ouvrage ou travaux susvisés, sis en :

Région : Bretagne
Département : Finistère
Commune : Quimper
Lieu-dit : rue Stang Bihan
Cadastre : section : AO parcelles : 127-128

L'emprise soumise au diagnostic, d'une superficie de 5 657 m², est figurée sur le document annexé au présent arrêté.

Le diagnostic archéologique comprend, outre une phase d'exploration du terrain, une phase d'étude qui s'achève par la remise du rapport sur les résultats obtenus.

Article 2 : Le diagnostic sera réalisé sous la maîtrise d'ouvrage de l'opérateur d'archéologie préventive retenu. Les conditions de sa réalisation seront fixées contractuellement en application des articles R. 523-30 à R. 523-38 du Code du patrimoine susvisé.

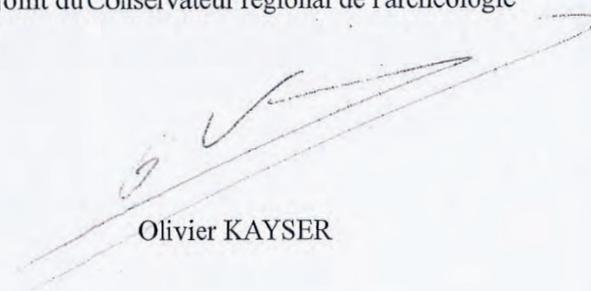
Il sera exécuté conformément au projet d'opération élaboré par cet opérateur sur la base des prescriptions annexées au présent arrêté.

Article 3 : Le mobilier archéologique recueilli au cours de l'opération de diagnostic est conservé par l'opérateur d'archéologie préventive retenu le temps nécessaire à son étude qui, en tout état de cause, ne peut excéder cinq ans à compter de la date de fin de la phase terrain du diagnostic.

Article 4 : La Directrice régionale des affaires culturelles est chargée de l'exécution du présent arrêté, qui sera notifié à la SCCV « Park An Autrou » représentée par Monsieur Yves-Marie Rolland – 58 rue de la Terre Noire – 29334 Quimper, au CDA.29 et à l'Institut national de recherches archéologiques préventives.

Fait à Rennes, le 27 janvier 2021

Pour le Préfet de la région Bretagne
et par subdélégation,
l'adjoint du Conservateur régional de l'archéologie



Olivier KAYSER

Destinataires :
SCCV « Park An Autrou »
CDA.29
INRAP

Copie :
Commune du Quimper


**PRÉFET
DE LA RÉGION
BRETAGNE**

*Liberté
Égalité
Fraternité*

**Cahier des charges
annexé à l'arrêté n° 2021-034
portant prescription de diagnostic archéologique**

**Le Préfet de la région Bretagne
Préfet d'Ille-et-Vilaine**

région :	Bretagne	
département :	Finistère	
commune :	QUIMPER	
lieu-dit :	rue Stang Bihan	
cadastre :	section : AO	parcelles : 127-128
pétitionnaire :	SCCV PARK AN AUTROU	

Emprise du diagnostic archéologique : 5 657 m²

Principes méthodologiques :

L'intervention mécanique, réalisée sous la forme de tranchées adaptées aux contraintes du terrain, permettra de visualiser les zones d'aménagements humains, et de caractériser ces dernières.

Le rapport de diagnostic comportera une version en format pdf destinée à un versement dans la bibliothèque numérique de la D.R.A.C. Bretagne et consultable en ligne, ainsi qu'un plan d'emprise de l'opération de diagnostic figurant les zones ouvertes (sondages, fenêtres, zones éventuellement décapées) et les structures mises au jour, en format shape.

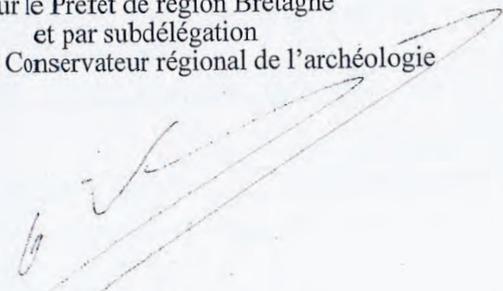
Objectifs :

Le diagnostic a pour objectif de mettre en évidence, de dater et de caractériser l'ensemble des vestiges conservés dans l'emprise du projet d'aménagement. Le rapport de diagnostic devra donc s'attacher à apporter tous les éléments (descriptions précises, diagrammes, plans, planches de mobilier, photographies...) permettant d'apprécier la nature et l'intérêt des vestiges mis au jour afin que leur préservation ou leur sauvegarde par l'étude puisse être envisagée préalablement à la réalisation des travaux.

Une attention particulière devra être portée au niveau d'apparition des vestiges, afin d'évaluer précisément l'impact du futur projet d'aménagement sur le patrimoine archéologique enfouis.

Fait à Rennes, 27 janvier 2021

Pour le Préfet de région Bretagne
et par subdélégation
l'adjoint du Conservateur régional de l'archéologie


Olivier KAYSER

PC01

PC06

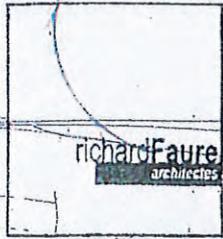
PC07

PC09

PC08

PC02923 2 2 00 014 7

Mairie de Quimper
D.S.U.H.
13 NOV. 2020
URBANISME RÉGLEMENTAIRE
COURRIER-ARRIVÉE



richard Faure
architectes



Direction régionale
des affaires culturelles

Service régional de l'archéologie

COURRIER REÇU LE

10 MAI 2021

INRAP 100

Arrêté n° 2021-219 du 4 mai 2021

**Arrêté n° 2021-219 portant désignation du responsable scientifique
de l'opération d'archéologie préventive prescrite par arrêté n° 2021-034**

**Le Préfet de la région Bretagne
Préfet d'Ille-et-Vilaine**

VU le code du patrimoine, notamment son livre V - articles R 522-1 et R 523-22 ;

VU le décret du 28 octobre 2020 nommant M. Emmanuel BERTHIER, préfet de la région Bretagne, préfet de la zone défense et de sécurité Ouest, préfet d'Ille-et-Vilaine ;

VU l'arrêté préfectoral n° 2020 DRAC/DSG en date du 16 novembre 2020 portant délégation de signature à Mme Isabelle CHARDONNIER, Directrice régionale des affaires culturelles de Bretagne ;

VU l'arrêté préfectoral en date du 18 novembre 2020 portant subdélégation de signature ;

VU l'arrêté n° 2021-034 du 27 janvier 2021 portant prescription de diagnostic archéologique à réaliser à QUIMPER, rue Stang Bihan (29) ;

CONSIDÉRANT que le responsable d'opération n'a pas été désigné par l'arrêté susvisé.

ARRÊTE

Article 1^{er} : M. Nicolas MENEZ (Institut national de recherches archéologiques préventives) est désigné responsable scientifique du diagnostic prescrit par l'arrêté n° 2021-034, n° d'opération : 5975.

Article 2 : La Directrice régionale des affaires culturelles est chargée de l'exécution du présent arrêté, qui sera notifié à M. Nicolas MENEZ.

Fait à Rennes, le 4 mai 2021

Pour le Préfet de la région Bretagne
et par subdélégation,
le Conservateur régional de l'archéologie


Yves MENEZ

Destinataire :
M. Nicolas MENEZ

Copie :
Inrap
Ville de Quimper

Diagnostic archéologique D137253
QUIMPER (29), RUE STANG BIHAN

Projet scientifique d'intervention

1.- Identification administrative de l'opération

Région	Bretagne	Département	Finistère
Commune	Quimper		
Lieu-dit	RUE STANG BIHAN		
Cadastre	Quimper : AO 127, 128		

Prescription	N° Arrêté	Réception	Surface	Attribution	Envoi projet
Initiale	2021-034	01-02-2021	5657 m ²	15/02/2021	22/02/21
Modification					

Contexte actuel	Urbain	Contexte particulier	
Nature archéologique	Non stratifié		

2.- Problématique scientifique

Conformément à l'arrêté de prescription n°2021-034, l'objet du diagnostic consiste à reconnaître l'existence et l'état de conservation des vestiges archéologiques. Cette étude doit permettre de rassembler tous les éléments techniques et scientifiques permettant l'élaboration d'un éventuel projet de fouille préventive.

- *Responsable d'opération pressenti :*

A définir ultérieurement

3.- Contraintes techniques

Les contraintes techniques seront déterminées ultérieurement après contact avec l'aménageur.

4.- Méthodes et techniques envisagées

Le diagnostic consistera en la réalisation de tranchées de sondage régulièrement réparties sur l'ensemble du projet. La surface sondée devra couvrir au moins 7% de l'emprise affectée par les travaux. Des fenêtres de décapage plus larges pourront être implantées afin d'évaluer plus finement l'état de conservation des vestiges. Un nettoyage manuel et le cas échéant, une fouille par échantillonnage seront réalisés sur les vestiges les plus significatifs du site afin de caractériser la nature et la chronologie des différentes entités archéologiques.

5.- Volume des moyens prévus

- **Tranche Ferme**

Moyens humains	Terrain	Etude	Moyens mécaniques	Ouverture	Rebouchage
Responsable Opération	2 jours	1 jour	Pelle sur chenilles	1 jour	1 jour
Technicien	1 jour		Transfert		

- **Tranche Provisionnelle**

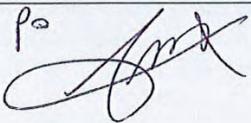
Moyens humains	Terrain	Etude	Moyens mécaniques	Ouverture	Rebouchage
Responsable Opération	4 jours	4 jours	Pelle sur chenilles	2 jours	1 jour
Technicien	4 jours	1 jour			
Dessinateur		4 jours			
Spécialiste (Céramique)		4 jours			
Topographe	1 jour	1 jour			

6.- Durée de réalisation et calendrier prévisionnel

Terrain	Etude	Calendrier prévu pour la phase terrain
5 jours	5 jours	A définir ultérieurement

7.- Observations complémentaires

Le Directeur-adjoint Scientifique et Technique

Nom du DAST
Michel-Alain Baillieu 

Dossier suivi par : Pascale RONCERAY
 pascale.roncera@inrap.fr



FICHE DE RENSEIGNEMENTS

Nom de l'opération : QUIMPER (29), RUE STANG BIHAN
Numéro INRAP : D137253

1°) Renseignements concernant l'aménagement :

- ❖ Planning prévisionnel des travaux d'aménagement Octobre 2021
- ❖ Type d'aménagement devant être réalisés (*lotissement, habitation individuelle, zac, ...*) 39 logements collectifs
- ❖ En cas de construction + 1 crèche
- ❖ de bâtiments, type de fondation retenue dalle béton sur poutres
- ❖ Estimation des profondeurs de terrassement 3,50 mètres (sous-sol)

2°) Renseignements concernant les terrains :

	Oui	Non	Pour Partie
❖ Les terrains sont-ils propriété de l'aménageur ?	<input checked="" type="checkbox"/>	<input type="checkbox"/>	<input type="checkbox"/>
❖ Les terrains sont-ils occupés ? (<i>Exploitants agricoles, cultures, divers stockages...</i>)	<input type="checkbox"/>	<input checked="" type="checkbox"/>	<input type="checkbox"/>
➢ Si oui précisez la nature de l'occupation		
➢ Si oui précisez la date d'accessibilité des terrains		
❖ Les terrains sont-ils clôturés ou au moins délimités ? (<i>bornage, fossés...</i>)	<input checked="" type="checkbox"/>	<input type="checkbox"/>	<input type="checkbox"/>
➢ Si oui précisez	tous, limite trottoirs/voiries)		
❖ Les terrains sont-ils en friche ? (ou broussailles)	<input type="checkbox"/>	<input checked="" type="checkbox"/>	<input type="checkbox"/>
❖ Existe-t-il des plantations de densité importante ?	<input type="checkbox"/>	<input type="checkbox"/>	<input type="checkbox"/>
➢ Si oui précisez la nature des plantations (<i>arbres, arbrisseaux, ...</i>)	en limite		
➢ Ces plantations doivent-elles être conservées dans le projet ?	<input checked="" type="checkbox"/>	<input type="checkbox"/>	<input type="checkbox"/>
❖ Les terrains sont-ils en pente ?	<input checked="" type="checkbox"/>	<input type="checkbox"/>	<input type="checkbox"/>
➢ Si oui pourcentage de la pente	≈ 10%		
❖ Existe-t-il une contrainte environnementale ? (<i>Natura 2000, Loi sur l'Eau, zone bio, zone classée..</i>)	<input type="checkbox"/>	<input checked="" type="checkbox"/>	<input type="checkbox"/>
➢ Si oui précisez		
❖ Existe-t-il des déchets ou des produits polluants ? (<i>amiante, hydrocarbure, ...</i>)	<input type="checkbox"/>	<input checked="" type="checkbox"/>	<input type="checkbox"/>
❖ Existe-t-il un risque d'engins de guerre ?	<input type="checkbox"/>	<input checked="" type="checkbox"/>	<input type="checkbox"/>
❖ Existe-t-il des réseaux d'énergie publics ou privés ? (<i>gaz, électricité, fibre optique...</i>)	<input type="checkbox"/>	<input checked="" type="checkbox"/>	<input type="checkbox"/>
➢ Si oui transmettre les plans des réseaux		
❖ Existe-il un risque d'inondation ou de remontée de nappe phréatique ?	<input type="checkbox"/>	<input checked="" type="checkbox"/>	<input type="checkbox"/>

- ❖ Existe-t-il des bâtiments ?
- Si oui, doivent-ils être démolis ?
- Si oui précisez le planning prévisionnel de la démolition
- Si non précisez la profondeur des fondations des bâtiments existants ainsi que les éventuelles précautions à prendre

3°) Renseignements concernant l'accès aux terrains :

- | | Oui | Non |
|--|-------------------------------------|-------------------------------------|
| ❖ Les voies de desserte permettent-elles l'accès avec un porte-engin ? | <input checked="" type="checkbox"/> | <input type="checkbox"/> |
| ❖ Les terrains sont-ils accessibles à une pelle hydraulique d'une largeur minimale de 3 mètres ? | <input checked="" type="checkbox"/> | <input type="checkbox"/> |
| ❖ L'accès aux terrains est-il réglementé ? (arrêté de circulation...) | <input type="checkbox"/> | <input checked="" type="checkbox"/> |

4°) Divers

❖ Nom et coordonnées de la personne en charge du dossier

Nom : DUPONT Julien

Adresse postale : 58 rue de la Terre Noire - 29334 QUIMPER CEDEX

Tél / mobile : 06 88 24 73 15

Fax :

Email : jdupont@lelogisbreton

❖ Nom et qualité des personnes habilitées à signer les procès-verbaux lors de l'opération d'archéologie préventive

Nom : ROLLAND Yves Marie

Qualité : Directeur Général

❖ Nom et qualité de la personne habilitée à signer la convention

Nom : ROLLAND Yves Marie

Qualité : Directeur Général

❖ Nom et coordonnées du géomètre

Olivier QUÉRE
CIT - Quimper

- | | Oui | Non |
|--|-------------------------------------|--------------------------|
| ❖ Disposez-vous de fonds de plans topographiques sous logiciel Autocad ? | <input checked="" type="checkbox"/> | <input type="checkbox"/> |
| ➤ Si oui transmettre les plans sous fichiers informatisés | | |
| ❖ Des sondages géotechniques ont-ils été réalisés ? | <input checked="" type="checkbox"/> | <input type="checkbox"/> |
| ➤ Si oui transmettre une copie des rapports. | | |

Pour la SCCV PARK AN AUTROU

Fait le 19/09/2021

Signature

**LE LOGIS
BRETON**

58 rue de la Terre Noire - CS 93012
29334 QUIMPER cedex - 02 98 55 81 91

II. Résultats



Fig. 1- Vue des parcelles diagnostiquées depuis le nord-est. Le rebord du plateau est visible à l'extrême droite du cliché (© N. Ménez, Inrap).



Fig. 2- Vue de la partie méridionale des parcelles diagnostiquées depuis le sud-ouest. Le relief y est particulièrement marqué (© N. Ménez, Inrap).

1. Présentation de l'opération archéologique

1.1 Le contexte d'intervention

Le diagnostic archéologique réalisé rue Stang Bihan à Quimper (Finistère) fait suite à un projet de construction de logements collectifs déposé par la SCCV « Park An Autrou ». L'intervention concerne les parcelles 127 et 128 (section AO) qui couvrent une superficie totale de 5657 m².

La prescription de cette intervention par le Service régional de l'archéologie de Bretagne¹ a été motivée par la localisation de la parcelle intéressée dans la zone archéologique sensible du plateau de Kerfeunteun (cf. *infra* « Le contexte archéologique »).

1.2. Le contexte topographique et géologique

(par J.-F. Villard)

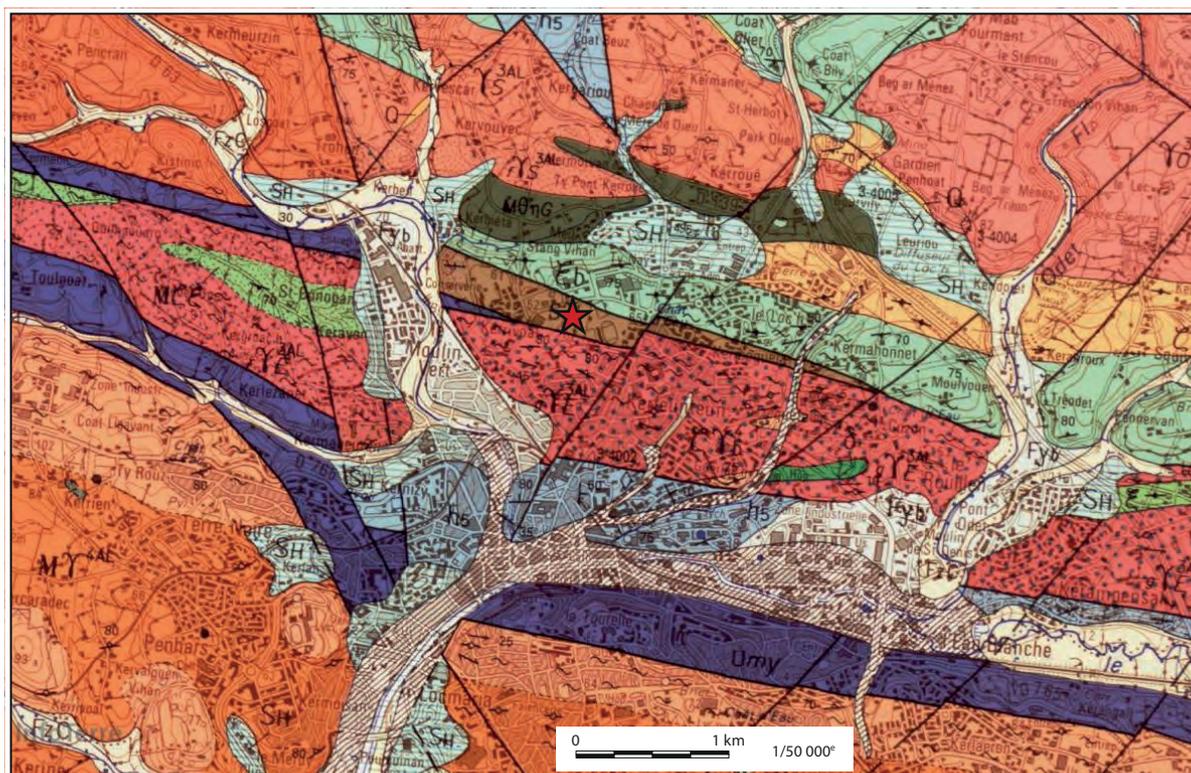
Le projet immobilier est localisé au nord de la commune de Quimper, sur le plateau de Kerfeunteun qui culmine à 68 m NGF. Ce dernier est isolé des plateaux alentours par les vallées de l'Odet au sud, du Steïr à l'ouest, et du Frouit à l'est. Les rebords de ce relief sont festonnés de talwegs. Deux d'entre eux, orientés nord-est / sud-ouest, accueillent des ruisseaux affluents de la rive gauche du Steïr.

Les terrains étudiés bordent le flanc occidental du talweg le plus septentrional (cf. *supra*, partie I, localisation de l'opération). Si leur partie nord-ouest correspond à un rebord de plateau au relief relativement peu marqué, leur partie méridionale se caractérise en revanche par un fort pendage s'inclinant en direction du sud-est, vers le ruisseau (**fig. 1 et 2**). Du haut de ces parcelles, le regard se porte sur la vallée du Steïr et sa confluence avec l'Odet ; au-delà de cette dépression, s'offrent les plateaux de Penhars, de la Terre-Noire et de Kermabeuzen.

Le contexte géologique (**fig. 3**) se compose d'un étroit banc de schistes noirs, schistes gréseux et quartzites lités de Kervivoal (Domaine central). Celui-ci se

Fig. 3- Localisation du diagnostic sur un extrait de la carte géologique de Quimper (© BRGM).

1- Arrêté n° 2021-034 en date du 27 janvier 2021



suit depuis Kerrivoal, à l'ouest, jusqu'à Kermahonnet à l'est. Ce lambeau, peu ou pas métamorphique, est en contact tectonique, sur son flanc sud, avec le faciès Kerfeunteun du granite d'Ergué, lui-même fortement mylonitisé, et, sur son flanc nord, avec les micaschistes à sillimanite - staurotide briovériens.

Sur le terrain, le substrat observé s'apparente, quant à lui, à du schiste présent à la fois sous la forme d'altérite de couleur beige-orangé et de filons de roche affleurants.

1.3. Le contexte archéologique

(J.-F. Villard)

Le site est inclus dans la zone archéologique sensible du plateau de Kerfeunteun. Jusqu'à la mise en service de la rocade du contournement nord de Quimper, les découvertes dans cette partie de la commune demeuraient exceptionnelles. Depuis, le développement urbain induit a permis d'enrichir les connaissances à propos des occupations anciennes de cette partie territoire (fig. 4).

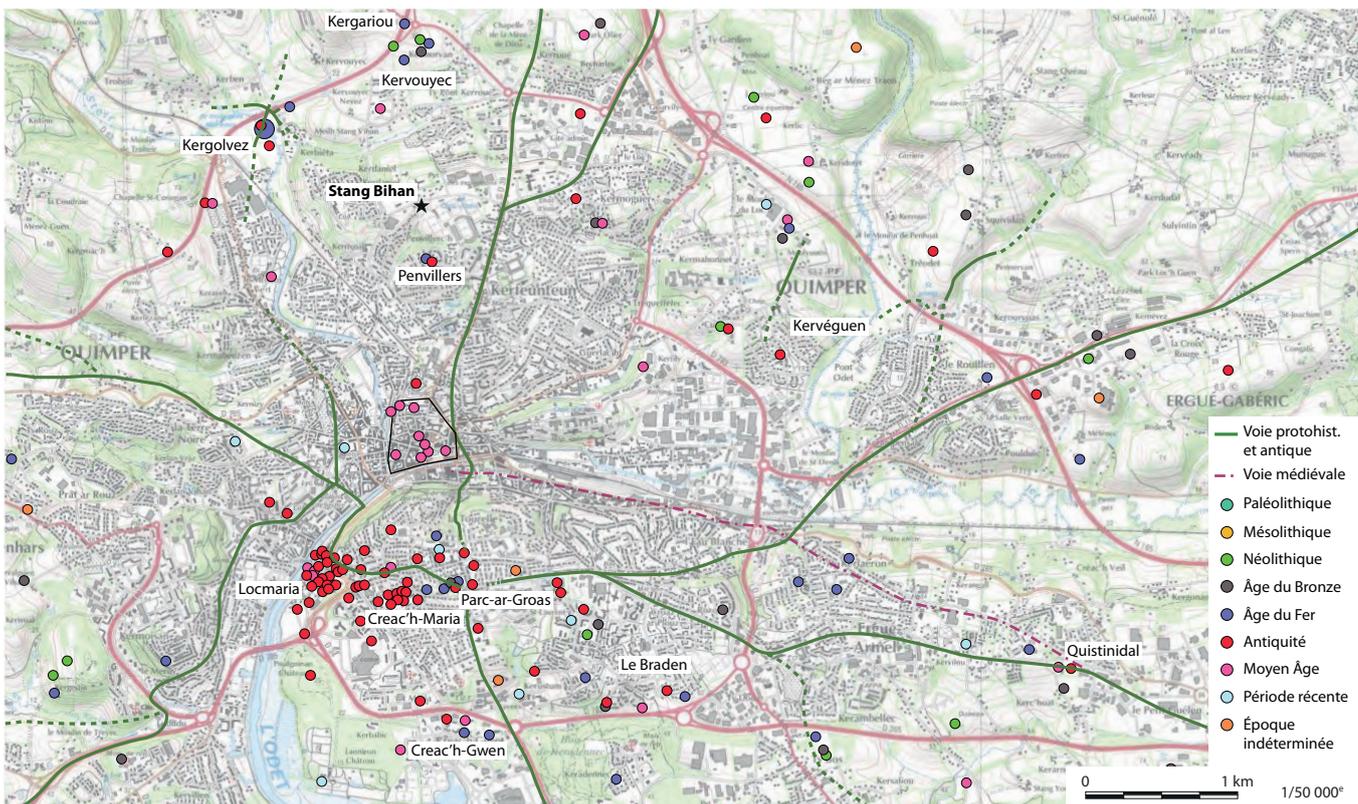
Les parcelles concernées par le diagnostic se situent au cœur d'un triangle matérialisé par les sites des secteurs de Kergolvez, de Kervouyec et de Penvillers. À eux seuls, ils couvrent une large période historique allant du Néolithique ancien au haut Moyen Âge :

- Des séries de fosses d'extraction, quelques trous de poteau matérialisent une occupation du Néolithique ancien à Kervouyec-Nevez. La céramique et le mobilier lithique, ainsi que des analyses ^{14}C , rattache l'établissement à la culture « Villeneuve-Saint-Germain », vers le premier quart du V^e millénaire avant notre ère².

- L'âge du Bronze est représenté par six fonds de caveaux rectangulaires datés entre 1700 et 1500 avant notre ère, découverts parmi les vestiges de l'âge du Fer de Kervouyec II³.

Fig. 4- Environnement archéologique du site
(© J.-F. Villard, Inrap).

2- Tinévez *et al.*, 2015
3- Nicolas, 2013



- Un dépôt de l'âge du Bronze, découvert en 1901, est signalé dans le secteur de Penvillers⁴. Il est localisé dans une parcelle voisine, au sud du terrain à diagnostiquer.

- Pour la fin du Premier âge du Fer, deux habitats distants de 250 m sont mis au jour à Kergariou⁵ et au sud de Kervouyec II⁶. Ils se caractérisent par des enclos fossoyés, des fondations de bâtiments et des grandes caves excavées. Celle de Kergariou se distinguait par la présence d'un dépôt d'objets métalliques, notamment des haches à douille, dans la grande salle enterrée (**fig.5**).

- Le Second âge du Fer est la période la mieux représentée puisque ces trois secteurs livrent des sites d'importance (**fig. 5**). Le principal est l'agglomération gauloise de Kergolvez implantée sur la rive droite d'un large méandre du Steir. Fondée à la fin du III^e siècle avant notre ère, elle se développe sur la rive opposé au cours du II^e siècle avant notre ère⁷. Elle couvre près de 5 hectares. Elle s'organise autour d'un axe de circulation permettant le franchissement de la rivière par un gué, puis par un pont. L'espace intérieur s'organisait selon un plan régulier respectant l'axe nord-est / sud-ouest de cette voie principale. De multiples bâtiments fondés sur sablières basses en pierre, encadrant des sols en terre battue, sont mis au jour, associés à une centaine de fosses quadrangulaire (espaces de stockage, ateliers ?). Le site livre une grande quantité de meules en pierre et d'amphores vinaires, ainsi que des traces de métallurgie du fer et du bronze. Kergolvez fut certainement une petite ville-marché, ouverte sur un territoire livrant de nombreuses implantations rurales de la fin de l'âge du Fer.

La ferme des Hauts-de-Penvillers (II^e-I^{er} siècles avant notre ère), quant à elle, fait partie des établissements ruraux environnants⁸. Elle se caractérise par un enclos fossoyé subcirculaire couvrant une superficie de près d'un hectare. Au sud-est, deux petits enclos annexes encadrent l'entrée de la ferme. L'organisation des structures internes (trous de poteau, petites tranchées, fosses, solins de pierre, greniers) n'était pas très explicite, en dépit de quelques zones privilégiées de concentration (habitations, bases de greniers sur pilotis). À l'extérieur, plusieurs fossés de parcellaires se raccordent à l'enclos, matérialisant les espaces agricoles environnant.

Plus au nord, le site de Kervouyec II livre également les vestiges, denses et complexes, d'une ferme installée dès le III^e siècle avant notre ère, développée dans un vaste espace clôturé, lui-même partagé en enclos plus petits. Il livre des espaces réservés à l'habitat (bâtiments fondés sur poteaux ou sur solin en pierres) et aux activités de stockage ou artisanales, des aires empierrées... La densité des vestiges révèle des accumulations de structures constamment remaniées et imbriquées. Cet ensemble de sites archéologiques donne une image très dynamique de la société rurale gauloise.

- Une partie de ces établissements semble encore en fonctionnement au début de l'Antiquité (**fig.5**). Le site de Kervouyec est occupé sans interruption jusqu'au I^{er} siècle de notre ère. De la même manière, les fossés de parcellaire des Hauts-de-Penvillers, mis en place durant l'époque gauloise, livrent des tessons gallo-romains. Si l'habitat de l'âge du Fer est abandonné, un nouvel enclos plus modeste s'installe à une centaine de mètres. Une sépulture (urne à crémation) est découverte enterrée dans les sédiments comblant l'ancien fossé d'enclos gaulois⁹. En ce qui concerne Kergolvez, la situation est plus délicate. Les vestiges observés dateraient l'abandon de l'agglomération vers 30-25 avant notre ère. La voie repérée au cœur du site livre dans ces niveaux supérieurs des tessons gallo-romains, suggérant sa pérennité et son maintien dans le réseau général des tracés antiques. Des traces d'habitats antiques sont par ailleurs découverts sur les lieux et à proximité. La question d'un effacement plus lent du site urbain gaulois et

4- Chatellier, 1907

5- Menez *et al.*, 2005

6- Nicolas, *ibidem*

7- Le Goff *et al.*, 2014

8- Le Bihan, 1997

9- Le Bihan, Villard, 2012, fig. 231

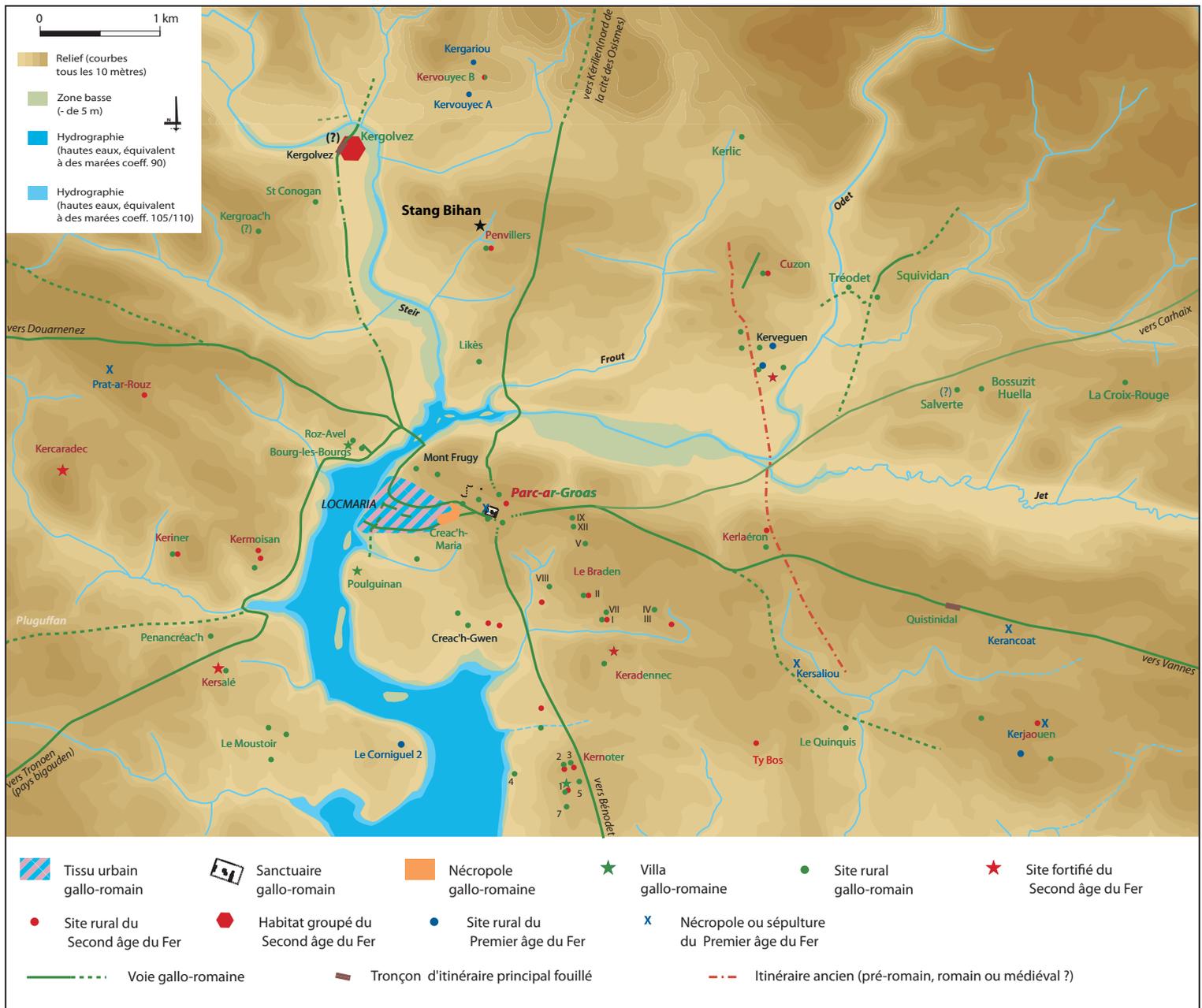


Fig. 5- Quimper aux époques gauloise et gallo-romaine, sites et axes de circulation (d'après document © Centre de Recherche Archéologique du Finistère).

d'un changement de statut se pose. Le contexte topographique, dans un méandre soumis au cours de l'histoire ancienne ou récente à de violentes inondations, et sur des parcelles abondamment cultivées a pu engendrer des pertes de niveaux archéologiques tardifs. Par ailleurs, la date proposée induit un hiatus difficilement explicable entre cet abandon et la création de l'agglomération antique à Locmaria, sur la rive gauche de l'Odet, au tout début du I^{er} siècle de notre ère. Ces observations incitent à envisager un abandon postérieur à la troisième décennie avant notre ère pour Kergolvez. Les conditions d'un tel abandon et la dispersion de certains d'habitants demeurent problématiques si aucune solution n'était proposée aux habitants et s'il ne pouvait être directement relié à la fondation de l'agglomération de Locmaria. Dans un rayon un peu plus large, au-delà du triangle précité, d'autres traces d'établissements ruraux gallo-romains sont mis au jour à Kergroac'h et à Saint-Conogan¹⁰, à l'ouest du cours du Steir, et à Kermoguer et Ty Nay, à l'est du plateau de Kerfeunteun. Enfin, d'anciennes découvertes importantes ont été faites, au sud, sous l'actuel établissement collègue / lycée du Likès¹¹: s'agit-il d'un important établissement gallo-romain

10- Villard, 2003

11- Du Chatellier 1907, Page 1978

doublé d'un retranchement médiéval ? Les précisions manquent cruellement pour ce site.

- Le secteur de Kervouyec I livre également les traces d'une occupation de la fin du haut Moyen Âge (X^e-XI^e siècles), découvertes lors d'un diagnostic¹², sous la forme de quelques fosses et trous de poteau, associés à des segments de fossés. Enfin, des poteries onctueuses du bas Moyen Âge sont mises au jour sur le site du Moulin Vert, le long de la rive droite du Steïr.

Par ailleurs, les parcelles à diagnostiquer se situent entre deux grands axes de circulation anciens remontant à la Protohistoire et/ou à l'Antiquité (**fig. 4 et 5**). À l'est se trouve le tracé de la voie antique conduisant, hors de Quimper, vers le nord de la cité des Osismes¹³. Vers le sud, elle rejoint le grand carrefour d'itinéraires localisé à proximité des sanctuaires gaulois et gallo-romains de Parc-ar-Groas. À l'ouest, longeant la rive droite du Steïr, se situe le tracé de la voirie traversant l'agglomération de Kergolvez (cf. *supra*). Cette voie datée de l'âge du Fer est toujours en fonctionnement durant l'Antiquité. Au nord du franchissement du Steïr, à la sortie de l'agglomération, elle se divise vers plusieurs directions cumulant à la fois des fonctions de grands itinéraires et de dessertes locales. Son étude montre que la plupart des axes de circulation qualifiés d'antiques, sont généralement utilisés dès la Protohistoire.

1.4. Problématiques du diagnostic

L'arrêté de prescription émis par les services de l'État insistait sur la localisation de la parcelle à diagnostiquer dans un secteur riche en vestiges archéologiques. De ce fait, l'objectif du diagnostic consistait à mettre en évidence, puis à caractériser la nature, l'étendue, la chronologie et le degré de conservation des entités archéologiques éventuellement présentes dans l'emprise du projet d'aménagement.

1.5. Méthodologie et moyens mis en œuvre

1.5.1. Phase de terrain

Ce diagnostic a mobilisé deux archéologues de l'Inrap durant cinq jours, entre le 21 et le 25 juin 2021. Ils ont été assistés par un chauffeur de pelle mécanique de l'entreprise Beaussire pendant deux jours, ainsi que par une topographe de l'Inrap durant une demi-journée.

Le choix d'implantation des tranchées de sondage a, quant à lui, été contraint par plusieurs éléments (**fig. 6**) :

- La topographie particulière de la parcelle explorée, et plus particulièrement les forts pentages rencontrés dans ses parties sud et est ;
- La présence de nombreux arbres et arbustes bordant la parcelle ;
- L'existence d'un talus de soutènement et de deux grands panneaux publicitaires dans la partie septentrionale de la parcelle.

En dépit de ces contraintes, cinq tranchées de sondages ont pu être réalisées (tranchées TR.1 à TR.5), auxquelles s'est ajoutée une tranchée complémentaire (tranchée TR.6). Elles couvrent une surface totale de 609,08 m², soit 10,76 % de la surface prescrite.

12- Roy, 2004

13- Picquenard, 1906

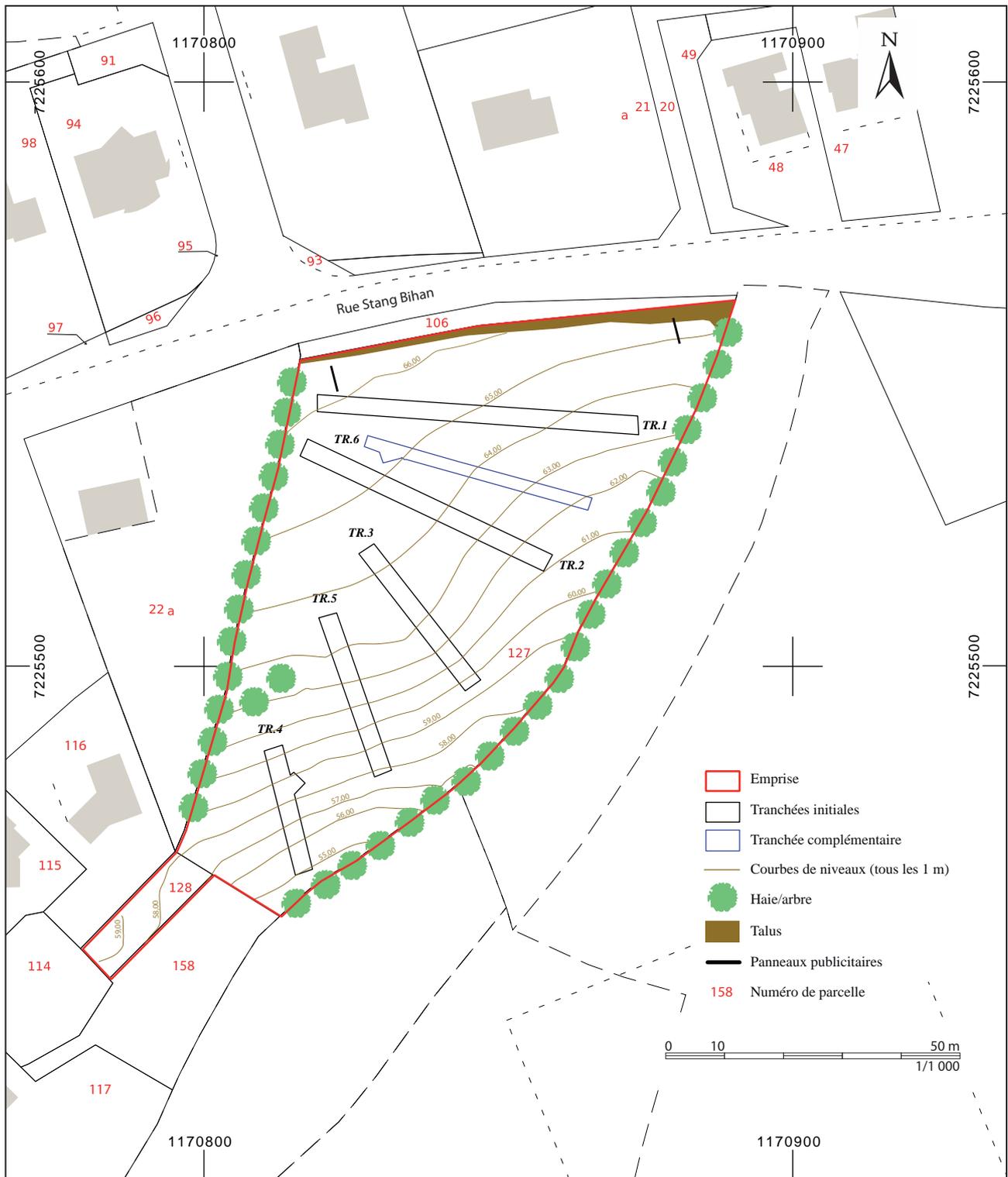


Fig. 6- Plan de localisation des tranchées de sondage implantées en fonction des contraintes rencontrées (© N. Ménez, Inrap).

Le décapage mécanique de ces ouvertures a été réalisé à l'aide d'une pelle hydraulique de 20 tonnes à chenilles munie de godets de curage lisses de 3 m (pour les tranchées TR.1 à TR.5) et de 2 m de large (pour la tranchée TR.6). Il s'est arrêté sur le toit des vestiges archéologiques ou, en l'absence de ceux-ci, sur le terrain naturel (**fig. 7**).

Quelques sondages mécaniques (numérotés de A à C) ont par ailleurs été réalisés au sein des structures les mieux conservées (fossés F.24 et F.36 mis au jour dans la tranchée TR.6 ; fosse F.20 dans la tranchée TR.4), tandis que la quasi-totalité des autres structures en creux mises en évidence ont fait l'objet de sondages manuels.

En ce qui concerne l'enregistrement des données, des coupes et des logs ont été réalisés. Ils ont ensuite fait l'objet de relevés manuels et photographiques avant d'être topographiés. Du fait de l'homogénéité des niveaux de recouvrement rencontrés dans l'ensemble des ouvertures, il a été décidé de relever la stratigraphie sous la forme de dix-huit logs. Les structures archéologiques mises au jour ont, quant à elles, fait l'objet de coupes « classiques ». Les unités stratigraphiques (Us) révélées ont pour leur part été enregistrées de 1 à n par structure. Enfin, l'ouverture des tranchées a bénéficié de l'utilisation systématique d'un détecteur de métaux.

1.5.2. Phase de post-fouille

À l'issue de l'opération, l'ensemble de la documentation a été inventoriée, les clichés photographiques triés et le plan général complété par les données de terrain.

Le mobilier archéologique a, quant à lui, été lavé, inventorié puis reconditionné par unités stratigraphiques dans des sacs zip, eux-mêmes stockés dans une caisse normalisée.



Fig. 7- Ouverture d'une tranchée à la pelle mécanique
(© N. Ménez, Inrap).

2. Présentation des vestiges

2.1. Tranchée 1

2.1.1. Données d'ordre général

La tranchée 1 (TR.1) est implantée dans la partie septentrionale de la parcelle diagnostiquée. Orientée nord-ouest/ sud-est, elle présente un léger pendage (5,6%) de la même orientation compris entre 66,60 m NGF et 63,50 NGF. De plan rectangulaire, cette tranchée mesure 54,57 m de long sur 3 m de large, soit une surface totale de 163,71 m². Elle dévoile la présence de huit segments de fossés et de cinq trous d'ancrage de poteaux (**fig. 8 et 9**).



Fig. 8- Vue générale de la tranchée TR.1 depuis l'est (© N. Ménéz, Inrap).

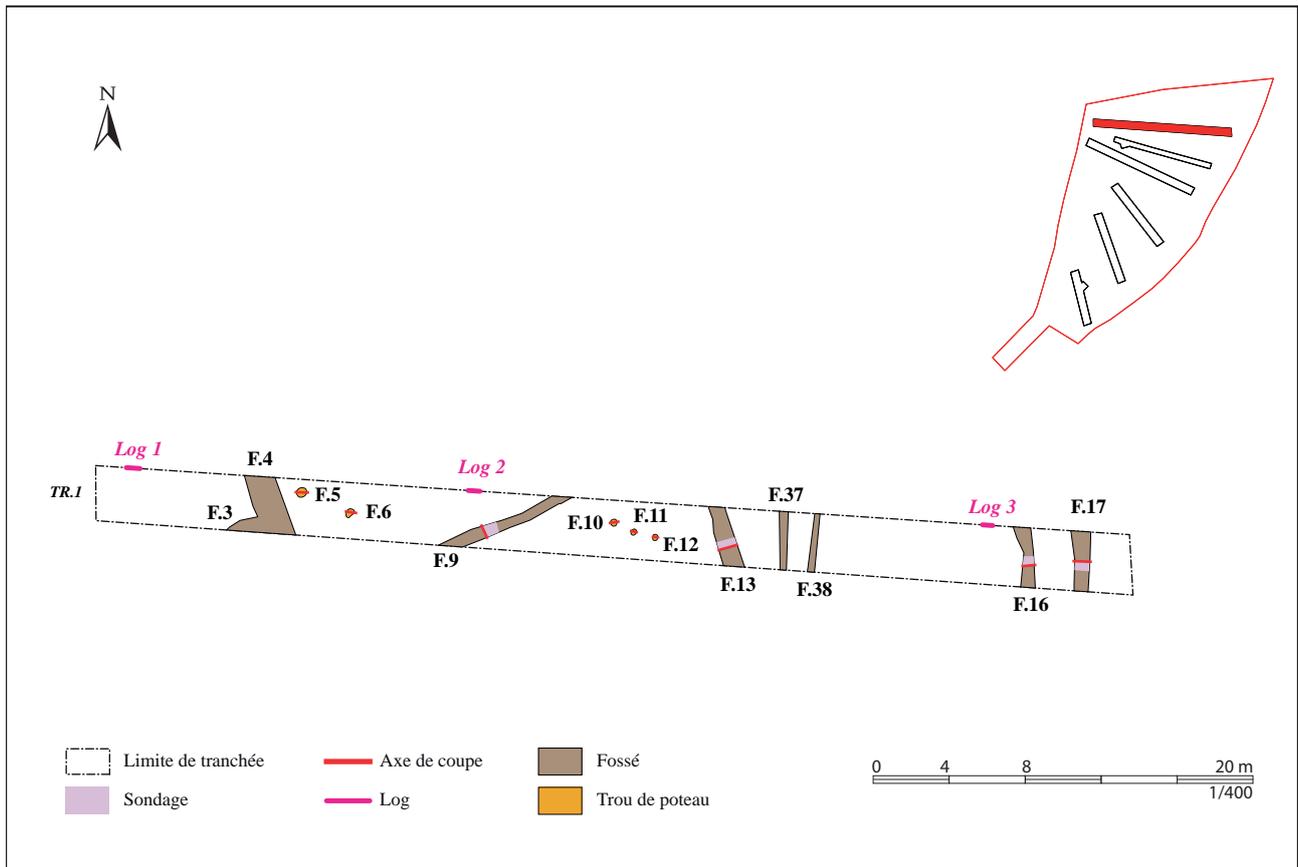


Fig. 9- Plan masse de la tranchée TR.1
(© N. Ménez, Inrap).

2.1.2. Éléments de stratigraphie

Au sein de cette tranchée, le substrat a été atteint entre 65,80 m NGF (partie nord-ouest de la tranchée -log 1) et 63,75 m NGF (partie sud-est de la tranchée -log 3). Il s'apparente à de l'altérite de schiste de couleur beige-orangé au sein de laquelle sont implantées les structures archéologiques. Il est intégralement recouvert par une couche de terre végétale dont l'épaisseur varie de 0,22 à 0,52 m (**fig. 10 et 11**).

Fig. 10- Ensemble des logs relevés au sein de la tranchée TR.1 (© N. Ménez, Inrap).

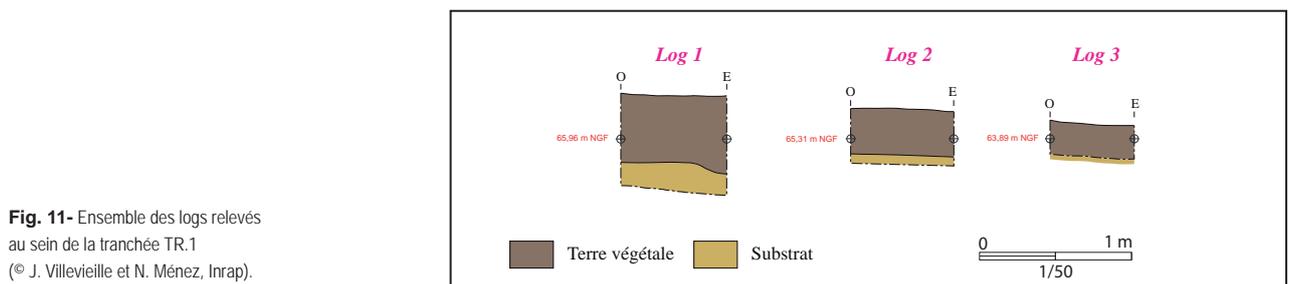
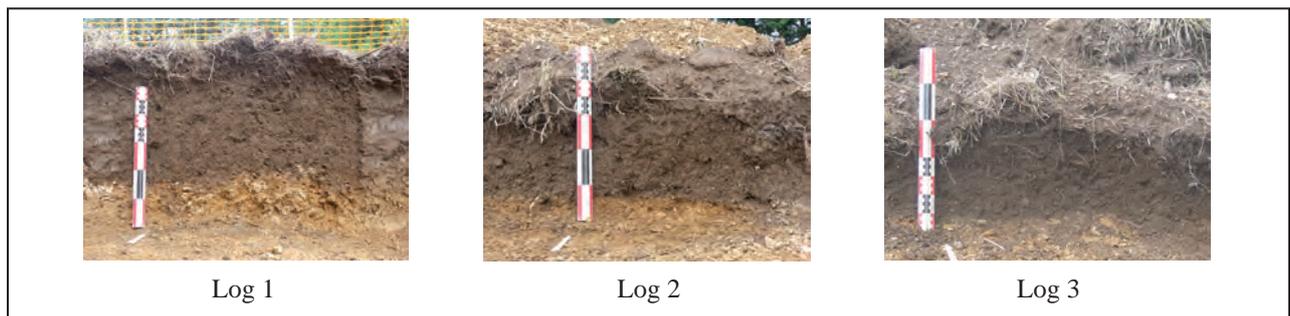


Fig. 11- Ensemble des logs relevés au sein de la tranchée TR.1
(© J. Villeveille et N. Ménez, Inrap).

2.1.3. Un ensemble de fossés

Cette fenêtre d'exploration révèle huit segments de fossés qui se répartissent sur l'ensemble de sa surface (**fig. 9**).

Le premier d'entre eux, le **fossé F.4**, est localisé dans la partie occidentale de la tranchée où il se développe selon une orientation nord-ouest/sud-est. Apparu dès 65,64 m NGF, il a été observé sur 3,24 m de long et mesure 1,62 m de large (**fig. 12**). Non sondé du fait qu'il s'apparente au même fossé que celui mis au jour au sein des tranchées TR.2 (F.19, cf. *infra*) et TR.6 (F.24, cf. *infra*), il affiche un comblement supérieur constitué de sédiment limoneux brun foncé piégeant des gravillons (Us 4-1) ainsi qu'un tesson de panse en céramique onctueuse (X^e-XVI^e siècles).



Fig. 12- Vue oblique des fossés F.3 (à gauche) et F.4 (à droite)
(© N. Ménez, Inrap).

Également implanté dans la partie ouest de la tranchée, le **fossé F.3** apparaît, quant à lui, dès 65,38 m NGF. Étudié de manière partielle (il se développe en grande partie au-delà de la limite de tranchée selon une orientation nord-est/sud-ouest), il affiche des dimensions de 1,80 m de long et 0,88 m de large. Il forme par ailleurs une intersection avec le fossé F.4 (cf. *supra*) dont la relation chronostratigraphique n'a pu être caractérisée dans le cadre du diagnostic (**fig. 12**). Non testé, il présente un comblement supérieur composé de sédiment limoneux brun piégeant des gravillons (Us 3-1).

Apparu dès 64,94 m NGF, le **fossé F.9** affiche pour sa part une orientation nord-est/sud-ouest. Observé sur 6,50 m de long, il présente un profil en cuvette large de 0,54 m à l'ouverture et est conservé sur une profondeur de 0,14 m (**fig. 13 à 15**). Son comblement (Us 9-1) est constitué de sédiment limoneux brun qui piège des plaquettes de schiste et livre trois fragments de panse en céramique onctueuse (X^e-XVI^e siècles).

Installé quelques mètres plus à l'est, le **fossé F.13** apparaît dès 64,43 m NGF. Orienté nord-ouest/sud-est, il a été observé sur 3,33 m de long. Son exploration manuelle a permis de mettre en évidence un profil en cuvette, large de 0,76 m à l'ouverture et conservé sur 0,10 m de profondeur (**fig. 16 à 18**). Il est comblé par du sédiment limoneux brun qui piège des plaquettes de schiste (Us 13-1) ainsi qu'un fragment de terre cuite non caractérisé.



Fig. 13- Vue générale du fossé F.9
(© N. Ménez, Inrap).



Fig. 14- Profil sud-ouest du fossé F.9
(© N. Ménez, Inrap).

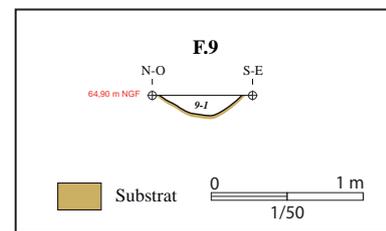


Fig. 15- Relevé du profil sud-ouest du fossé F.9
(© J. Villeveille et N. Ménez, Inrap).



Fig. 16- Vue générale du fossé F.13
(© N. Ménez, Inrap).



Fig. 17- Profil sud-est du fossé F.13
(© N. Ménez, Inrap).

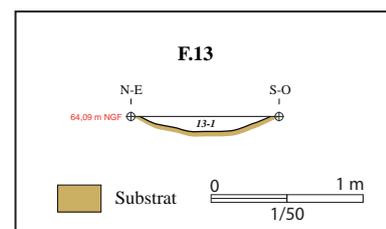


Fig. 18- Relevé du profil sud-est du fossé F.13
(© J. Villeveille et N. Ménez, Inrap).



Fig. 19- Vue générale du fossé F.16
(© N. Ménez, Inrap).



Fig. 20- Profil sud-du fossé F.16
(© N. Ménez, Inrap).

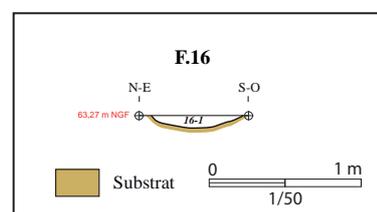


Fig. 21- Relevé du profil sud du fossé F.16
(© J. Villevieille et N. Ménez, Inrap).

Le **fossé F.37** est, quant à lui, apparu dès 64,23 m NGF et présente une orientation nord-sud. Étudié sur 3,10 m de long, il affiche une largeur maximale de 0,47 m et n'a pas été testé dans le cadre du diagnostic en raison de son fort arasement. Son comblement supérieur s'apparente à du sédiment limoneux brun (Us 37-1).

Localisé à environ 1 m à l'est du précédent, le **fossé F.38** apparaît dès 64,07 m NGF. Observé sur 3,10 m de long, il se développe selon un axe nord-est/sud-ouest et affiche une largeur maximale de 0,37 m. Très arasé, il n'a pas fait l'objet de sondage. Son comblement supérieur s'apparente, quant à lui, à du sédiment limoneux brun (Us 38-1).

Apparu dès 63,66 m NGF et étudié sur 3,20 m de long, le **fossé F.16** observe pour sa part une orientation nord/sud. Son exploration manuelle révèle un profil en cuvette conservé sur 0,08 m de profondeur et large de 0,60 m à l'ouverture (**fig. 19 à 21**). Il est comblé par du sédiment limoneux brun qui piège des plaquettes de schiste (Us 16-1).

Le dernier de ces fossés, le **fossé F.17**, est implanté à l'extrémité orientale de la fenêtre d'exploration où il apparaît dès 63,25 m NGF. Orienté nord/sud, il est quasiment parallèle au fossé précédent (F.16, cf. *supra*) et se développe sur 3,19 m de long. Sondé manuellement, il dévoile un profil irrégulier large de 0,78 m à l'ouverture et conservé sur 0,20 m de profondeur (**fig. 22 à 24**). Son comblement se compose pour sa part de sédiment limoneux brun piégeant des plaquettes de schiste (Us 17-1).



Fig. 22- Vue générale du fossé F.17
(© N. Ménez, Inrap).



Fig. 23- Profil nord du fossé F.17
(© N. Ménez, Inrap).

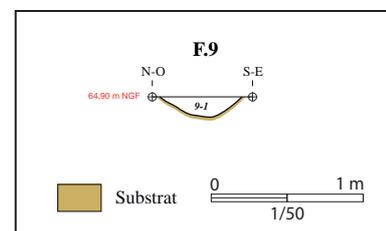


Fig. 24- Relevé du profil-nord du fossé F.17
(© J. Villeveille et N. Ménez, Inrap).

2.1.4. Un ensemble de trous d'ancrage de poteaux

Outre les huit fossés présentés plus haut (cf. *supra*), la tranchée TR.1 dévoile la présence de cinq trous d'ancrage de poteaux répartis en deux groupes.

Le premier d'entre eux, composé par les structures F.5 et F.6, est implanté dans la partie occidentale de la fenêtre d'exploration, entre les fossés F.4 (à l'ouest) et F.9 (à l'est). Apparu dès 65,46 m NGF, le **trou de poteau F.5** affiche un plan circulaire de 0,54 m de diamètre ainsi qu'un profil en cuvette conservé sur 0,10 m de profondeur (fig. 27 et 29). Il est comblé par du sédiment limoneux brun (Us 5-1). Le **trou de poteau F.6** apparaît, quant à lui, dès 65,26 m NGF et présente un plan très irrégulier de 0,50 m de long sur 0,40 m de large. Très arasé, il affiche un profil en cuvette très arasé (0,04 m de hauteur conservée) comblé par du sédiment limoneux brun (Us 6-1) (fig. 25 et 26).

Le second de ces ensembles, installé entre les fossés F.9 (à l'ouest) et F.13 (à l'est), est constitué par les structures F.10, F.11 et F.12 qui forment un alignement de 2,60 m de long orienté nord-ouest/sud-est (fig. 27 et 28). Apparu dès 64,66 m NGF, le **trou de poteau F.10** présente un plan circulaire de 0,36 m de diamètre, ainsi qu'un profil en cuvette conservé sur 0,14 m de profondeur. Il est comblé par du sédiment limoneux brun (Us 10-1) qui piège des blocs de quartz. Implanté à 0,80 m à l'est du précédent, le **trou de poteau F.11** apparaît pour sa part dès 64,51 m NGF et affiche un plan subcirculaire de 0,34 m de long sur 0,30 m de large. Son exploration manuelle dévoile un profil à bords évasés et fond en cuvette conservé sur 0,18 m de profondeur. Il est rempli par du sédiment limoneux brun (Us 11-1). Le **trou de poteau F.12** est, quant à lui, creusé à 0,85 m à l'est du précédent et apparaît dès 64,40 m NGF. De plan subcirculaire, il mesure

0,33 m de long sur 0,28 m de large et présente un profil en cuvette conservé sur 0,06 m de profondeur. Il est comblé par du sédiment limoneux brun piégeant des plaquettes de schiste (Us 12-1).



Fig. 25- Vues générales des trous d'ancrage de poteaux F.5 (à gauche) et F.6 (à droite)
(© N. Ménez, Inrap).

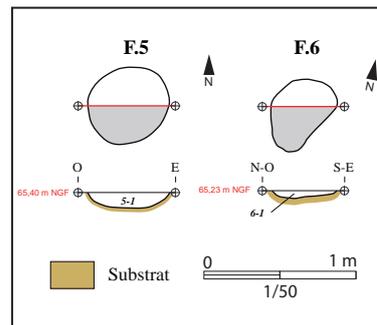


Fig. 26- Relevé des plans et des profils nord des trous d'ancrage de poteaux F.5 et F.6
(© J. Villeveille et N. Ménez, Inrap).



Fig. 27- Vue générale de l'ensemble formé par les trous d'ancrage de poteaux F.10, F.11 et F.12 (de gauche à droite)
(© N. Ménez, Inrap).

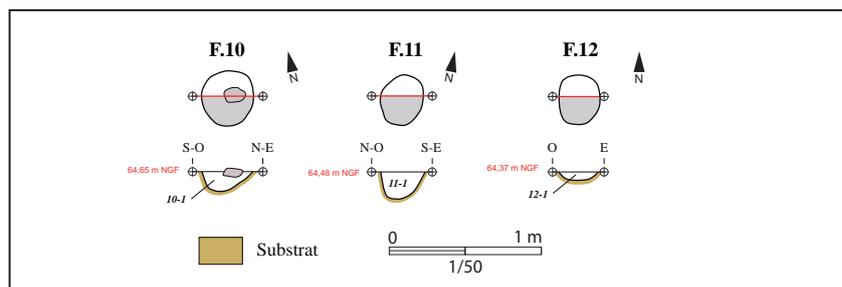


Fig. 28- Relevés des plans et des profils nord des trous d'ancrage de poteaux F.10, F.11 et F.12
(© J. Villeveille et N. Ménez, Inrap).

2.2. Tranchée 2

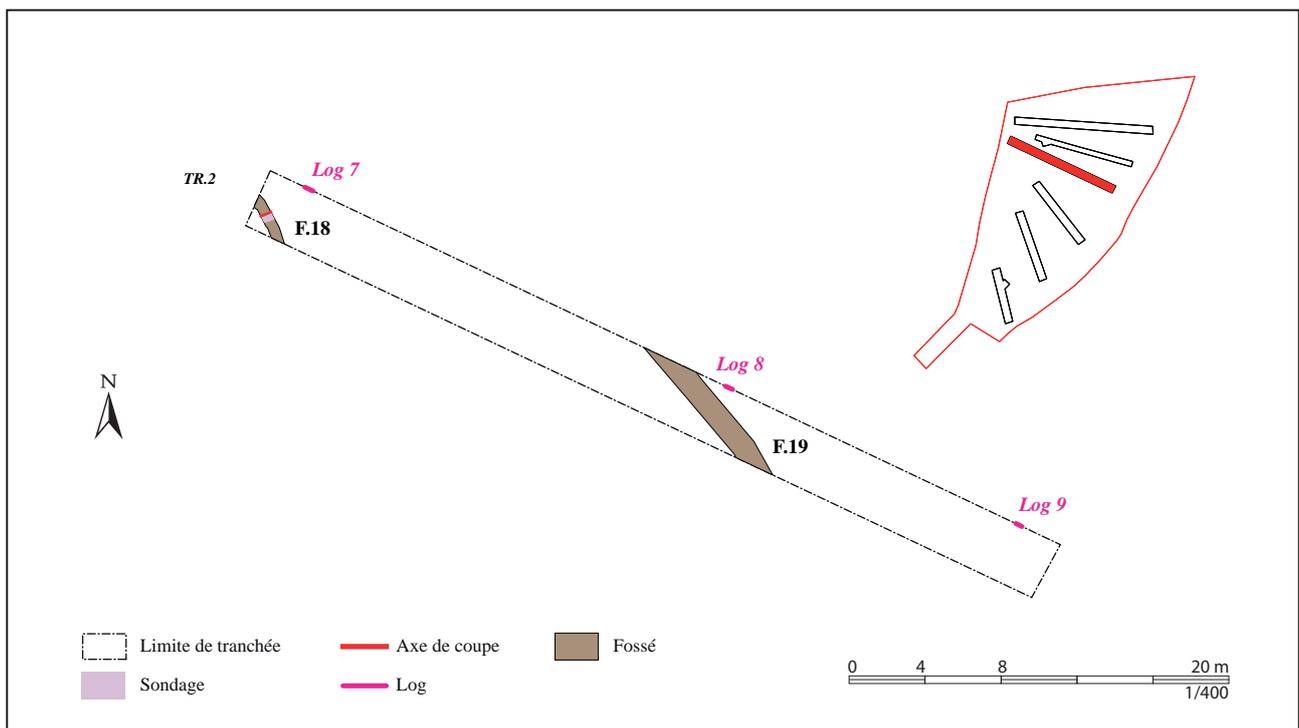
2.2.1. Données d'ordre général

La tranchée 2 (TR.2) est implantée dans la partie septentrionale de la parcelle diagnostiquée. Orientée nord-ouest/ sud-est, elle présente un pendage -marqué- de la même orientation compris entre 65,87 m NGF et 61,50 NGF (soit 9,5% de pente). De plan rectangulaire, cette tranchée mesure 46,10 m de long sur 3 m de large, soit une surface totale de 138,30 m². Elle dévoile la présence de deux segments de fossés (fig. 29 et 30).

Fig. 29- Vue générale de la tranchée TR.2 depuis le sud-est
(© N. Ménez, Inrap).



Fig. 30- Plan masse de la tranchée TR.2
(© N. Ménez, Inrap).



2.2.2. Éléments de stratigraphie

Au sein de cette tranchée, le substrat a été atteint entre 65,48 m NGF (partie nord-ouest de la tranchée-log 7) et 61,35 m NGF (partie sud-est de la tranchée-log 9). Il s'apparente à de l'altérite de schiste de couleur beige-orangé au sein de laquelle sont implantées les structures archéologiques. Il est intégralement recouvert par une couche de terre végétale dont l'épaisseur varie de 0,28 à 0,36 m (**fig. 31 et 32**).



Fig. 31- Ensemble des logs relevés au sein de la tranchée TR.2 (© N. Ménez, Inrap).

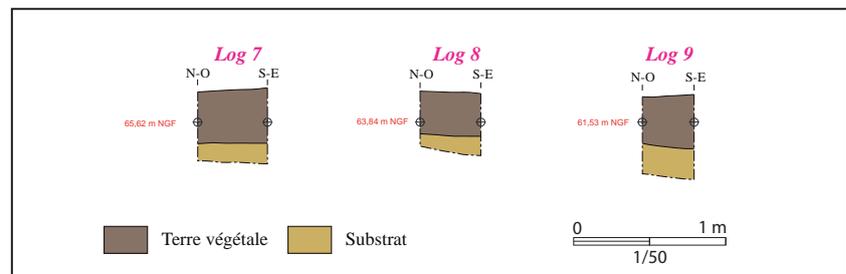


Fig. 32- Ensemble des logs relevés au sein de la tranchée TR.2 (© J. Villeveille et N. Ménez, Inrap).

2.2.3. Les fossés F.18 et F.19

Le **fossé F.18** a été repéré dans l'angle sud-ouest de la fenêtre d'exploration où il apparaît dès 65,53 m NGF. Orienté nord-ouest/sud-est, il a été étudié sur 2,92 m de long et semble présenter une légère courbure. Son exploration manuelle dévoile un profil à bords évasés et fond en cuvette conservé sur 0,16 m de profondeur, ainsi qu'une largeur de 0,56 m à l'ouverture (**fig. 33 à 35**). Il est comblé par du sédiment limoneux brun (Us 18-1).

Mis au jour dans la partie centrale de la tranchée, le **fossé F.19** est, quant à lui, apparu dès 64,11 m NGF. Observé sur 7,60 m de long, il se développe selon une orientation nord-ouest/sud-est et présente une largeur maximale de 1,25 m (**fig. 36**). Non sondé du fait qu'il s'apparente au même fossé que celui mis au jour au sein des tranchées 1 (F.4, cf. *supra*) et 6 (F.24, cf. *infra*), il affiche un comblement supérieur constitué de sédiment limoneux brun foncé piégeant des gravillons (Us 19-1) ainsi qu'un tessou de faïence contemporaine.

2.3. Tranchée 3

2.3.1. Données d'ordre général

La tranchée 3 (TR.3) est implantée dans la partie centrale de la parcelle diagnostiquée. Orientée nord-ouest/ sud-est, elle présente un fort pendage de la même orientation compris entre 64,42 m NGF et 59,55 m NGF (soit 19% de pente). De plan rectangulaire, cette tranchée mesure 25,54 m de long sur 3 m de large, soit une surface totale de 76,66 m² (**fig. 37 à 39**). Elle ne dévoile pas le moindre vestige archéologique.



Fig. 33- Vue générale du fossé F.18
(© N. Ménez, Inrap).



Fig. 34- Profil nord-ouest du fossé F.18
(© N. Ménez, Inrap).

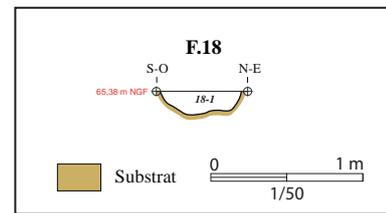


Fig. 35- Relevé du profil nord-ouest du fossé F.18
(© J. Villeveille et N. Ménez, Inrap).



Fig. 36- Vue générale du fossé F.19
(© N. Ménez, Inrap).



Fig. 37- Vue générale de la tranchée TR.3 depuis le nord-ouest
(© N. Ménez, Inrap).



Fig. 38- Vue générale de la tranchée TR.3 depuis le sud-est
(© N. Ménez, Inrap).

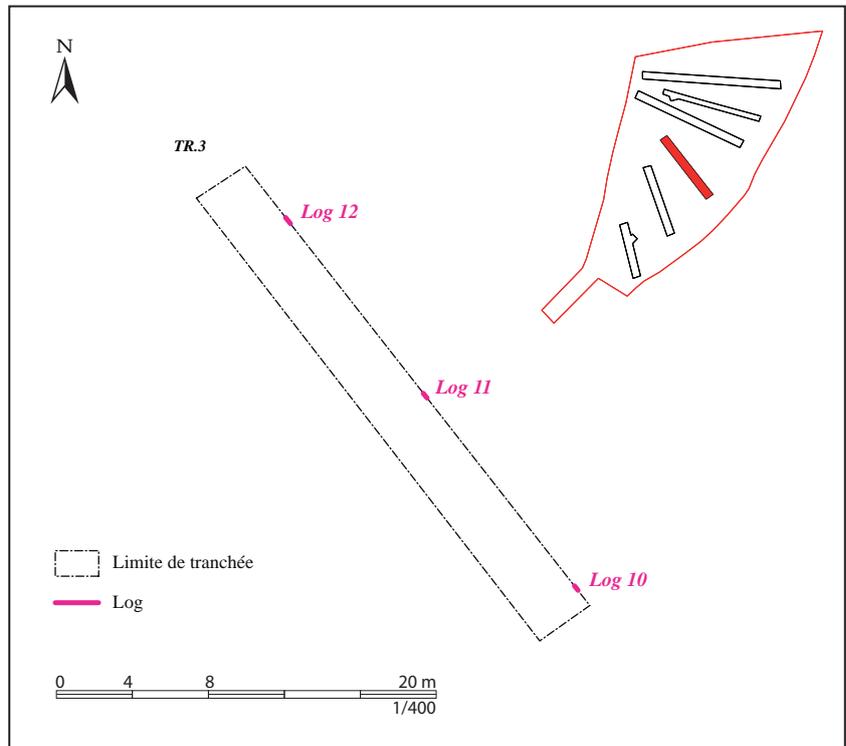


Fig. 39- Plan masse de la tranchée TR.3
(© N. Ménez, Inrap).

2.3.2. Éléments de stratigraphie

Au sein de cette tranchée, le substrat a été atteint entre 63,92 m NGF (partie nord-ouest de la tranchée - log 12) et 59,83 m NGF (partie sud-est de la tranchée - log 10). Il s'apparente à du schiste présent à la fois sous la forme d'altérite de couleur beige-orangé et de filons de roche affleurants. Il est intégralement recouvert par une couche de terre végétale dont l'épaisseur varie de 0,12 à 0,30 m (**fig. 40 et 41**).



Fig. 40- Ensemble des logs relevés au sein de la tranchée TR.3 (© N. Ménez, Inrap).

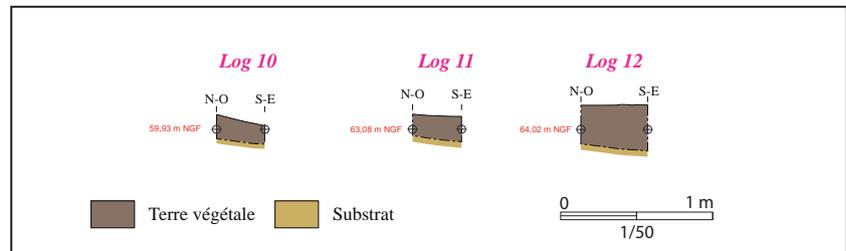


Fig. 41- Ensemble des logs relevés au sein de la tranchée TR.3 (© J. Villevicille et N. Ménez, Inrap).

2.4. Tranchée 4

2.4.1. Données d'ordre général

La tranchée 4 (TR.4) est implantée dans la partie méridionale de la parcelle diagnostiquée. Orientée nord-ouest/ sud-est, elle présente un fort pendage de la même orientation compris entre 60,55 m NGF et 54,83 NGF (soit 26% de pente). De plan rectangulaire, cette tranchée mesure 21,88 m de long sur 3 m de large, soit une surface totale de 65,64 m² (**fig. 42 et 43**). Elle dévoile la présence d'une unique fosse.



Fig. 42- Vue générale de la tranchée TR.4 depuis le nord-ouest. Sa partie méridionale a été rebouchée peu de temps après son ouverture pour des questions de sécurité (© N. Ménez, Inrap).

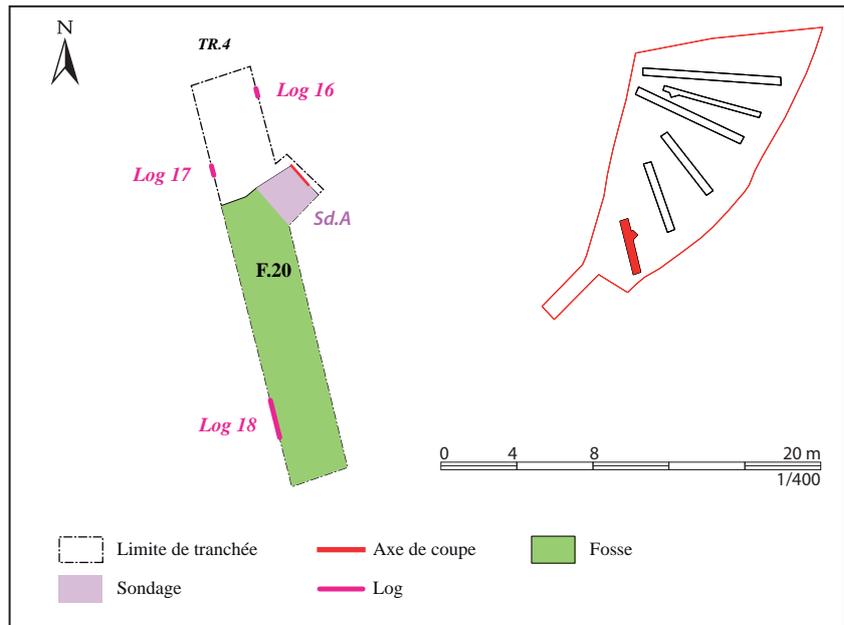


Fig. 43- Plan masse de la tranchée TR.4 (© N. Ménez, Inrap).

2.4.2. Éléments de stratigraphie

Au sein de cette tranchée, le substrat a été atteint entre 59,90 m NGF (partie nord-ouest de la tranchée - log 16) et 55,08 m NGF (partie sud-est de la tranchée - log 18). Il s'apparente à de l'altérite de schiste de couleur beige-orangé au sein de laquelle est implantée la fosse F.20 (cf. *infra*). Il est intégralement recouvert par une couche de terre végétale dont l'épaisseur varie de 0,24 à 0,50 m (fig. 44 et 45).

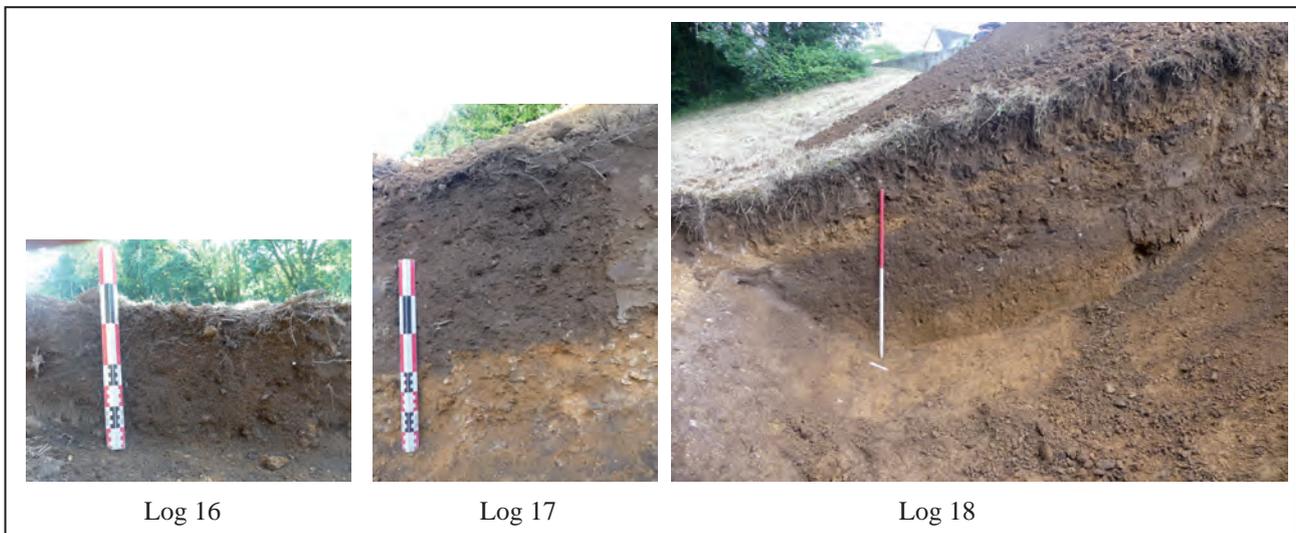


Fig. 44- Ensemble des logs relevés au sein de la tranchée TR.4 (© N. Ménez, Inrap).

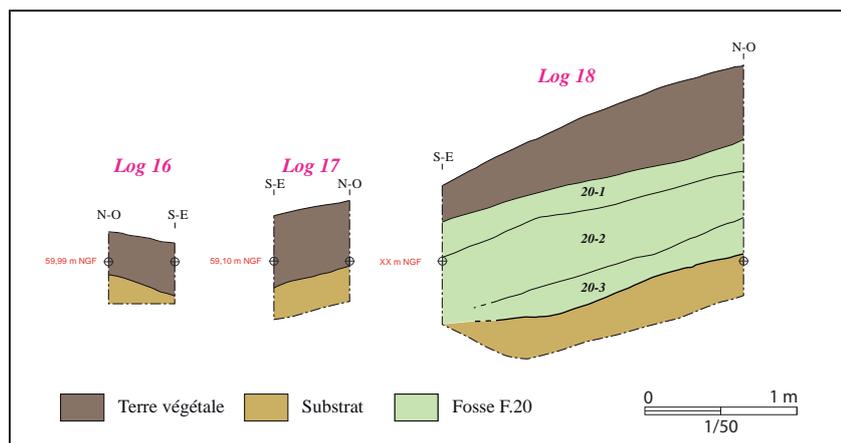


Fig. 45- Ensemble des logs relevés au sein de la tranchée TR.4 (© J. Villeveille et N. Ménez, Inrap).

2.4.3. La fosse F.20

Apparue dès 58,48 m NGF, la fosse F.20 se développe dans les deux tiers méridionaux de la tranchée d'exploration, soit sur une longueur d'environ 15 m. Seul son bord nord - évasé- a pu être appréhendé dans le cadre du diagnostic (sondage Sd. A) (**fig. 46 et 47**).

Explorée à deux reprises (sondage Sd. A et log 18 - cf. *supra*), cette fosse affiche une profondeur de 0,80 m ainsi qu'un fond irrégulier. Elle est comblée par trois strates (**fig. 44 et 47**). La plus ancienne (Us 20-3), épaisse de 0,20 m en moyenne, tapisse son fond et s'apparente à du sédiment limoneux brun foncé qui piège de nombreux cailloux de quartz et quelques charbons de bois. Elle est oblitérée par une couche hétérogène de 0,40 m d'épaisseur (Us 20-2) composée de sédiment limoneux brun piégeant de nombreux matériaux de construction récents (bitume, béton, blocs, ardoises...) associés à un tesson de faïence contemporaine. Cette strate est elle-même masquée par une épaisseur de substrat remanié compacté (Us 20-1) de 0,16 m de large en moyenne qui scelle la fosse.



Fig. 46- Bord septentrional de la fosse F.20 mis en évidence au sein du sondage Sd. A (© N. Ménez, Inrap).

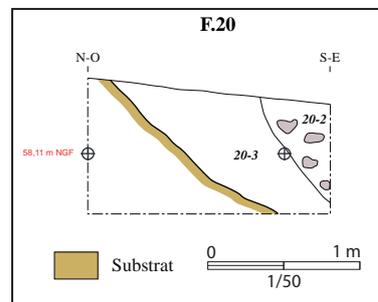


Fig. 47- Relevé du bord septentrional de la fosse F.20 mis en évidence au sein du sondage Sd. A (© J. Villevieille et N. Ménez, Inrap).

2.5. Tranchée 5

2.5.1. Données d'ordre général

La tranchée 5 (TR.5) est implantée dans la partie méridionale de la parcelle diagnostiquée. Orientée nord-ouest/ sud-est, elle présente un fort pendage de la même orientation compris entre 63,58 m NGF et 57,85 m NGF (soit 19,8% de pente). De plan rectangulaire, cette tranchée mesure 28,87 m de long sur 3 m de large, soit une surface totale de 86,61 m² (**fig. 48 et 50**). Elle dévoile la présence d'une unique fosse.



Fig. 48- Vue générale de la tranchée TR.5 depuis le nord-ouest
(© N. Ménez, Inrap).



Fig. 49- Vue générale de la tranchée TR.5 depuis le sud-est
(© N. Ménez, Inrap).

2.5.2. Éléments de stratigraphie

Au sein de cette tranchée, le substrat a été atteint entre 63,43 m NGF (partie nord-ouest de la tranchée - log 13) et 60,20 m NGF (partie sud-est de la tranchée - log 15). Il s'apparente à de l'altérite de schiste de couleur beige-orangé au sein de laquelle est implantée la fosse F.21 (cf. *infra*). Il est intégralement recouvert par une couche de terre végétale dont l'épaisseur varie de 0,12 à 0,24 m (**fig. 51 et 52**).

2.5.3. La fosse F.21

La fosse F.21 a été mise en évidence dans l'extrémité méridionale de la fenêtre d'exploration où elle est apparue dès 59,87 m NGF. Observée sur 8,15 m de long et sur toute la largeur de la tranchée (soit 3 m), elle n'a dévoilé que son bord septentrional (**fig. 53**). Correspondant au prolongement, en direction de l'est, de la fosse F.20 étudiée au sein de la tranchée TR.4 (cf. *supra*), elle n'a pas fait l'objet de sondage.

Fig. 50- Plan masse de la tranchée TR.5
(© N. Ménez, Inrap).

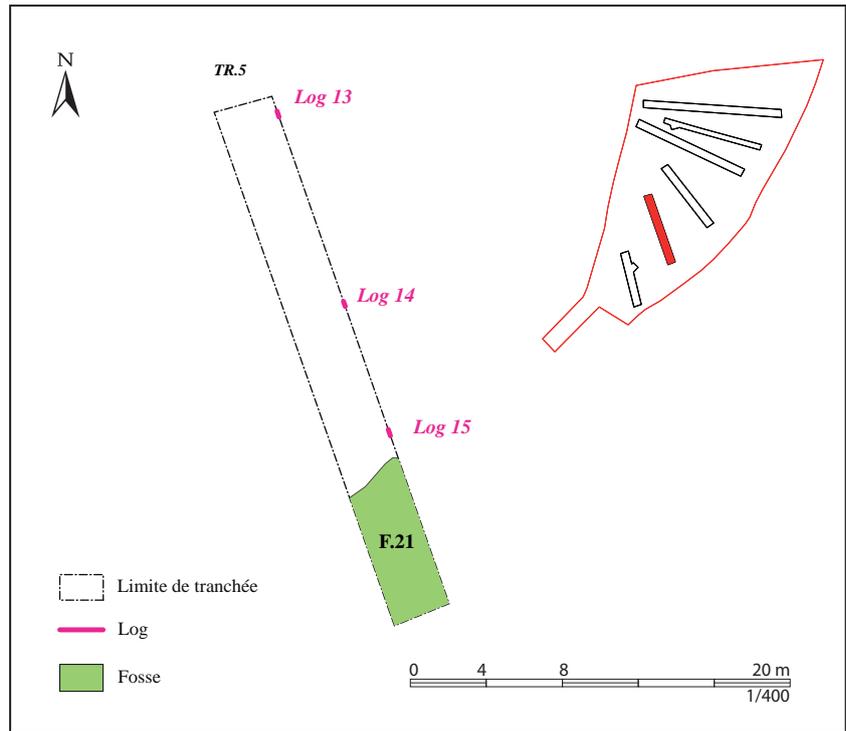


Fig. 51- Ensemble des logs relevés au sein de la tranchée TR.5 (© N. Ménez, Inrap).

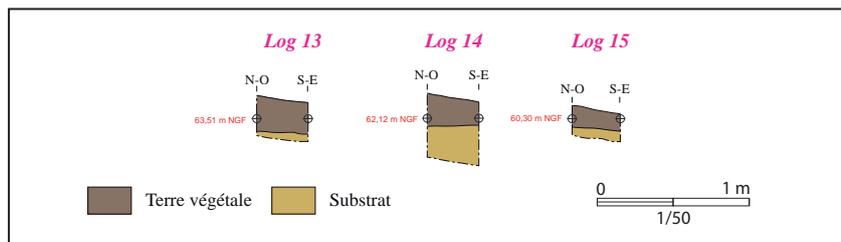


Fig. 52- Ensemble des logs relevés au sein de la tranchée TR.5
(© J. Villeveille et N. Ménez, Inrap).



Fig. 53- Vue générale du bord septentrional de la fosse F.21 (© N. Ménez, Inrap).

2.6. Tranchée 6

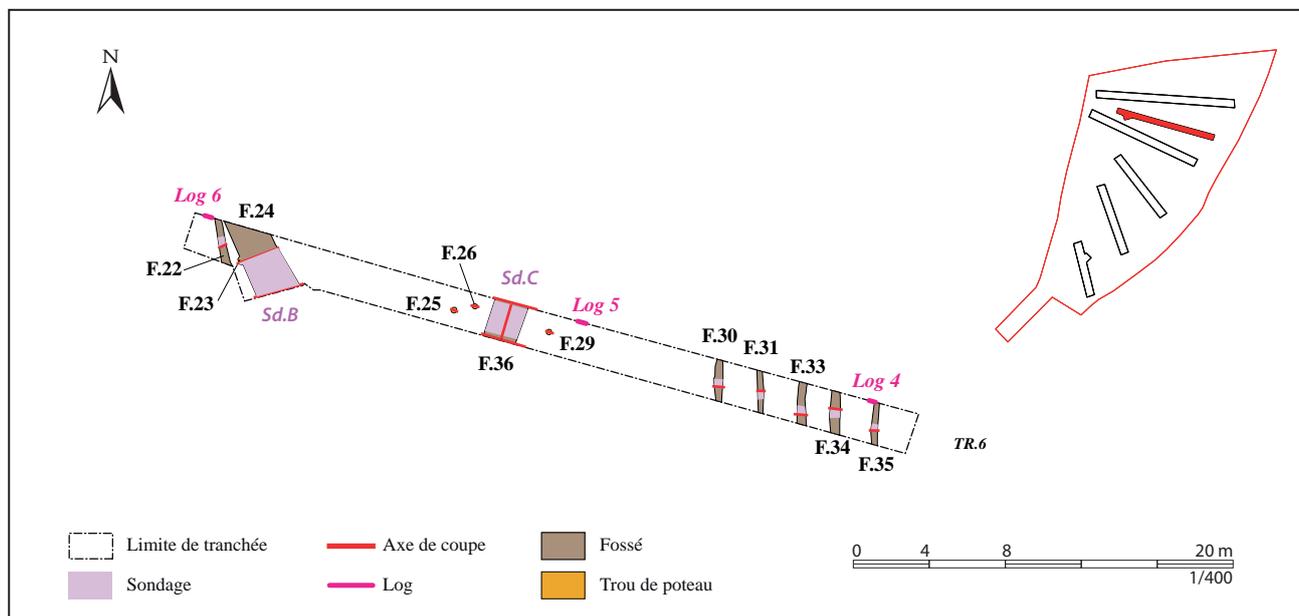
2.6.1. Données d'ordre général

La tranchée 6 (TR.6) correspond à une fenêtre d'exploration complémentaire implantée dans la partie septentrionale de la parcelle diagnostiquée, entre tranchées TR.1 et TR.2 (cf. *supra*). Orientée nord-ouest/ sud-est, elle présente un pendage de la même orientation compris entre 65,50 m NGF et 62,23 NGF (soit 8% de pente). De plan rectangulaire, cette tranchée mesure 39,58 m de long sur 2 m de large, soit une surface totale de 79,16 m² (fig. 54 et 55). Elle dévoile la présence de huit segments de fossés, quatre trous d'ancrage de poteaux, une fosse et une structure de combustion.

Fig. 54- Vue générale de la tranchée TR.6 depuis le nord-ouest (© N. Ménez, Inrap).



Fig. 55- Plan masse de la tranchée TR.6 (© N. Ménez, Inrap).



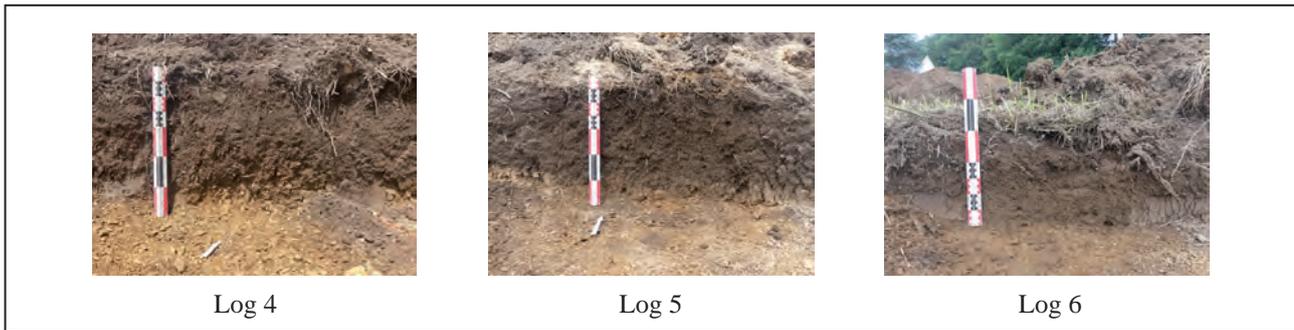


Fig. 56- Ensemble des logs relevés au sein de la tranchée TR.6 (© N. Ménez, Inrap).

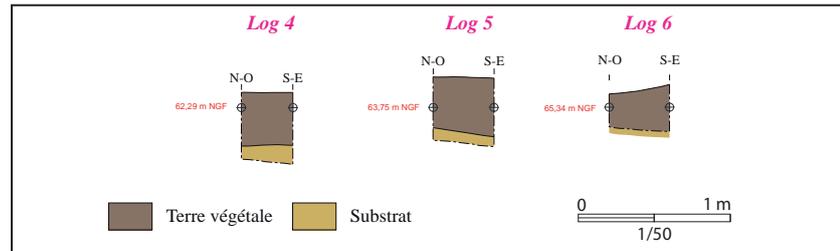


Fig. 57- Ensemble des logs relevés au sein de la tranchée TR.6 (© J. Villevieille et N. Ménez, Inrap).

2.6.2. Éléments de stratigraphie

Au sein de cette tranchée, le substrat a été atteint entre 65,20 m NGF (partie nord-ouest de la tranchée- log 6) et 62,04 m NGF (partie sud-est de la tranchée-log 4). Il s'apparente à de l'altérite de schiste de couleur beige-orangé au sein de laquelle sont implantées les structures archéologiques. Il est intégralement recouvert par une couche de terre végétale dont l'épaisseur varie de 0,22 à 0,40 m (**fig. 56 et 57**).

2.6.3. Un ensemble de fossés

Cette sixième fenêtre d'exploration révèle la présence de huit segments de fossés qui se répartissent sur l'ensemble de sa surface (**fig. 55**).

Le premier d'entre eux, le **fossé F.22**, a été repéré à l'extrémité occidentale de la tranchée où il apparaît dès 65,17 m NGF. Observé sur une longueur de 2,50 m, il suit une orientation nord-ouest/sud-est. Son exploration manuelle révèle un profil en cuvette large de 0,34 m à l'ouverture et conservé sur 0,12 m de profondeur (**fig. 58 et 60**). Il est comblé par du sédiment limoneux brun (Us 22-1).

Localisé immédiatement à l'est de la structure précédente (cf. *supra*), le **fossé F.24** apparaît dès 65,12 m NGF. Observé sur 4,35 m de long, il se développe selon un axe nord-ouest/sud-est et affiche une largeur de près de 1,90 m à l'ouverture. Son exploration mécanique par le biais d'un sondage (Sd. B) dévoile un profil à bords évasés et à fond plat conservé sur 0,70 m de profondeur au maximum. Son comblement est, quant à lui, constitué de trois strates (**fig. 61 à 63**). La plus ancienne (Us 24-3), épaisse de 0,10 m en moyenne, tapisse la partie inférieure de son creusement et s'apparente à du substrat remanié. Lui succède une couche d'environ 0,20 m d'épaisseur composée de sédiment limono-argileux brun piégeant des gravillons (Us 24-2), puis une puissante strate d'environ 0,50 m de large constituée de sédiment limoneux brun qui piège des cailloux de quartz ainsi que des gravillons (Us 24-1).

Implanté quelques mètres plus à l'est, la structure **F.36**, à bords parallèles, apparaît, quant à elle, dès 64,15 m NGF et affiche une orientation nord-est/sud-ouest. Étudiée sur 2 m de long, elle a fait l'objet d'un sondage mécanique (sondage Sd. C) qui révèle un profil à bords évasés et à fond en cuvette conservé sur une profondeur comprise entre 0,48 (coupe nord-est) et 0,80 m (coupe sud-ouest). Large d'environ 1,70 m à l'ouverture, elle est comblée par quatre strates (**fig. 64 à 66**). La plus ancienne d'entre elles (Us 36-4) est constituée une large



Fig. 58- Vue générale du fossé F.22
(© N. Ménez, Inrap).

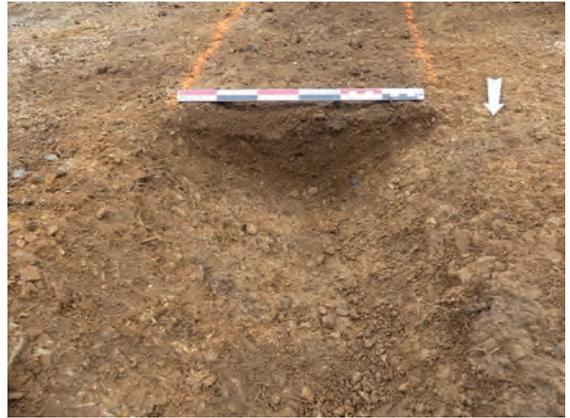


Fig. 59- Profil sud-est du fossé F.22
(© N. Ménez, Inrap).

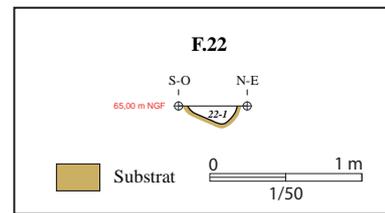


Fig. 60- Relevé du profil sud-est du fossé F.22
(© J. Villeveille et N. Ménez, Inrap).



Fig. 61- Profil nord-ouest du fossé F.24. À gauche du cliché, on observe le trou d'ancrage de poteau F.23 et, à droite, un phénomène géologique naturel (© N. Ménez, Inrap).



Fig. 62- Profil sud-est du fossé F.24
(© N. Ménez, Inrap).

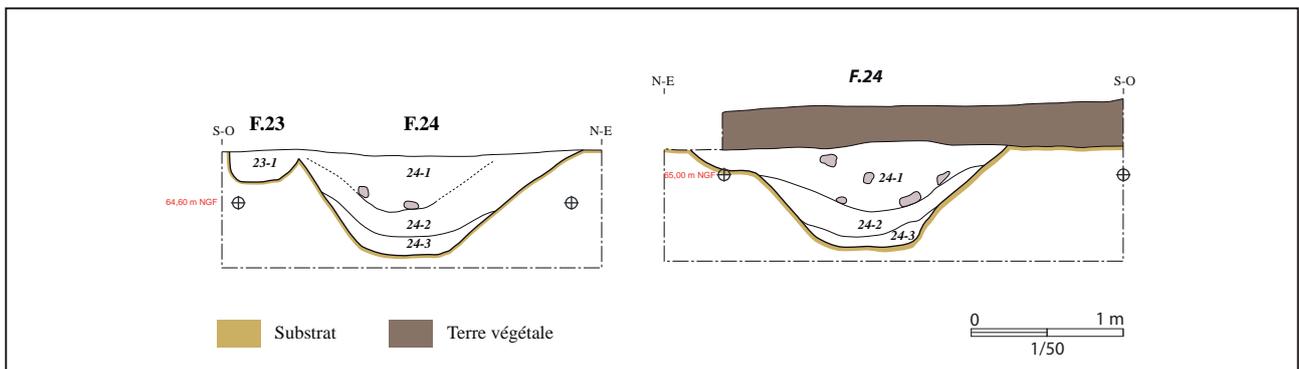


Fig. 63- Relevés des profils nord-ouest et sud-est du fossé F.24 (© J. Villeveille et N. Ménez, Inrap).



Fig. 64- Profil sud-ouest de la structure F.36
(© N. Ménez, Inrap).



Fig. 65- Profil nord-est de la structure F.36
(© N. Ménez, Inrap).

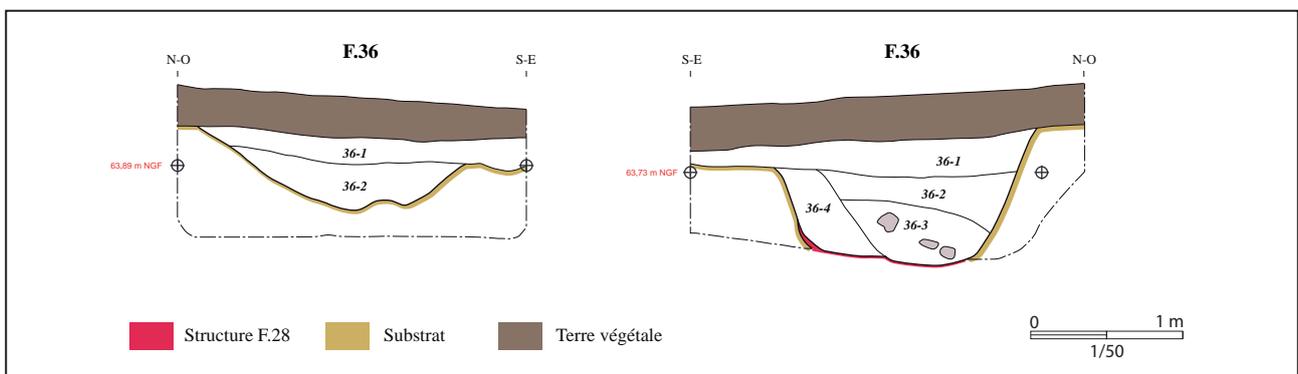


Fig. 66- Relevés des profils sud-ouest et nord-est de la structure F.36 (© J. Villeveille et N. Ménez, Inrap).



Fig. 67- Vue d'ensemble du profil sud-ouest de la structure F.36 et de ses relations stratigraphiques avec la fosse F.27 (au premier plan) et la structure F.28 (au second plan)
(© N. Ménez, Inrap).

couche (0,34 m) de substrat remanié qui tapisse une partie de son flanc oriental. Elle est oblitérée par une strate d'environ 0,35 m d'épaisseur composée de sédiment limoneux brun-gris qui piège des blocs de gneiss (Us 36-3). Celle-ci est ensuite recouverte par une couche de sédiment limoneux brun, associé à des poches de substrat (Us 36-2), épaisse de 0,30 m en moyenne. La dernière de ces strates, dont la largeur varie de 0,14 à 0,22 m, s'apparente, quant à elle, à du sédiment limoneux brun piégeant des charbons des bois (Us 36-1) et qui scelle le comblement du fossé. En dépit de ces informations d'ordre stratigraphique, la réalisation de ce sondage mécanique au sein de la structure F.36 n'a pas permis de caractériser sa fonction (fossé ? fosse ? autre ?), mais a néanmoins permis d'observer qu'elle recoupait deux structures antérieures : la fosse F.27 et la structure de combustion F.28 sur lesquelles nous reviendrons (cf. *infra*) (**fig. 66 et 67**).

Le **fossé F.30** est pour sa part apparu dès 62,72 m NGF et présente une orientation nord-sud. Étudié sur 2,20 m de long et sondé de manière manuelle, il présente un profil en cuvette large de 0,42 m à l'ouverture et conservé sur 0,14 m de profondeur (**fig. 68 à 70**). Son comblement est constitué de sédiment limoneux brun (Us 30-1) qui livre un tesson de faïence contemporaine.

Localisé à 1,80 m à l'est du précédent, le **fossé F.31** apparaît dès 62,45 m NGF. Observé sur 2,25 m de long, il se développe selon un axe nord/sud et affiche une largeur de 0,36 m à l'ouverture. Sondé manuellement, il dévoile un profil en cuvette conservé sur une profondeur de 0,11 m et comblé par du sédiment limoneux brun piégeant des plaquettes de schiste (Us 31-1) (**fig. 71 à 73**).

Mis au jour à 1,75 m à l'est du fossé F.31 (cf. *supra*), le **fossé F.33** affiche la même orientation que ce dernier. Apparu dès 62,29 m NGF, il a été observé sur 2,23 m de long. Son exploration manuelle dévoile un profil en cuvette conservé sur 0,08 m de profondeur ainsi qu'une largeur de 0,50 m à l'ouverture (**fig. 74 à 76**). Son comblement se compose, quant à lui, de sédiment limoneux brun qui piège des plaquettes de schiste (Us 33-1).



Fig. 68- Vue générale du fossé F.30
(© N. Ménez, Inrap).



Fig. 69- Profil sud du fossé F.30
(© N. Ménez, Inrap).

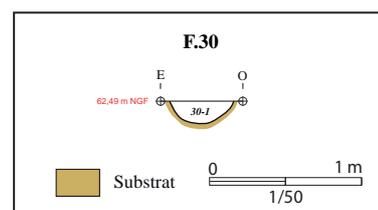


Fig. 70- Relevé du profil sud du fossé F.30
(© J. Villeveille et N. Ménez, Inrap).



Fig. 71- Vue générale du fossé F.31
(© N. Ménez, Inrap).



Fig. 72- Profil nord-du fossé F.31
(© N. Ménez, Inrap).

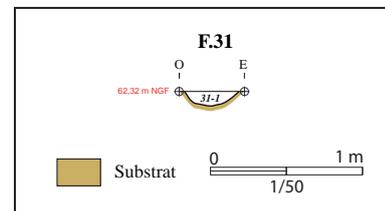


Fig. 73- Relevé du profil nord du fossé F.31
(© J. Villevieille et N. Ménez, Inrap).



Fig. 74- Vue générale du fossé F.33
(© N. Ménez, Inrap).



Fig. 75- Profil sud du fossé F.33
(© N. Ménez, Inrap).

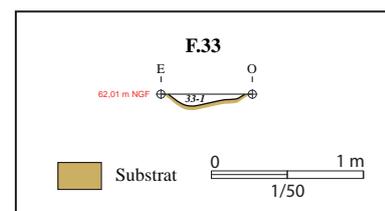


Fig. 76- Relevé du profil sud du fossé F.33
(© J. Villevieille et N. Ménez, Inrap).

Apparu dès 62,10 m NGF et étudié sur 2,25 m de long, le fossé F.34 est pour sa part implanté à 1,30 m à l'est du fossé F.33 (cf. *supra*) dont il reprend strictement l'orientation. Exploré manuellement, il présente un profil en cuvette large de 0,50 m à l'ouverture et conservé sur une profondeur de 0,11 m (fig. 77 à 79). À l'instar de la structure précédente, il est comblé par du sédiment limoneux brun piégeant des plaquettes de schiste (Us 34-1).



Fig. 77- Vue générale du fossé F.34
(© N. Ménez, Inrap).



Fig. 78- Profil nord du fossé F.34
(© N. Ménez, Inrap).

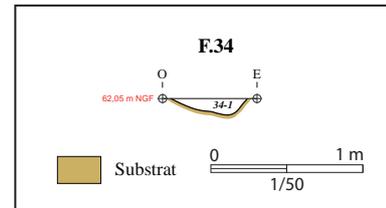


Fig. 79- Relevé du profil nord du fossé F.34
(© J. Villeveille et N. Ménez, Inrap).



Fig. 80- Vue générale du fossé F.35
(© N. Ménez, Inrap).



Fig. 81- Profil sud du fossé F.35
(© N. Ménez, Inrap).

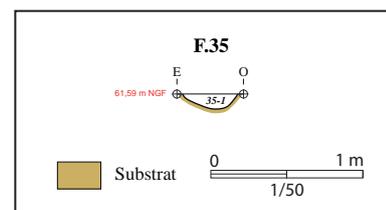


Fig. 82- Relevé du profil sud du fossé F.35
(© J. Villeveille et N. Ménez, Inrap).

Le fossé **F.35**, enfin, a été découvert à l'extrémité orientale de la tranchée où il est apparu dès 61,86 m NGF. Localisé à 1,70 m à l'ouest du fossé F.34 (cf. *supra*), il a été étudié sur 2,25 m de long et affiche une largeur à l'ouverture de 0,46 m. Son exploration manuelle permet de préciser qu'il est doté d'un profil en cuvette conservé sur 0,10 m de profondeur et comblé par du sédiment limoneux brun qui piège des plaquettes de schiste (Us 35-1) (**fig. 80 à 82**).

2.6.4. Un ensemble de trous d'ancrage de poteaux

Outre ces segments de fossés, la tranchée TR.6 révèle la présence de quatre trous d'ancrage de poteaux (cf. *supra*, **fig. 55**).

Le premier d'entre eux, le **trou de poteau F.23**, a été mis au jour dans la partie occidentale de la fenêtre d'exploration où il est apparu dès 64,95 m NGF. Localisé contre le flanc sud-ouest du fossé F.24 (cf. *supra*) avec lequel aucun lien chrono-stratigraphique n'a pu être précisé, il présente un plan partiel subcirculaire de 0,21 m de long sur 0,40 m de large. La réalisation du sondage mécanique Sd. B au sein du fossé F.24 permet de préciser qu'il affiche un profil à bords évasés et fond en cuvette conservé sur 0,20 m de profondeur et comblé par du sédiment limoneux brun piégeant des gravillons (Us 23-1) (**fig. 83 et 84**).



Fig. 83- Profil nord-ouest du trou d'ancrage de poteau F.23
(© N. Ménez, Inrap).

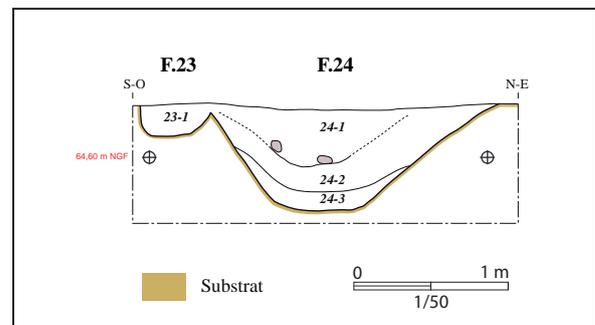


Fig. 84- Relevé nord-ouest du trou d'ancrage de poteau F.23
(© J. Villevieille et N. Ménez, Inrap).

Apparus respectivement dès 64,20 et 64,16 m NGF, les **trous d'ancrage de poteau F.25 et F.26** sont, quant à eux, implantés entre les fossés F.24 (à l'ouest ; cf. *supra*) et F.36 (à l'est ; cf. *supra*). La structure **F.25** affiche un plan subcirculaire de 0,32 m de long sur 0,28 m de large ainsi qu'un profil en cuvette conservé sur 0,12 m de profondeur (**fig. 85 et 86**). Elle est comblée par du sédiment limoneux brun (Us 25-1). La structure **F.26** est pour sa part installée à 0,80 m au nord-est de la précédente et présente un plan un plan subcirculaire de 0,30 m de long sur 0,26 m de large. Son creusement à bords évasés et fond en cuvette est conservé sur une profondeur de 0,18 m et est comblé par du sédiment limoneux brun foncé (Us 26-1) (**fig.85 et 86**).



Fig. 85- Vues générales des trous d'ancrage de poteaux F.25 (à gauche) et F.26 (à droite)
(© N. Ménez, Inrap).

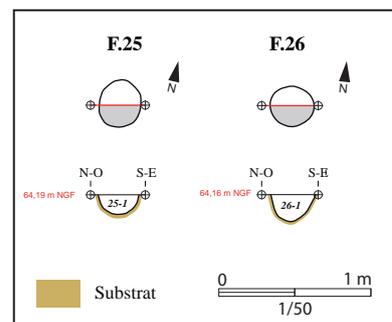


Fig. 86- Relevé des plans et des profils nord des trous d'ancrage de poteaux F.25 et F.26 (© J. Villevieille et N. Ménez, Inrap).

Le **trou d'ancrage de poteau F.29** est implanté entre les fossés F.36 (à l'ouest ; *cf. supra*) et F.30 (à l'est ; *cf. supra*). Apparue dès 63,61 m NGF, il affiche un plan circulaire de 0,28 m de diamètre ainsi qu'un profil à bords évasés et fond en cuvette conservé sur 0,16 m de profondeur (**fig. 87 et 88**). Il est comblé par du sédiment limoneux brun (Us 29-1).



Fig. 87- Vue générale du trou d'ancrage de poteau F.29
(© N. Ménez, Inrap).

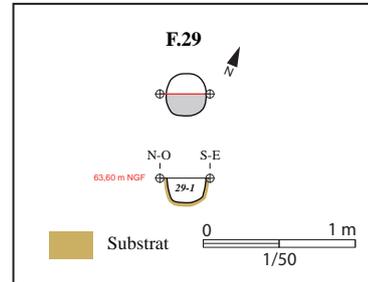


Fig. 88- Relevé du plan et du profil nord-est du trou d'ancrage de poteau F.29
(© J. Villevieille et N. Ménez, Inrap).

2.6.5. La fosse F.27

Localisée dans la partie centrale de la fenêtre d'exploration (*cf. supra*, **fig. 55**), la **fosse F.27** a été mise au jour lors du sondage mécanique Sd. C réalisé dans la structure F.36 (*cf. supra*). Complètement masquée et en partie recoupée par cette dernière, elle est apparue dès 63,37 m NGF. Elle affiche un plan subcirculaire de 0,82 m de long sur 0,68 m de large ainsi qu'un profil à bords évasés et fond irrégulier conservé sur 0,10 m de profondeur au maximum (**fig. 89 et 90**). Son comblement s'apparente, quant à lui, à du sédiment limoneux brun (Us 27-1).



Fig. 89- Vue générale de la fosse F.27 en cours de fouille
(© N. Ménez, Inrap).

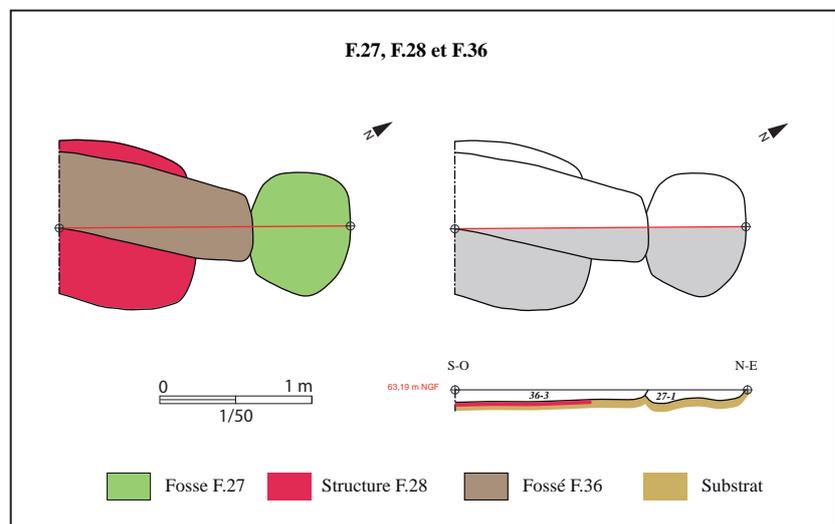


Fig. 90- Relevé du plan et du profil nord-ouest de la fosse F.27 (© J. Villevieille et N. Ménez, Inrap).

2.6.6. La structure de combustion F.28

Implantée à proximité immédiate de la fosse F.27 (*cf. supra*), la **structure F.28** a également été découverte lors de la réalisation du sondage mécanique Sd. C au sein de la structure F.36 (*cf. supra*). Apparue dès 63,27 m NGF, elle était elle aussi complètement masquée et en majeure partie recoupée par ce dernier. Étudiée de manière partielle (elle se prolonge, en direction du sud-ouest, au-delà de la limite de la tranchée), elle se caractérise par une zone fortement rubéfiée



Fig. 91- Vue générale de la structure F.28 ; au second plan, la fosse F.27
(© N. Ménez, Inrap).

formant un plan rectangulaire mesurant 1,08 m de large sur 0,92 m de long au minimum (**fig. 90 à 92**). Concernant son profil, seule la coupe sud du sondage mécanique Sd. C permet d'observer un bord oriental évasé conservé sur une profondeur maximale de 0,19 m. Ce faible degré de conservation ne permet donc guère de préciser la forme initiale de cette structure de combustion et, a fortiori, de caractériser sa fonction.



Fig. 92- Vue de détail de la structure F.28 et de sa relation avec la structure F.36 (au second plan) (© N. Ménez, Inrap).

2.7. Étude des mobiliers (R. Delage)

TR.1, fossé F.4, surface

Fragments de céramique onctueuse médiévale / moderne.

TR.1, fossé F.9, surface

Fragments de céramique onctueuse médiévale / moderne.

TR.1, fossé F.13, surface

Terre cuite sans caractérisation chronologique.

TR.2, fossé F.19, surface

Faïence contemporaine.

Tr. 4, fosse F.20

Faïence contemporaine.

Tr. 6, fosse F.28, surface

Lithique.

Tr. 6, fossé F.30, surface

Faïence contemporaine.

2.8. Éléments de synthèse

Réalisé sur un terrain marqué par une forte pente atteignant 25% par endroits, ce diagnostic dévoile la présence de vestiges dans sa partie septentrionale (tranchées TR.1, TR.2 et TR.6). Apparaissant entre 65,54 m NGF (tranchée TR.1) et 63,09 m NGF (tranchée TR.2), ces derniers prennent la forme de segments de fossés, de trous d'ancrage de poteaux, d'une fosse et d'une structure de combustion qui semblent former un ensemble cohérent matérialisant une petite occupation de nature indéterminée. Quelques structures nettement plus récentes complètent le panorama des vestiges (**fig. 93**).

Les données recueillies au cours de l'opération permettent de tirer quelques conclusions quant à l'organisation générale de l'ensemble.

2.8.1. Une occupation médiévale

Un important fossé constitué par les segments F.4 (tranchée TR. 1), F.24 (tranchée TR.6) et F.19 (tranchée TR.2) paraît marquer une limite forte dans le paysage et contenir la majeure partie des vestiges mis au jour. Étudié sur près de 40 m de long, il semble se poursuivre en direction du nord-ouest, tandis que vers le sud-est, il doit se prolonger au nord de la tranchée TR.3, au sein de laquelle il n'est pas présent. Ses dimensions imposantes (1,70 m d'ouverture et 0,70 m de profondeur conservée), associées à la quasi absence de structures à l'ouest, semblent aller dans le sens d'un creusement clôturant le site sur son flanc occidental.

Au nord-est de cette structure fossoyée, plusieurs segments de fossés parallèles et perpendiculaires (fossés F.9, F.13, F.16 et F.17) semblent constituer des partitions organisant l'espace interne. Le fossé F.13, qu'on ne retrouve pas au sein de la tranchée TR.6, semble soit se refermer au nord de celle-ci, soit s'arrêter, soit éventuellement trouver un prolongement vers les fossés F.16 ou F.17 (TR.1).

Entre ces différents segments de fossés, dont la majeure partie suit par ailleurs le sens de la pente, plusieurs trous d'ancrage de poteaux ont été repérés. Principalement découverts entre les fossés F.9 (au nord), F.4-F.24-F.19 (à l'ouest) et F.13 (à l'est), ils témoignent de l'existence de structures sur poteaux porteurs, dont aucun plan ne ressort néanmoins, faute de vestiges suffisants. Dans le même périmètre sont également présents une structure de combustion (structure F.28) dont la fonction n'a pu être caractérisée (domestique ? artisanale ? autre ?), une structure à la nature indéterminée (F.36), ainsi qu'une fosse trop arasée pour en déterminer l'usage précis (fosse F.27).

Du point de vue chronologique, l'étude des quelques tessons de céramique mis au jour au sein de ces structures autorise à dater cette occupation de manière large entre le X^e et le XVI^e siècle. Les quelques recoupements (structure F.36 recoupant la fosse F.27 et la structure F.28 notamment) et probables phénomènes de curage (dans les fossés F.24 et F.36) observés au cours du diagnostic permettent en outre de préciser l'existence d'au moins deux séquences de fonctionnement.

À l'extérieur de cet ensemble, quelques segments de fossés sont également présents (fossés F.3, F.18, F.22). Localisés à l'ouest du fossé principal et ne livrant aucun élément de chronologie, ils ne paraissent pas fonctionner avec celui-ci, à l'exception du fossé F.3 qui semble s'y connecter.

Plus généralement, cette petite occupation trouve quelques éléments de comparaison dans un environnement proche, dans la mesure où des vestiges de nature analogue (segments de fossés, trous d'ancrage de poteaux et fosses) et datés de la fin du haut Moyen Âge (X^e-XI^e siècles) ont été découverts au cours

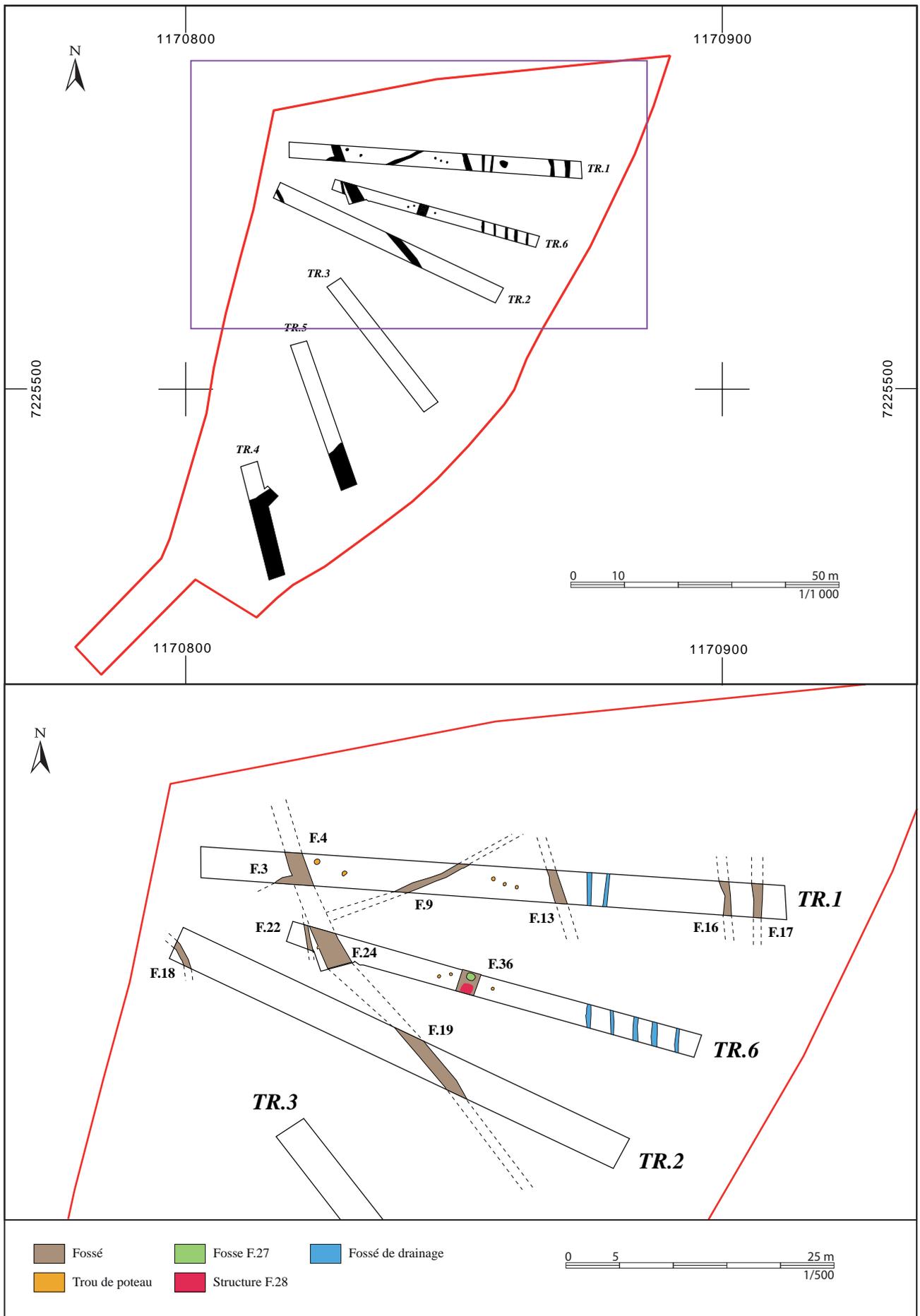


Fig. 93- Plan général de l'opération et des principaux vestiges mis au jour (© N. Ménez, Inrap).

d'un diagnostic réalisé en 2004 sur le site de Kervouyec I⁴, localisé à moins de 700 m au nord-ouest. D'un point de vue plus large, le site de la rue Stang Bihan complète les données sur l'occupation du territoire de la commune durant le Moyen Âge (fig. 94).

14- Roy, 2004



Fig. 94- Quimper au Moyen Âge, sites et axes de circulation (d'après document © Centre de Recherche Archéologique du Finistère).

2.8.2. Des aménagements d'époque contemporaine

Le panorama des vestiges est complété par une série de fossés sensiblement parallèles, vraisemblablement récents, dont la fonction s'apparente à du drainage. Ils sont localisés dans les parties orientales des tranchées TR.1 et TR.6 (fossés F.37 = F.30, F.38 = F.31, F.33, F.34 et F.35).

Dans la partie méridionale des parcelles, la grande fosse F20/21 (TR. 4 et TR. 5), avec ses dépôts de gravats et de matériaux de construction, traduit davantage des travaux des terrassement liés à la densification récente de l'urbanisation de ce secteur.

Bibliographie

Sources cartographiques et numériques

Archives départementales du Finistère [en ligne]
(<https://archives.finistere.fr>)

Etat de la connaissance archéologique en Bretagne
(<https://geobretagne.fr/mapfishapp/map/523eab527e252f723d26706543e24d27>)

Cartes géologiques du BRGM [en ligne]
(<http://infoterre.brgm.fr>)

Cartes géographiques de l'IGN [en ligne]
(<https://geobretagne.fr/geonetwork/srv/fre/catalog.search#/home>)
(<https://www.geoportail.gouv.fr>)

Bibliographie générale

Chatellier 1907 :

CHATELLIER (P. du), *Les époques préhistoriques et gauloises dans le Finistère*. Rennes, 1907.

Galliou 2010 :

GALLIOU (P.), *Carte archéologique de la Gaule, le Finistère (29)*, pré-inventaire archéologique publié sous la responsabilité de Michel Provost, édition de l'Académie des inscriptions et belles-lettres, Ministère de la Culture, Ministère de l'Éducation nationale, Ministère de la Recherche, Maison des Sciences de l'Homme, Paris, 2010, 495 p.

Le Bihan 1997 :

LE BIHAN (J.-P.), *Les vestiges archéologiques des Hauts-de-Penvillers à Kerfeuteun (Quimper - Finistère)*, document final de synthèse de sondage archéologique, Rennes, SRA de Bretagne, 1997, 203 p.

Le Bihan, Villard 2005 :

LE BIHAN (J.-P.), VILLARD (J.-F.), « *Archéologie de Quimper : matériaux pour servir l'Histoire* », tome 1 : *De la chute de l'Empire romain à la fin du Moyen Âge*, Saint Thonan, éd. Centre de recherche archéologique du Finistère / Cloître, 2005, 460 p (178 fig. et 232 clichés).

Le Bihan, Villard 2012 :

LE BIHAN (J.-P.), VILLARD (J.-F.), « *Archéologie de Quimper : matériaux pour servir l'Histoire* », tome 2 : *Au temps de l'Empire romain*, Saint Thonan, éd. Centre de recherche archéologique du Finistère / Cloître, 2012, 848 p (325 fig. et 417 clichés).

Le Goff 2014 :

LE GOFF (E.), dir., *Bretagne, Finistère, Quimper (29232). L'agglomération gauloise de Kergolvez sous le contournement nord-ouest de Quimper*, rapport de fouille archéologique, Cesson-Sévigné, Inrap Grand-ouest, 2014, 2 volumes.

Nicolas 2013 :

NICOLAS (É.), *Quimper, Finistère. Kervouyec II, De multiples occupations protohistoriques*, Rapport final d'opération de fouille archéologique, INRAP Grand-Ouest, Cesson-Sévigné, 2013, 308 p.

Menez, De Soto, Dupré 2005 :

MENEZ (Y.), GOMEZ DE SOTO (J.), DUPRÉ (M.), *Quimper - Finistère. L'habitat de l'âge du Fer de Kergariou*, rapport d'opération archéologique, service régional de l'Archéologie de Bretagne, Rennes, 2005, 36 p.

Pape 1978 :

PAPE (L.), *La civitas des Osismes à l'époque gallo-romaine*, éditions Klincksieck, Paris, 1978, 541 p.

Picquenard 1906 :

PICQUENARD (C.-A.), L'occupation romaine dans le bassin de l'Odet, *Bulletin de la Société archéologique du Finistère*, t. XXXIII, 1906, pp. 188-216, 282-321.

Roy 2004 :

ROY (E.), avec la collaboration de NICOLAS (É.), *Sondages systématiques avant l'implantation d'un lotissement au lieu-dit « Kervouyec » à Quimper (Finistère)*, Rapport de diagnostic archéologique, INRAP Grand-Ouest, Cesson-Sévigné, 2004, 28 p.

Tinévez et al. 2015 :

TINÉVEZ (J.-Y.), HAMON (G.), QUERRÉ (G.), MARCHAND (G.), PAILLER (Y.), DARBOUX (J.-R.), DONNART (K.), MARCOUX (N.), PUSTOC'H (F.), QUESNEL (L.), OBERLIN (C.), avec la collaboration de ROY (E.), VILLARD (J.-F.) et NICOLAS (É.), Les vestiges d'habitat du Néolithique ancien de Quimper, Kervouyec (Finistère), *Bulletin de la Société préhistorique française*, tome 112, numéro 2, avril-juin 2015, p. 269-316.

Liste des figures

Fig.1 : Vue des parcelles diagnostiquées depuis le nord-est. Le rebord du plateau est visible à l'extrême droite du cliché (© N. Ménez, Inrap)

Fig.2 : Vue de la partie méridionale des parcelles diagnostiquées depuis le sud-ouest. Le relief y est particulièrement marqué (© N. Ménez, Inrap)

Fig.3 : Localisation du diagnostic sur un extrait de la carte géologique de Quimper (© BRGM)

Fig.4 : Environnement archéologique du site (© J.-F. Villard, Inrap).

Fig.5 : Quimper aux époques gauloise et gallo-romaine, sites et axes de circulation (d'après document © Centre de Recherche Archéologique du Finistère).

Fig.6 : Plan de localisation des tranchées de sondage implantées en fonction des contraintes rencontrées (© N. Ménez, Inrap)

Fig.7 : Ouverture d'une tranchée à la pelle mécanique (© N. Ménez, Inrap)

Fig.8 : Vue générale de la tranchée TR.1 depuis l'est (© N. Ménez, Inrap)

Fig.9 : Plan masse de la tranchée TR.1 (© N. Ménez, Inrap)

Fig.10 : Ensemble des logs relevés au sein de la tranchée TR.1 (© N. Ménez, Inrap)

Fig.11 : Ensemble des logs relevés au sein de la tranchée TR.1 (© J. Villevieille et N. Ménez, Inrap)

Fig.12 : Vue oblique des fossés F.3 (à gauche) et F.4 (à droite) (© N. Ménez, Inrap)

Fig.13 : Vue générale du fossé F.9 (© N. Ménez, Inrap)

Fig.14 : Profil sud-ouest du fossé F.9 (© N. Ménez, Inrap)

Fig.15 : Relevé du profil sud-ouest du fossé F.9 (© J. Villevieille et N. Ménez, Inrap)

Fig.16 : Vue générale du fossé F.13 (© N. Ménez, Inrap)

Fig.17 : Profil sud-est du fossé F.13 (© N. Ménez, Inrap)

Fig.18 : Relevé du profil sud-est du fossé F.13 (© J. Villevieille et N. Ménez, Inrap)

Fig.19 : Vue générale du fossé F.16 (© N. Ménez, Inrap)

Fig.20 : Profil sud du fossé F.16 (© N. Ménez, Inrap)

Fig.21 : Relevé du profil sud du fossé F.16 (© J. Villevieille et N. Ménez, Inrap)

Fig.22 : Vue générale du fossé F.17 (© N. Ménez, Inrap)

Fig.23 : Profil nord du fossé F.17 (© N. Ménez, Inrap)

Fig.24 : Relevé du profil nord du fossé F.17 (© J. Villevieille et N. Ménez, Inrap)

Fig.25 : Vues générales des trous d'ancrage de poteaux F.5 (à gauche) et F.6 (à droite) (© N. Ménez, Inrap)

Fig.26 : Relevé des plans et des profils nord des trous d'ancrage de poteaux F.5 et F.6 (© J. Villevieille et N. Ménez, Inrap)

Fig.27 : Vue générale de l'ensemble formé par les trous d'ancrage de poteaux F.10, F.11 et F.12 (de gauche à droite) (© N. Ménez, Inrap)

Fig.28: Relevés des plans et des profils nord des trous d'ancrage de poteaux F.10, F.11 et F.12 (© J. Villevieille et N. Ménez, Inrap)

Fig.29 : Vue générale de la tranchée TR.2 depuis le sud-est (© N. Ménez, Inrap)

Fig.30 : Plan masse de la tranchée TR.2 (© N. Ménez, Inrap)

Fig.31 : Ensemble des logs relevés au sein de la tranchée TR.2 (© N. Ménez, Inrap)

Fig.32 : Ensemble des logs relevés au sein de la tranchée TR.2 (© J. Villevieille et N. Ménez, Inrap)

Fig.33 : Vue générale du fossé F.18 (© N. Ménez, Inrap)

Fig.34 : Profil nord-ouest du fossé F.18 (© N. Ménez, Inrap)

Fig.35 : Relevé du profil nord-ouest du fossé F.18 (© J. Villevieille et N. Ménez, Inrap)

Fig.36 : Vue générale du fossé F.19 (© N. Ménez, Inrap)

Fig.37 : Vue générale de la tranchée TR.3 depuis le nord-ouest (© N. Ménez, Inrap)

Fig.38: Vue générale de la tranchée TR.3 depuis le sud-est (© N. Ménez, Inrap)

Fig.39 : Plan masse de la tranchée TR.3 (© N. Ménez, Inrap)

Fig.40 : Ensemble des logs relevés au sein de la tranchée TR.3 (© N. Ménez, Inrap)

Fig.41 : Ensemble des logs relevés au sein de la tranchée TR.3 (© J. Villevieille et N. Ménez, Inrap)

Fig.42 : Vue générale de la tranchée TR.4 depuis le nord-ouest. Sa partie méridionale a été rebouchée peu de temps après son ouverture pour des questions de sécurité (© N. Ménez, Inrap)

Fig.43 : Plan masse de la tranchée TR.4 (© N. Ménez, Inrap)

Fig.44 : Ensemble des logs relevés au sein de la tranchée TR.4 (© N. Ménez, Inrap)

Fig.45 : Ensemble des logs relevés au sein de la tranchée TR.4 (© J. Villevieille et N. Ménez, Inrap)

Fig.46 : Bord septentrional de la fosse F.20 mis en évidence au sein du sondage Sd. A (© N. Ménez, Inrap)

Fig.47 : Relevé du bord septentrional de la fosse F.20 mis en évidence au sein du sondage Sd. A (© J. Villevieille et N. Ménez, Inrap)

Fig.48 : Vue générale de la tranchée TR.5 depuis le nord-ouest (© N. Ménez, Inrap)

Fig.49: Vue générale de la tranchée TR.5 depuis le sud-est (© N. Ménez, Inrap)

Fig.50 : Plan masse de la tranchée TR.5 (© N. Ménez, Inrap)

Fig.51 : Ensemble des logs relevés au sein de la tranchée TR.5 (© N. Ménez, Inrap)

Fig.52 : Ensemble des logs relevés au sein de la tranchée TR.5 (© J. Villeveille et N. Ménez, Inrap)

Fig.53 : Vue générale du bord septentrional de la fosse F.21 (© N. Ménez, Inrap)

Fig.54 : Vue générale de la tranchée TR.6 depuis le nord-ouest (© N. Ménez, Inrap)

Fig.55 : Plan masse de la tranchée TR.6 (© N. Ménez, Inrap)

Fig.56 : Ensemble des logs relevés au sein de la tranchée TR.6 (© N. Ménez, Inrap)

Fig.57 : Ensemble des logs relevés au sein de la tranchée TR.6 (© J. Villeveille et N. Ménez, Inrap)

Fig.58 : Vue générale du fossé F.22 (© N. Ménez, Inrap)

Fig.59 : Profil sud-est du fossé F.22 (© N. Ménez, Inrap)

Fig.60 : Relevé du profil sud-est du fossé F.22 (© J. Villeveille et N. Ménez, Inrap)

Fig.61 : Profil nord-ouest du fossé F.24. On observe également, à gauche du cliché, le trou d'ancrage de poteau F.23 et, à droite, un phénomène géologique naturel (© N. Ménez, Inrap)

Fig.62 : Profil sud-est du fossé F.24 (© N. Ménez, Inrap)

Fig.63 : Relevés des profils nord-ouest et sud-est du fossé F.24 (© J. Villeveille et N. Ménez, Inrap)

Fig.64 : Profil sud-ouest de la structure F.36 (© N. Ménez, Inrap)

Fig.65 : Profil nord-est de la structure F.36 (© N. Ménez, Inrap)

Fig.66 : Relevés des profils sud-ouest et nord-est de la structure F.36 (© J. Villeveille et N. Ménez, Inrap)

Fig.67 : Vue d'ensemble du profil sud-ouest de la structure et de ses relations stratigraphiques avec la fosse F.27 (au premier plan) et la structure F.28 (au second plan) (© N. Ménez, Inrap)

Fig.68 : Vue générale du fossé F.30 (© N. Ménez, Inrap)

Fig.69 : Profil sud du fossé F.30 (© N. Ménez, Inrap)

Fig.70 : Relevé du profil sud du fossé F.30 (© J. Villeveille et N. Ménez, Inrap)

Fig.71 : Vue générale du fossé F.31 (© N. Ménez, Inrap)

Fig.72 : Profil nord du fossé F.31 (© N. Ménez, Inrap)

Fig.73 : Relevé du profil nord du fossé F.31 (© J. Villeveille et N. Ménez, Inrap)

Fig.74 : Vue générale du fossé F.33 (© N. Ménez, Inrap)

Fig.75 : Profil sud du fossé F.33 (© N. Ménez, Inrap)

Fig.76 : Relevé du profil sud du fossé F.33 (© J. Villeveille et N. Ménez, Inrap)

Fig.77 : Vue générale du fossé F.34 (© N. Ménez, Inrap)

Fig.78 : Profil nord du fossé F.34 (© N. Ménez, Inrap)

Fig.79 : Relevé du profil nord du fossé F.34 (© J. Villevieille et N. Ménez, Inrap)

Fig.80 : Vue générale du fossé F.35 (© N. Ménez, Inrap)

Fig.81 : Profil sud du fossé F.35 (© N. Ménez, Inrap)

Fig.82 : Relevé du profil sud du fossé F.35 (© J. Villevieille et N. Ménez, Inrap)

Fig.83 : Profil nord-ouest du trou d'ancrage de poteau F.23 (© N. Ménez, Inrap)

Fig.84 : Relevé nord-ouest du trou d'ancrage de poteau F.23 (© J. Villevieille et N. Ménez, Inrap)

Fig.85 : Vues générales des trous d'ancrage de poteaux F.25 (à gauche) et F.26 (à droite) (© N. Ménez, Inrap)

Fig.86 : Relevé des plans et des profils nord des trous d'ancrage de poteaux F.25 et F.26 (© J. Villevieille et N. Ménez, Inrap)

Fig.87 : Vue générale du trou d'ancrage de poteau F.29 (© N. Ménez, Inrap)

Fig.88 : Relevé du plan et du profil nord-est du trou d'ancrage de poteau F.29 (© J. Villevieille et N. Ménez, Inrap)

Fig.89 : Vue générale de la fosse F.27 en cours de fouille (© N. Ménez, Inrap)

Fig.90 : Relevé du plan et du profil nord-ouest de la fosse F.27 et de la structure F.28 (© J. Villevieille et N. Ménez, Inrap)

Fig.91 : Vue générale de la structure F.28. On observe, au second plan, la fosse F.27 (© N. Ménez, Inrap)

Fig.92 : Vue de détail de la structure F.28 et de sa relation avec la structure F.36 (au second plan) (© N. Ménez, Inrap)

Fig.93 : Plan général de l'opération et des principaux vestiges mis au jour (© N. Ménez, Inrap)

Fig.94 : Quimper au Moyen Âge, sites et axes de circulation (d'après document © Centre de Recherche Archéologique du Finistère).

III. Inventaires techniques

Inventaire des clichés

N° Photo	Sujet	Vue vers	Auteur	Date
100-0198	Terrain avant démarrage	Sud	N. Ménez	21/06/2021
100-0199	Terrain avant démarrage	Sud	N. Ménez	21/06/2021
100-0200	Terrain avant démarrage	Sud	N. Ménez	21/06/2021
100-0201	Terrain avant démarrage	Sud	N. Ménez	21/06/2021
100-0202	Terrain avant démarrage	Nord	N. Ménez	21/06/2021
100-0203	Terrain avant démarrage	Nord	N. Ménez	21/06/2021
100-0204	Terrain avant démarrage	Nord	N. Ménez	21/06/2021
100-0205	Terrain avant démarrage	Nord	N. Ménez	21/06/2021
100-0206	Ouverture tranchée 1	Est	N. Ménez	21/06/2021
100-0207	Ouverture tranchée 1	Est	N. Ménez	21/06/2021
100-0208	Ouverture tranchée 4 à contre-pente	Nord-Ouest	N. Ménez	21/06/2021
100-0209	Ouverture tranchée 4 à contre-pente	Nord-Ouest	N. Ménez	21/06/2021
100-0210	TR4: fosse F.20: coupe Ouest	Sud-Ouest	N. Ménez	21/06/2021
100-0211	TR4: fosse F.20: coupe Ouest	Sud-Ouest	N. Ménez	21/06/2021
100-0212	TR4: fosse F.20: coupe Ouest	Sud-Ouest	N. Ménez	21/06/2021
100-0213	TR4: fosse F.20: coupe Ouest	Sud-Ouest	N. Ménez	21/06/2021
100-0214	TR4: fosse F.20: coupe Ouest	Sud-Ouest	N. Ménez	21/06/2021
100-0215	TR4: fosse F.20: coupe Ouest	Sud-Ouest	N. Ménez	21/06/2021
100-0216	TR4: fosse F.20: coupe Ouest	Sud-Ouest	N. Ménez	21/06/2021
100-0217	TR4: vue du sud avec sondage dans fosse F.20	Nord-Ouest	N. Ménez	21/06/2021
100-0218	TR4: vue du sud avec sondage dans fosse F.20	Nord-Ouest	N. Ménez	21/06/2021
100-0219	TR4: rebouchage sondage pour des questions de sécurité	Nord-Ouest	N. Ménez	21/06/2021
100-0220	TR6: Trou de poteau F.23 et fossé F.24: coupe Nord	Nord-Ouest	N. Ménez	22/06/2021
100-0221	TR6: Trou de poteau F.23 et fossé F.24: coupe Nord	Nord-Ouest	N. Ménez	22/06/2021
100-0222	TR6: Trou de poteau F.23 et fossé F.24: coupe Nord	Nord-Ouest	N. Ménez	22/06/2021
100-0223	TR6: Trou de poteau F.23: coupe Nord	Nord-Ouest	N. Ménez	22/06/2021
100-0224	TR6: Trou de poteau F.23: coupe Nord	Nord-Ouest	N. Ménez	22/06/2021
100-0225	TR6: Trou de poteau F.23: coupe Nord	Nord-Ouest	N. Ménez	22/06/2021
100-0226	TR6: Fossé F.24: coupe Nord	Nord-Ouest	N. Ménez	22/06/2021
100-0227	TR6: Fossé F.24: coupe Nord	Nord-Ouest	N. Ménez	22/06/2021
100-0228	TR6: Fossé F.24: coupe Nord	Nord-Ouest	N. Ménez	22/06/2021
100-0229	TR6: Fossé F.24: coupe Sud	Sud-Est	N. Ménez	22/06/2021
100-0230	TR6: Fossé F.24: coupe Sud	Sud-Est	N. Ménez	22/06/2021
100-0231	TR6: Fossé F.24: coupe Sud	Sud-Est	N. Ménez	22/06/2021
100-0232	TR6: Fossé F.24: coupe Sud	Sud-Est	N. Ménez	22/06/2021
100-0233	TR1: vue générale	Est	N. Ménez	22/06/2021
100-0234	TR1: vue générale	Est	N. Ménez	22/06/2021
100-0235	TR1: vue générale	Est	N. Ménez	22/06/2021
100-0236	TR1: vue générale	Est	N. Ménez	22/06/2021
100-0237	TR6: vue générale	Est	N. Ménez	22/06/2021
100-0238	TR6: vue générale	Est	N. Ménez	22/06/2021
100-0239	TR6: vue générale	Est	N. Ménez	22/06/2021

N° Photo	Sujet	Vue vers	Auteur	Date
100-0240	TR6: extension	Nord	N. Ménez	22/06/2021
100-0241	TR2: vue générale	Est	N. Ménez	22/06/2021
100-0242	TR2: vue générale	Est	N. Ménez	22/06/2021
100-0243	TR2: vue générale	Est	N. Ménez	22/06/2021
100-0244	TR2: vue générale	Est	N. Ménez	22/06/2021
100-0245	TR3: vue générale	Sud-Est	N. Ménez	22/06/2021
100-0246	TR3: vue générale	Sud-Est	N. Ménez	22/06/2021
100-0247	TR3: vue générale	Sud-Est	N. Ménez	22/06/2021
100-0248	TR5: vue générale	Sud	N. Ménez	22/06/2021
100-0249	TR5: vue générale	Sud	N. Ménez	22/06/2021
100-0250	TR5: vue générale	Sud	N. Ménez	22/06/2021
100-0251	TR4: vue générale de la partie Nord	Sud	N. Ménez	22/06/2021
100-0252	TR4: vue générale de la partie Nord	Sud	N. Ménez	22/06/2021
100-0253	TR4: vue générale de la partie Nord	Sud	N. Ménez	22/06/2021
100-0254	TR4: vue générale de la partie Nord	Sud	N. Ménez	22/06/2021
100-0255	TR4: vue générale de la partie Nord	Nord	N. Ménez	22/06/2021
100-0256	TR4: vue générale de la partie Nord	Nord	N. Ménez	22/06/2021
100-0257	TR4: vue générale de la partie Nord	Nord	N. Ménez	22/06/2021
100-0258	TR4: extension	Nord	N. Ménez	22/06/2021
100-0259	TR4: extension	Nord	N. Ménez	22/06/2021
100-0260	TR5: vue générale	Nord	N. Ménez	22/06/2021
100-0261	TR5: vue générale	Nord	N. Ménez	22/06/2021
100-0262	TR5: vue générale	Nord	N. Ménez	22/06/2021
100-0263	TR5: fosse F.21	Sud-Ouest	N. Ménez	22/06/2021
100-0264	TR5: fosse F.21	Sud-Ouest	N. Ménez	22/06/2021
100-0265	TR5: fosse F.21	Sud-Est	N. Ménez	22/06/2021
100-0266	TR5: fosse F.21	Sud-Est	N. Ménez	22/06/2021
100-0267	TR5: fosse F.21	Sud-Ouest	N. Ménez	22/06/2021
100-0268	TR5: fosse F.21	Sud-Ouest	N. Ménez	22/06/2021
100-0269	TR5: fosse F.21	Nord-Est	N. Ménez	22/06/2021
100-0270	TR5: fosse F.21	Nord-Est	N. Ménez	22/06/2021
100-0271	TR3: vue générale	Nord	N. Ménez	22/06/2021
100-0272	TR3: vue générale	Nord	N. Ménez	22/06/2021
100-0273	TR3: vue générale	Nord	N. Ménez	22/06/2021
100-0274	TR3: vue générale	Nord	N. Ménez	22/06/2021
100-0275	TR3: géologie (roche/altérite)	Sud-Ouest	N. Ménez	22/06/2021
100-0276	TR3: géologie (roche/altérite)	Sud-Ouest	N. Ménez	22/06/2021
100-0277	TR3: géologie (roche/altérite)	Sud-Est	N. Ménez	22/06/2021
100-0278	TR3: géologie (roche/altérite)	Sud-Ouest	N. Ménez	22/06/2021
100-0279	TR3: géologie (roche/altérite)	Sud-Ouest	N. Ménez	22/06/2021
100-0280	TR2: vue générale	Ouest	N. Ménez	22/06/2021
100-0281	TR2: vue générale	Ouest	N. Ménez	22/06/2021
100-0282	TR2: vue générale	Ouest	N. Ménez	22/06/2021
100-0283	TR6: vue générale	Ouest	N. Ménez	22/06/2021
100-0284	TR6: vue générale	Ouest	N. Ménez	22/06/2021
100-0285	TR6: vue générale	Ouest	N. Ménez	22/06/2021
100-0286	TR6: vue générale	Ouest	N. Ménez	22/06/2021
100-0287	TR1: vue générale	Ouest	N. Ménez	22/06/2021
100-0288	TR1: vue générale	Ouest	N. Ménez	22/06/2021

N° Photo	Sujet	Vue vers	Auteur	Date
100-0289	TR1: vue générale	Ouest	N. Ménez	22/06/2021
100-0290	TR1: orientation des veines de substrat	Nord-Ouest	N. Ménez	22/06/2021
100-0291	TR1: orientation des veines de substrat	Nord-Ouest	N. Ménez	22/06/2021
100-0292	TR1: orientation des veines de substrat	Nord-Ouest	N. Ménez	22/06/2021
100-0293	Vue générale du diagnostic	Sud-Est	N. Ménez	22/06/2021
100-0294	Vue générale du diagnostic	Sud-Est	N. Ménez	22/06/2021
100-0295	Vue générale du diagnostic	Sud-Ouest	N. Ménez	22/06/2021
100-0296	Vue générale du diagnostic	Sud-Ouest	N. Ménez	22/06/2021
100-0297	Vue générale du diagnostic	Sud-Ouest	N. Ménez	22/06/2021
100-0298	Vue générale du diagnostic	Sud-Ouest	N. Ménez	22/06/2021
100-0299	Vue générale du diagnostic	Sud-Ouest	N. Ménez	22/06/2021
100-0300	TR6: fossé F.36: coupe Sud; relation avec fosse F.28	Sud	N. Ménez	22/06/2021
100-0301	TR6: fossé F.36: coupe Sud; relation avec fosse F.28	Sud	N. Ménez	22/06/2021
100-0302	TR6: fossé F.36: coupe Sud; relation avec fosse F.28	Sud	N. Ménez	22/06/2021
100-0303	TR6: fossé F.36: coupe Sud; relation avec fosse F.28	Sud	N. Ménez	22/06/2021
100-0304	TR6: fossé F.36: coupe Sud; relation avec fosse F.28	Sud	N. Ménez	22/06/2021
100-0305	TR6: fossé F.36: coupe Sud; relation avec fosse F.28	Sud	N. Ménez	22/06/2021
100-0306	TR6: fossé F.36: coupe Nord	Nord	N. Ménez	22/06/2021
100-0307	TR6: fossé F.36: coupe Nord	Nord	N. Ménez	22/06/2021
100-0308	TR6: fossé F.36: coupe Nord	Nord	N. Ménez	22/06/2021
100-0309	TR6: fosse F.27 et foyer F.28	Est	N. Ménez	22/06/2021
100-0310	TR6: fosse F.27 et foyer F.28	Est	N. Ménez	22/06/2021
100-0311	TR6: fosse F.27 et foyer F.28	Est	N. Ménez	22/06/2021
100-0312	TR6: fosse F.27 et foyer F.28	Nord	N. Ménez	22/06/2021
100-0313	TR6: fosse F.27 et foyer F.28	Nord	N. Ménez	22/06/2021
100-0314	TR6: foyer F.28	Zénithale	N. Ménez	22/06/2021
100-0315	TR6: foyer F.28	Zénithale	N. Ménez	22/06/2021
100-0316	TR6: foyer F.28	Sud	N. Ménez	22/06/2021
100-0317	TR6: foyer F.28	Sud	N. Ménez	22/06/2021
100-0318	TR6: foyer F.28	Zénithale	N. Ménez	22/06/2021
100-0319	TR6: foyer F.28 (détail)	Zénithale	N. Ménez	22/06/2021
100-0320	TR6: foyer F.28	Zénithale	N. Ménez	22/06/2021
100-0321	TR6: foyer F.28	Zénithale	N. Ménez	22/06/2021
100-0322	TR6: fosse F.27	Ouest	N. Ménez	22/06/2021
100-0323	TR6: fosse F.27	Ouest	N. Ménez	22/06/2021
100-0324	TR6: fosse F.27	Ouest	N. Ménez	22/06/2021
100-0325	TR6: relation fosse F.27/foyer F.28 et fossé F.36	Sud	N. Ménez	22/06/2021
100-0326	TR6: relation fosse F.27/foyer F.28 et fossé F.36	Sud	N. Ménez	22/06/2021
100-0327	TR6: relation fosse F.27/foyer F.28 et fossé F.36	Sud	N. Ménez	22/06/2021
100-0328	TR6: relation fosse F.27/foyer F.28 et fossé F.36	Sud	N. Ménez	22/06/2021
100-0329	TR1: log 1	Nord	N. Ménez	22/06/2021
100-0330	TR1: log 1	Nord	N. Ménez	22/06/2021
100-0331	TR1: log 1	Nord	N. Ménez	22/06/2021
100-0332	TR1: log 1	Nord	N. Ménez	22/06/2021
100-0333	TR1: log 1	Nord	N. Ménez	22/06/2021
100-0334	TR1: log 2	Nord-Est	N. Ménez	22/06/2021
100-0335	TR1: log 2	Nord-Est	N. Ménez	22/06/2021
100-0336	TR1: log 2	Nord-Est	N. Ménez	22/06/2021
100-0337	TR1: log 2	Nord-Est	N. Ménez	22/06/2021

N° Photo	Sujet	Vue vers	Auteur	Date
100-0338	TR1: log 3	Nord-Est	N. Ménez	22/06/2021
100-0339	TR1: log 3	Nord-Est	N. Ménez	22/06/2021
100-0340	TR1: log 3	Nord-Est	N. Ménez	22/06/2021
100-0341	TR6: log 4	Nord-Est	N. Ménez	22/06/2021
100-0342	TR6: log 4	Nord-Est	N. Ménez	22/06/2021
100-0343	TR6: log 4	Nord-Est	N. Ménez	22/06/2021
100-0344	TR6: log 4	Nord-Est	N. Ménez	22/06/2021
100-0345	TR6: log 5	Nord-Est	N. Ménez	22/06/2021
100-0346	TR6: log 5	Nord-Est	N. Ménez	22/06/2021
100-0347	TR6: log 5	Nord-Est	N. Ménez	22/06/2021
100-0348	TR6: log 5	Nord-Est	N. Ménez	22/06/2021
100-0349	TR6: log 6	Nord-Est	N. Ménez	22/06/2021
100-0350	TR6: log 6	Nord-Est	N. Ménez	22/06/2021
100-0351	TR6: log 6	Nord-Est	N. Ménez	22/06/2021
100-0352	TR6: log 6	Nord-Est	N. Ménez	22/06/2021
100-0353	TR2: log 7	Nord-Est	N. Ménez	22/06/2021
100-0354	TR2: log 7	Nord-Est	N. Ménez	22/06/2021
100-0355	TR2: log 7	Nord-Est	N. Ménez	22/06/2021
100-0356	TR2: log 7	Nord-Est	N. Ménez	22/06/2021
100-0357	TR2: log 8	Nord-Est	N. Ménez	22/06/2021
100-0358	TR2: log 8	Nord-Est	N. Ménez	22/06/2021
100-0359	TR2: log 8	Nord-Est	N. Ménez	22/06/2021
100-0360	TR2: log 9	Nord-Est	N. Ménez	22/06/2021
100-0361	TR2: log 9	Nord-Est	N. Ménez	22/06/2021
100-0362	TR2: log 9	Nord-Est	N. Ménez	22/06/2021
100-0363	TR2: log 9	Nord-Est	N. Ménez	22/06/2021
100-0364	TR3: log 10	Nord-Est	N. Ménez	22/06/2021
100-0365	TR3: log 10	Nord-Est	N. Ménez	22/06/2021
100-0366	TR3: log 10	Nord-Est	N. Ménez	22/06/2021
100-0367	TR3: log 11	Nord-Est	N. Ménez	22/06/2021
100-0368	TR3: log 11	Nord-Est	N. Ménez	22/06/2021
100-0369	TR3: log 11	Nord-Est	N. Ménez	22/06/2021
100-0370	Ambiance		N. Ménez	22/06/2021
100-0371	TR3: log 12	Nord-Est	N. Ménez	22/06/2021
100-0372	TR3: log 12	Nord-Est	N. Ménez	22/06/2021
100-0373	TR3: log 12	Nord-Est	N. Ménez	22/06/2021
100-0374	Vue générale du diagnostic	Nord-Est	N. Ménez	23/06/2021
100-0375	Vue générale du diagnostic	Nord-Est	N. Ménez	23/06/2021
100-0376	Vue générale du diagnostic	Nord-Est	N. Ménez	23/06/2021
100-0377	Vue générale du diagnostic	Nord-Est	N. Ménez	23/06/2021
100-0378	Annulée		N. Ménez	23/06/2021
100-0379	TR5: log 14	Nord-Est	N. Ménez	23/06/2021
100-0380	TR5: log 14	Nord-Est	N. Ménez	23/06/2021
100-0381	TR5: log 14	Nord-Est	N. Ménez	23/06/2021
100-0382	TR5: log 14	Nord-Est	N. Ménez	23/06/2021
100-0383	TR5: log 15	Nord-Est	N. Ménez	23/06/2021
100-0384	TR5: log 15	Nord-Est	N. Ménez	23/06/2021
100-0385	TR5: log 15	Nord-Est	N. Ménez	23/06/2021
100-0386	TR5: log 15	Nord-Est	N. Ménez	23/06/2021

N° Photo	Sujet	Vue vers	Auteur	Date
100-0387	TR4: log 16	Nord-Est	N. Ménez	23/06/2021
100-0388	TR4: log 16	Nord-Est	N. Ménez	23/06/2021
100-0389	TR4: log 16	Nord-Est	N. Ménez	23/06/2021
100-0390	TR4: log 16	Nord-Est	N. Ménez	23/06/2021
100-0391	TR4: log 17	Sud-Ouest	N. Ménez	23/06/2021
100-0392	TR4: log 17	Sud-Ouest	N. Ménez	23/06/2021
100-0393	TR4: log 17	Sud-Ouest	N. Ménez	23/06/2021
100-0394	TR4: log 17	Sud-Ouest	N. Ménez	23/06/2021
100-0395	TR5: log 13	Nord-Est	N. Ménez	23/06/2021
100-0396	TR5: log 13	Nord-Est	N. Ménez	23/06/2021
100-0397	TR5: log 13	Nord-Est	N. Ménez	23/06/2021
100-0398	TR4: fosse F.20: coupe partie Nord	Nord-Est	N. Ménez	23/06/2021
100-0399	TR4: fosse F.20: coupe partie Nord	Nord-Est	N. Ménez	23/06/2021
100-0400	TR4: fosse F.20: coupe partie Nord	Nord-Est	N. Ménez	23/06/2021
100-0401	TR4: fosse F.20: coupe partie Nord	Nord-Est	N. Ménez	23/06/2021
100-0402	TR4: fosse F.20: coupe partie Nord	Nord-Est	N. Ménez	23/06/2021
100-0403	TR1: fossé F.9: coupe Ouest	Sud-Ouest	N. Ménez	23/06/2021
100-0404	TR1: fossé F.9: coupe Ouest	Sud-Ouest	N. Ménez	23/06/2021
100-0405	TR1: fossé F.9: coupe Ouest	Sud-Ouest	N. Ménez	23/06/2021
100-0406	TR1: fossé F.9: coupe Ouest	Sud-Ouest	N. Ménez	23/06/2021
100-0407	TR1: fossé F.9: coupe Est	Nord-Est	N. Ménez	23/06/2021
100-0408	TR1: fossé F.9: coupe Est	Nord-Est	N. Ménez	23/06/2021
100-0409	TR1: fossé F.9: vue générale	Nord-Est	N. Ménez	23/06/2021
100-0410	TR1: fossé F.9: vue générale	Nord-Est	N. Ménez	23/06/2021
100-0411	TR1: fossé F.9: vue générale	Nord-Est	N. Ménez	23/06/2021
100-0412	TR1: fossé F.9: vue générale	Nord-Est	N. Ménez	23/06/2021
100-0413	TR1: trou de poteau F.8	Nord-Est	N. Ménez	23/06/2021
100-0414	TR1: trou de poteau F.8	Nord-Est	N. Ménez	23/06/2021
100-0415	TR1: trou de poteau F.8	Nord-Est	N. Ménez	23/06/2021
100-0416	TR1: trou de poteau F.8	Nord-Est	N. Ménez	23/06/2021
100-0417	TR1: Fossé F.9	Sud-Ouest	N. Ménez	23/06/2021
100-0418	TR1: Fossé F.9	Sud-Ouest	N. Ménez	23/06/2021
100-0419	TR1: Fossé F.9	Sud-Ouest	N. Ménez	23/06/2021
100-0420	TR1: trou de poteau F.6	Nord	N. Ménez	23/06/2021
100-0421	TR1: trou de poteau F.6	Nord	N. Ménez	23/06/2021
100-0422	TR1: trou de poteau F.6	Nord	N. Ménez	23/06/2021
100-0423	TR1: trou de poteau F.5	Nord-Ouest	N. Ménez	23/06/2021
100-0424	TR1: trou de poteau F.5	Nord-Ouest	N. Ménez	23/06/2021
100-0425	TR1: trou de poteau F.5	Nord-Ouest	N. Ménez	23/06/2021
100-0426	TR1: trou de poteau F.5	Nord-Ouest	N. Ménez	23/06/2021
100-0427	TR1: trous de poteaux F.10, F.11, F.12	Nord-Ouest	N. Ménez	23/06/2021
100-0428	TR1: trous de poteaux F.10, F.11, F.12	Nord-Ouest	N. Ménez	23/06/2021
100-0429	TR1: trous de poteaux F.10, F.11, F.12	Nord-Ouest	N. Ménez	23/06/2021
100-0430	TR1: trous de poteaux F.10, F.11, F.12	Nord-Est	N. Ménez	23/06/2021
100-0431	TR1: trous de poteaux F.10, F.11, F.12	Nord-Est	N. Ménez	23/06/2021
100-0432	TR1: trou de poteau F.12	Nord-Est	N. Ménez	23/06/2021
100-0433	TR1: trou de poteau F.12	Nord-Est	N. Ménez	23/06/2021
100-0434	TR1: trou de poteau F.12	Nord-Est	N. Ménez	23/06/2021
100-0435	TR1: trou de poteau F.12	Nord-Est	N. Ménez	23/06/2021

N° Photo	Sujet	Vue vers	Auteur	Date
100-0436	TR1: trou de poteau F.11	Nord-Est	N. Ménez	23/06/2021
100-0437	TR1: trou de poteau F.11	Nord-Est	N. Ménez	23/06/2021
100-0438	TR1: trou de poteau F.11	Nord-Est	N. Ménez	23/06/2021
100-0439	TR1: trou de poteau F.11	Nord-Est	N. Ménez	23/06/2021
100-0440	TR1: trou de poteau F.10	Nord-Ouest	N. Ménez	23/06/2021
100-0441	TR1: trou de poteau F.10	Nord-Ouest	N. Ménez	23/06/2021
100-0442	TR1: trou de poteau F.10	Nord-Ouest	N. Ménez	23/06/2021
100-0443	TR1: trou de poteau F.10	Nord-Ouest	N. Ménez	23/06/2021
100-0444	TR1: fossé F.13: coupe	Sud-Est	N. Ménez	23/06/2021
100-0445	TR1: fossé F.13: coupe	Sud-Est	N. Ménez	23/06/2021
100-0446	TR1: fossé F.13: coupe	Sud-Est	N. Ménez	23/06/2021
100-0447	TR1: fossé F.13: coupe	Sud-Est	N. Ménez	23/06/2021
100-0448	TR1: fossé F.13: coupe	Sud-Est	N. Ménez	23/06/2021
100-0449	Annulée		N. Ménez	23/06/2021
100-0450	Annulée		N. Ménez	23/06/2021
100-0451	Annulée		N. Ménez	23/06/2021
100-0452	Annulée		N. Ménez	23/06/2021
100-0453	TR1: fossé F.13: vue générale	Nord-Ouest	N. Ménez	23/06/2021
100-0454	TR1: fossé F.13: vue générale	Nord-Ouest	N. Ménez	23/06/2021
100-0455	TR1: fossé F.13: vue générale	Nord-Ouest	N. Ménez	23/06/2021
100-0456	TR1: fossé F.16: coupe	Sud-Ouest	N. Ménez	23/06/2021
100-0457	TR1: fossé F.16: coupe	Sud-Ouest	N. Ménez	23/06/2021
100-0458	TR1: fossé F.16: coupe	Sud-Ouest	N. Ménez	23/06/2021
100-0459	TR1: fossé F.16: vue générale	Sud-Ouest	N. Ménez	23/06/2021
100-0460	TR1: fossé F.16: vue générale	Sud-Ouest	N. Ménez	23/06/2021
100-0461	TR1: fossé F.16: vue générale	Sud-Ouest	N. Ménez	23/06/2021
100-0462	TR1: fossé F.16: vue générale	Sud-Ouest	N. Ménez	23/06/2021
100-0463	TR1: intersestion fossés F.3 et F.4	Nord-Ouest	N. Ménez	23/06/2021
100-0464	TR1: intersestion fossés F.3 et F.4	Nord-Ouest	N. Ménez	23/06/2021
100-0465	TR1: intersestion fossés F.3 et F.4	Nord-Ouest	N. Ménez	23/06/2021
100-0466	TR6: Fossé F.22: vue générale	Nord-Ouest	N. Ménez	23/06/2021
100-0467	TR6: Fossé F.22: vue générale	Nord-Ouest	N. Ménez	23/06/2021
100-0468	TR6: Fossé F.22: vue générale	Nord-Ouest	N. Ménez	23/06/2021
100-0469	TR6: Fossé F.22: coupe	Nord-Ouest	N. Ménez	23/06/2021
100-0470	TR6: Fossé F.22: coupe	Nord-Ouest	N. Ménez	23/06/2021
100-0471	TR6: Fossé F.22: coupe	Nord-Ouest	N. Ménez	23/06/2021
100-0472	TR6: Fossé F.24: vue générale	Nord-Ouest	N. Ménez	23/06/2021
100-0473	TR6: Fossé F.24: vue générale	Nord-Ouest	N. Ménez	23/06/2021
100-0474	TR6: Fossé F.24: vue générale	Nord-Ouest	N. Ménez	23/06/2021
100-0475	TR6: Fossé F.24: vue générale	Nord-Ouest	N. Ménez	23/06/2021
100-0476	TR6: Fossé F.24: vue générale	Nord-Ouest	N. Ménez	23/06/2021
100-0477	TR6: trou de poteau F.25	Nord-Est	N. Ménez	23/06/2021
100-0478	TR6: trou de poteau F.25	Nord-Est	N. Ménez	23/06/2021
100-0479	TR6: trou de poteau F.25	Nord-Est	N. Ménez	23/06/2021
100-0480	TR6: trou de poteau F.26	Nord-Est	N. Ménez	23/06/2021
100-0481	TR6: trou de poteau F.26	Nord-Est	N. Ménez	23/06/2021
100-0482	TR6: trou de poteau F.26	Nord-Est	N. Ménez	23/06/2021
100-0483	TR1: Fossé F.17: coupe	Nord-Est	N. Ménez	23/06/2021
100-0484	TR1: Fossé F.17: coupe	Nord-Est	N. Ménez	23/06/2021

N° Photo	Sujet	Vue vers	Auteur	Date
100-0485	TR1: Fossé F.17: coupe	Nord-Est	N. Ménez	23/06/2021
100-0486	TR1: Fossé F.17: coupe	Nord-Est	N. Ménez	23/06/2021
100-0487	TR1: Fossé F.17: vue générale	Nord	N. Ménez	23/06/2021
100-0488	TR1: Fossé F.17: vue générale	Nord	N. Ménez	23/06/2021
100-0489	TR1: Fossé F.17: vue générale	Nord	N. Ménez	23/06/2021
100-0490	TR6: trou de poteau F.29	Nord-Est	N. Ménez	23/06/2021
100-0491	TR6: trou de poteau F.29	Nord-Est	N. Ménez	23/06/2021
100-0492	TR6: trou de poteau F.29	Nord-Est	N. Ménez	23/06/2021
100-0493	TR6: trou de poteau F.29	Nord-Est	N. Ménez	23/06/2021
100-0494	TR6: Fossé F.30: vue générale	Nord-Ouest	N. Ménez	23/06/2021
100-0495	TR6: Fossé F.30: vue générale	Nord-Ouest	N. Ménez	23/06/2021
100-0496	TR6: Fossé F.30: vue générale	Nord-Ouest	N. Ménez	23/06/2021
100-0497	TR6: Fossé F.30: vue générale	Nord-Ouest	N. Ménez	23/06/2021
100-0498	TR6: Fossé F.30: vue générale	Nord-Ouest	N. Ménez	23/06/2021
100-0499	TR2: Fossé F.18: vue générale	Sud-Est	N. Ménez	23/06/2021
100-0500	TR2: Fossé F.18: vue générale	Sud-Est	N. Ménez	23/06/2021
100-0501	TR2: Fossé F.18: vue générale	Sud-Est	N. Ménez	23/06/2021
100-0502	TR2: Fossé F.18: vue générale	Sud-Est	N. Ménez	23/06/2021
100-0503	TR2: Fossé F.18: coupe	Nord	N. Ménez	23/06/2021
100-0504	TR2: Fossé F.18: coupe	Nord	N. Ménez	23/06/2021
100-0505	TR2: Fossé F.19: vue générale	Sud-Est	N. Ménez	24/06/2021
100-0506	TR2: Fossé F.19: vue générale	Sud-Est	N. Ménez	24/06/2021
100-0507	TR2: Fossé F.19: vue générale	Sud-Est	N. Ménez	24/06/2021
100-0508	TR2: Fossé F.19: vue générale	Nord-Ouest	N. Ménez	24/06/2021
100-0509	TR2: Fossé F.19: vue générale	Nord-Ouest	N. Ménez	24/06/2021
100-0510	TR2: Fossé F.19: vue générale	Nord-Ouest	N. Ménez	24/06/2021
100-0511	TR6: Fossé F.30: vue générale	Nord-Ouest	N. Ménez	24/06/2021
100-0512	TR6: Fossé F.30: vue générale	Nord-Ouest	N. Ménez	24/06/2021
100-0513	TR6: Fossé F.30: vue générale	Nord-Ouest	N. Ménez	24/06/2021
100-0514	TR6: Fossé F.30: vue générale	Nord-Ouest	N. Ménez	24/06/2021
100-0515	TR6: Fossé F.31: vue générale	Nord-Est	N. Ménez	24/06/2021
100-0516	TR6: Fossé F.31: vue générale	Nord-Est	N. Ménez	24/06/2021
100-0517	TR6: Fossé F.31: vue générale	Nord-Est	N. Ménez	24/06/2021
100-0518	TR6: fossé F.33: vue générale	Nord-Ouest	N. Ménez	24/06/2021
100-0519	TR6: fossé F.33: vue générale	Nord-Ouest	N. Ménez	24/06/2021
100-0520	TR6: fossé F.33: vue générale	Nord-Ouest	N. Ménez	24/06/2021
100-0521	TR6: fossé F.34: vue générale	Nord-Est	N. Ménez	24/06/2021
100-0522	TR6: fossé F.34: vue générale	Nord-Est	N. Ménez	24/06/2021
100-0523	TR6: fossé F.34: vue générale	Nord-Est	N. Ménez	24/06/2021
100-0524	TR6: fossé F.35: vue générale	Nord	N. Ménez	24/06/2021
100-0525	TR6: fossé F.35: vue générale	Nord	N. Ménez	24/06/2021
100-0526	TR6: fossé F.35: vue générale	Nord	N. Ménez	24/06/2021
100-0527	TR6: fossé F.30: coupe	Sud-Est	N. Ménez	24/06/2021
100-0528	TR6: fossé F.30: coupe	Sud-Est	N. Ménez	24/06/2021
100-0529	TR6: fossé F.30: coupe	Sud-Est	N. Ménez	24/06/2021
100-0530	TR6: fossé F.30: coupe	Sud-Est	N. Ménez	24/06/2021
100-0531	TR6: fossé F.31: coupe	Sud-Est	N. Ménez	24/06/2021
100-0532	TR6: fossé F.31: coupe	Sud-Est	N. Ménez	24/06/2021
100-0533	TR6: fossé F.31: coupe	Sud-Est	N. Ménez	24/06/2021

N° Photo	Sujet	Vue vers	Auteur	Date
100-0534	TR6: fossé F.31: coupe	Sud-Est	N. Ménez	24/06/2021
100-0535	TR6: fossé F.33: coupe	Sud-Est	N. Ménez	24/06/2021
100-0536	TR6: fossé F.33: coupe	Sud-Est	N. Ménez	24/06/2021
100-0537	TR6: fossé F.33: coupe	Sud-Est	N. Ménez	24/06/2021
100-0538	TR6: fossé F.33: coupe	Sud-Est	N. Ménez	24/06/2021
100-0539	TR6: fossé F.34: coupe	Sud-Est	N. Ménez	24/06/2021
100-0540	TR6: fossé F.34: coupe	Sud-Est	N. Ménez	24/06/2021
100-0541	TR6: fossé F.34: coupe	Sud-Est	N. Ménez	24/06/2021
100-0542	TR6: fossé F.34: coupe	Sud-Est	N. Ménez	24/06/2021
100-0543	TR6: fossé F.35: coupe	Sud-Est	N. Ménez	24/06/2021
100-0544	TR6: fossé F.35: coupe	Sud-Est	N. Ménez	24/06/2021
100-0545	TR6: fossé F.35: coupe	Sud-Est	N. Ménez	24/06/2021
100-0546	TR6: fossé F.35: coupe	Sud-Est	N. Ménez	24/06/2021
100-0547	TR6: foyer F.28 et fosse F.27: vue générale	Sud	N. Ménez	24/06/2021
100-0548	TR6: foyer F.28 et fosse F.27: vue générale	Sud	N. Ménez	24/06/2021
100-0549	TR6: foyer F.28 et fosse F.27: vue générale	Sud	N. Ménez	24/06/2021
100-0550	TR6: foyer F.28 et fosse F.27: vue générale	Sud	N. Ménez	24/06/2021
100-0551	TR6: foyer F.28 et fosse F.27: vue générale	Sud	N. Ménez	24/06/2021
100-0552	TR6: foyer F.28 et fosse F.27: vue générale	Nord-Est	N. Ménez	24/06/2021
100-0553	TR6: foyer F.28 et fosse F.27: vue générale	Nord-Est	N. Ménez	24/06/2021
100-0554	TR6: foyer F.28 et fosse F.27: vue générale	Nord-Est	N. Ménez	24/06/2021
100-0555	TR6: fosse F.27	Sud-Ouest	N. Ménez	24/06/2021
100-0556	TR6: fosse F.27	Sud-Ouest	N. Ménez	24/06/2021
100-0557	TR6: fosse F.27	Sud-Ouest	N. Ménez	24/06/2021
100-0558	TR6: fosse F.27	Zénithale	N. Ménez	24/06/2021
100-0559	TR6: foyer F.28	Zénithale	N. Ménez	24/06/2021
100-0560	TR6: foyer F.28	Zénithale	N. Ménez	24/06/2021
100-0561	TR6: foyer F.28	Zénithale	N. Ménez	24/06/2021
100-0562	TR6: foyer F.28	Sud-Ouest	N. Ménez	24/06/2021
100-0563	TR6: foyer F.28	Sud-Ouest	N. Ménez	24/06/2021
100-0564	TR6: foyer F.28	Sud-Ouest	N. Ménez	24/06/2021
100-0565	TR6: foyer F.28	Sud-Ouest	N. Ménez	24/06/2021
100-0566	TR6: foyer F.28	Sud-Ouest	N. Ménez	24/06/2021
100-0567	TR6: foyer F.28	Sud-Ouest	N. Ménez	24/06/2021
100-0568	TR6: foyer F.28	Sud-Ouest	N. Ménez	24/06/2021
100-0569	TR5: log 13	Sud-Est	N. Ménez	24/06/2021
100-0570	TR5: log 13	Sud-Est	N. Ménez	24/06/2021
100-0571	TR5: log 13	Sud-Est	N. Ménez	24/06/2021
100-0572	TR6: mise en place grillage orange sur foyer F.28 et fosse F.27	Sud-Ouest	N. Ménez	24/06/2021
100-0573	TR6: mise en place grillage orange sur foyer F.28 et fosse F.27	Sud-Ouest	N. Ménez	24/06/2021
100-0574	Terrain après rebouchage	Nord-Est	N. Ménez	25/06/2021
100-0575	Terrain après rebouchage	Nord-Est	N. Ménez	25/06/2021
100-0576	Terrain après rebouchage	Nord-Est	N. Ménez	25/06/2021
100-0577	Terrain après rebouchage	Nord-Est	N. Ménez	25/06/2021
100-0578	Terrain après rebouchage	Nord-Est	N. Ménez	25/06/2021
100-0579	Terrain après rebouchage	Sud-Ouest	N. Ménez	25/06/2021
100-0580	Terrain après rebouchage	Sud-Ouest	N. Ménez	25/06/2021
100-0581	Terrain après rebouchage	Sud-Ouest	N. Ménez	25/06/2021
100-0582	Terrain après rebouchage	Sud-Ouest	N. Ménez	25/06/2021

Inventaire des faits

N° tranchée	N° Fait	Nature	Orientation	Egalité	Description	Comblement	Dimensions (en m)			
							Long.	Larg.	Diam.	Prof./ ép.
1	1	Structure annulée								
1	2	Structure annulée								
1	3	Fossé	NE/SO		Plan rectiligne; structure non testée	Us 3-1: sédiment limoneux brun piégeant des gravillons	1,8	0,88		
1	4	Fossé	NO/SE	F.19, F.24	Plan rectiligne; structure non testée	Us 4-1: sédiment limoneux brun piégeant des gravillons	3,24	1,62		
1	5	Trou de poteau			Plan circulaire, profil en cuvette	Us 5-1: sédiment limoneux brun			0,54	0,10
1	6	Trou de poteau			Plan irrégulier, profil en cuvette	Us 6-1: sédiment limoneux brun	0,50	0,40		0,04
1	7	Structure annulée								
1	8	Structure annulée								
1	9	Fossé	NE/SO		Plan rectiligne, profil en cuvette	Us 9-1: sédiment limoneux brun piégeant des plaquettes de schiste	6,50	0,54		0,14
1	10	Trou de poteau			Plan circulaire, profil en cuvette	Us 10-1: sédiment limoneux brun piégeant des blocs de quartz			0,36	0,14
1	11	Trou de poteau			Plan subcirculaire, profil à bords évasés et fond en cuvette	Us 11-1: sédiment limoneux brun	0,34	0,30		0,18
1	12	Trou de poteau			Plan subcirculaire, profil en cuvette	Us 12-1: sédiment limoneux brun piégeant des plaquettes de schiste	0,33	0,28		0,06
1	13	Fossé	NO/SE		Plan rectiligne, profil en cuvette	Us 13-1: sédiment limoneux brun piégeant des plaquettes de schiste	3,33	0,76		0,10
1	14	Structure annulée								
1	15	Structure annulée								
1	16	Fossé	N/S		Plan rectiligne, profil en cuvette	Us 16-1: sédiment limoneux brun piégeant des plaquettes de schiste	3,20	0,60		0,08
1	17	Fossé	N/S		Plan rectiligne, profil irrégulier	Us 17-1: sédiment limoneux brun piégeant des plaquettes de schiste	3,19	0,78		0,20
2	18	Fossé	NO/SE		Plan légèrement courbe, profil à bords évasés et fond en cuvette	Us 18-1: sédiment limoneux brun	2,92	0,56		0,16
2	19	Fossé	NO/SE	F.4, F.24	Plan rectiligne; structure non testée	Us 19-1: sédiment limoneux brun piégeant des gravillons	7,60	1,25		

N° tranchée	N° Fait	Nature	Orientation	Egalité	Description	Comblement	Dimensions (en m)			
							Long.	Larg.	Diam.	Prof./ ép.
6	33	Fossé	N/S		Plan rectiligne, profil en cuvette	Us 33-1: sédiment limoneux brun piégeant des plaquettes de schiste	2,23	0,50		0,08
6	34	Fossé	N/S		Plan rectiligne, profil en cuvette	Us 34-1: sédiment limoneux brun piégeant des plaquettes de schiste	2,25	0,50		0,11
6	35	Fossé	N/S		Plan rectiligne, profil en cuvette	Us 35-1: sédiment limoneux brun piégeant des plaquettes de schiste	2,25	0,46		0,10
6	36	Fossé	NE/SO		Plan rectiligne, profil à bords évasés et fond en cuvette	Us 36-1: sédiment limoneux brun piégeant des CB; Us 36-2: sédiment limoneux brun associé à des poches de substrat; Us 36-3: sédiment limoneux brun gris piégeant des blocs de gneiss; Us 36-4: substrat remanié	2	1,70		0,48 à 0,80
1	37	Fossé	N/S		Plan rectiligne; structure non testée	Us 37-1: sédiment limoneux brun	3,10	0,47		
1	38	Fossé	N/S		Plan rectiligne; structure non testée	Us 38-1: sédiment limoneux brun	3,10	0,37		

Inventaire des minutes

N° Minute	Sujet	Echelle	Auteur	Format
1	Tranchée 1: plan masse	1/100e	J. Villeveille	A3
	Tranchée 2: plan masse	1/100e		
	Tranchée 3	1/100e		
2	Tranchée 6: plan masse	1/100e	J. Villeveille	A3
	Tranchée 6: fossé FO24 et trou de poteau PO23: coupes	1/20e		
3	Tranchée 1: logs 1-2-3	1/20e	J. Villeveille	A3
	Tranchée 6: logs 4-5-6			
	Tranchée 2: logs 7-8-9			
	Tranchée 3: logs 10-11-12			
	Tranchée 5: logs 13-14-15			
	Tranchée 4: logs 16 et 17			
	Tranchée 6: fossé FO36 et foyer FY28: coupe			
	Tranchée 6: fossé FO36: coupe			
4	Tranchée 4: fosse FS20 (partie Nord): coupe NO/SE	1/20e	J. Villeveille	A3
	Tranchée 1: PO5, PO6, FO9, PO10, PO11, PO12, FO13, FO16, FO17			
	Tranchée 6: FO35, FO34, FO33, FO31, FO30			
	Tranchée 6: PO29, PO25, FO22, PO26			
5	Tranchée 6: plan et coupe S/N de FS27, FY28 et FO36	1/20e	J. Villeveille	A3
	Tranchée 2: fossé FO18: coupe SO/NE			
6	Tranchée 4: fosse FS20 (partie Sud): coupe ouest (log 18)	1/20e	N. Ménez	A3

Inventaire des tranchées

N° tranchée	Statut	Orientation	Dimensions	Surface	Pendage
1	Initiale	NO/SE	54,57 x 3 m	163,71 m ²	5,60%
2	Initiale	NO/SE	46,10 x 3 m	138,30 m ²	9,50%
3	Initiale	NO/SE	25,54 x 3 m	76,66 m ²	19%
4	Initiale	NO/SE	21,88 x 3 m	65,64 m ²	26%
5	Initiale	NO/SE	28,87 x 3 m	86,61 m ²	19,80%
6	Complémentaire	NO/SE	39,58 x 2 m	79,16 m ²	8%

Inventaire des mobiliers

Contextes	Matière	NR	Période
TR.1, F.14, Us 14-1	Verre	1	Contemporaine
TR.1, F.4, surface	Céramique	1	Médiévale/moderne
TR.1, F.9, surface	Céramique	3	Médiévale/moderne
TR.1, F.13, surface	Terre cuite	1	Indéterminée
TR.2, F.19, surface	Céramique	1	Contemporaine
TR.4, F.20	Céramique	1	Contemporaine
TR.6, F.28, surface	Lithique	1	Indéterminée
TR.6, F.30, surface	Céramique	1	Contemporaine

Chronologie

Moyen Âge
Époque moderne
Époque contemporaine

Sujets

Fossé
Fosse
Foyer
Trou de poteau

Mobilier

Céramique
Terre cuite
Verre

Bretagne, Finistère, Quimper, rue Stang Bihan

Le diagnostic archéologique réalisé rue Stang Bihan à Quimper (Finistère) fait suite à un projet de construction de logements collectifs déposé par la SCCV « Park An Autrou ». L'intervention concerne les parcelles 127 et 128 (section AO) qui couvrent une superficie totale de 5 657 m².

La prescription de cette intervention par le Service régional de l'archéologie de Bretagne a été motivée par la localisation de la parcelle intéressée dans la zone archéologique sensible du plateau de Kerfeunteun.

Réalisé sur un terrain marqué par une forte pente atteignant 25% par endroits, ce diagnostic dévoile la présence de vestiges dans sa partie septentrionale. Prenant la forme de segments de fossés, de trous d'ancrage de poteaux, d'une fosse et d'une structure de combustion, ces derniers semblent former un ensemble cohérent matérialisant une petite occupation à la nature indéterminée, datée entre le X^e et le XVI^e siècle. .